

2019年度 卒業論文

RHIC-sPHENIX 実験における中間飛跡検
出器 INTT 用シリコンセンサーによる宇
宙線測定

奈良女子大学 理学部
数物科学科物理学コース 高エネルギー物理学研究室

柴田 実香

2020年2月21日

現在、奈良女子大学は、アメリカニューヨーク州のブルックヘブン国立研究所で行われている大型の重イオン衝突実験を目的とした RHIC 加速器を用いた sPHENIX 検出器に導入予定の飛跡検出器の一つ、INTT 検出器の開発に参加している。INTT グループには、奈良女子大学、理化学研究所、BNL、立教大学、台湾中央大学、海外の研究機関等、複数の研究機関が参加している。今年度は、奈良女子大学から 3 名の学生が参加し、2018 年後期に奈良女子大学に設置されたテストベンチを利用してシリコンセンサーの性能評価にむけ、協力して研究を進めた。性能評価のために行った方法は大きく分けて、キャリブレーションパルスによるノイズ評価と外部トリガーモードを利用した宇宙線による性能評価がある。今回は後者の測定方法と研究結果、研究により浮かび上がった今後の課題と解決について報告する。宇宙線測定の目的は、INTT 用シリコンセンサーとその読み出し回路のデータ読み出し性能を評価することである。トリガーカウンターによる外部トリガーを利用し、シリコンセンサーで測定された宇宙線データの記録、解析を行った。その結果、シリコンセンサーでの宇宙線データでは、エネルギー損失の測定値と予想値がズレていることがわかった。この課題に対して、測定条件の調整と独自開発した宇宙線のエネルギー損失ソフトウェアを用いて原因を検討した。その結果、今まで利用していた予想エネルギー損失の計算式に用いる入力値と設定値の対応関係に誤りがあること、読み出しチップ (FPHX) のチャンネルごとのデータ読み出しにオフセットが存在することを明らかにした。その対応関係を修正後、入力値 (ゲイン) とオフセットの最適値を決定した。

目次

第 1 章	序論	2
1.1	素粒子物理学	2
1.2	研究背景	4
1.3	研究目的	7
第 2 章	中間飛跡検出器 (INTT)	8
2.1	半導体	8
2.2	シリコンモジュールの構造	12
2.3	データ読み出し回路	12
2.4	テストベンチでの INTT シリコンモジュールのテスト	15
第 3 章	宇宙線測定	20
3.1	目的	20
3.2	測定方法	20
第 4 章	宇宙線データの解析	26
4.1	イベント選定：ノイズの除去	26
4.2	クラスター化解析	26
4.3	イベント選定：宇宙線イベントの選定	28
第 5 章	宇宙線データの解析結果	30
5.1	測定データ	30
5.2	イベント選定	30
5.3	クラスター化	31
第 6 章	測定で明らかになった問題点と改善	34
6.1	問題点	34
6.2	ゲイン値	35
6.3	オフセット	38

6.4	問題の改善	43
第 7 章	結論	45
	参考文献	47
付録 A	宇宙線解析プログラム	48
A.1	宇宙線解析プログラムの実行方法	48
A.2	宇宙線解析のコード	48
付録 B	MC を用いた宇宙線測定シミュレーション	66
B.1	モンテカルロ (MC) シミュレーション	66
B.2	シミュレーションプログラムの実行方法	67
B.3	シミュレーションプログラムのコード	67

図目次

1.1	素粒子の標準模型で扱われる素粒子	3
1.2	宇宙線の空気シャワー	4
1.3	Relativistic Heavy Ion Collider(RHIC)	5
1.4	sPHENIX 検出器の全体像	5
1.5	飛跡検出器群の全体像 (MVTX, INTT, TPC)	6
1.6	(左図) INTT 検出器, (右図)INTT のビーム軸方向からの図	7
1.7	TPC 検出器	7
2.1	PN 接合した半導体を用いた荷電粒子検出原理	9
2.2	単位厚さあたりのシリコン中での μ 粒子運動エネルギーとエネルギー損失の関係	10
2.3	500MeV のパイオンのシリコン中での Stragglng 関数の変動	11
2.4	INTT 用シリコンセンサー (1 チップ) の模式図	13
2.5	INTT 用シリコンセンサーモジュールの模式図 (上) と写真 (下)	13
2.6	sPHENIX 実験での INTT のデータの読み出しシステム	14
2.7	Read Out Card (ROC)	15
2.8	左: FEM - Interface Board (FEM-IB)、右: Front End Module (FEM)	16
2.9	使用した NIM モジュール	17
2.10	INTT テストベンチの設置状況	17
2.11	キャリブレーションモードにおける読み出し回路	18
2.12	(右図)chip 1 でのテストパルスを入力波高 (amplitude) と出力 ADC の相関分布, 横軸: 入力波高 (amplitude), 縦軸: 出力 ADC, (左図)chip 1 での全チャンネルでのテストパルスのヒット数分布, 横軸: チャンネル番号, 縦軸: 入力波高 (amplitude)	19
2.13	チップごとの全チャンネルでのテストパルスのヒット数分布	19
2.14	チップごとのテストパルスを入力波高 (amplitude) と出力 ADC の相関分布	19
3.1	宇宙線測定における外部トリガー生成回路	21
3.2	宇宙線測定におけるデータの読み出し回路	21
3.3	オシロスコープ画面出力信号	22

3.4	シンチレーションカウンター (A, B) とシリコンセンサー 1 つの設置状況	25
3.5	シンチレーションカウンター (A, B) とシリコンセンサー 1 つの設置状況の模式図 . . .	25
3.6	シンチレーションカウンター (A) とシリコンセンサー 2 つの設置状況	25
3.7	シンチレーションカウンター (A) とシリコンセンサー 2 つの設置状況の模式図	25
4.1	複数ストリップを通過した宇宙線イベントのクラスター化イメージ図	27
4.2	(左図) 上下の INTT モジュールのヒットチップ番号の相関分布, 横軸: 上層のモジュールのチップ番号, 縦軸: 下層のモジュールのチップ番号, (右図) 上下の INTT モジュールのヒットチップ番号の差の分布	28
4.3	(左図) 上下の INTT モジュールのチップ選定後のヒットチャンネル番号の相関分布, 横軸: 上層のモジュールのチャンネル番号, 縦軸: 下層のモジュールのチャンネル番号, (右図) 上下の INTT モジュールのチップ選定後のヒットチャンネル番号の差の分布	29
5.1	クラスター化前のエネルギー損失分布 (電圧表示), (左図) ノイズ除去前, (中央図) ノイズ除去後, (右図) ノイズ除去と宇宙線イベント選定後	31
5.2	シリコンセンサーの 1 チップあたりチャンネル分布 (ノイズ除去後)	32
5.3	上層のシリコンセンサー A のチップごとのチャンネル分布 (ノイズ除去後)	32
5.4	下層のシリコンセンサー B のチップごとのチャンネル分布 (ノイズ除去後)	32
5.5	(左図) ノイズ除去後の 1 CLK あたりに含まれるヒット数分布, (右図) ノイズ除去後の 1 CLK あたりに含まれるクラスター数分布	33
5.6	クラスター化後のエネルギー損失分布 (電圧表示)	33
6.1	各 GSel 入力値でのテストパルスの入力波高 (amplitude) と出力 ADC の相関分布, 横軸: 入力波高 (amplitude), 縦軸: 出力 ADC	36
6.2	GSel の入力値を変えて測定をした 1 ヒットのエネルギー損失 (電圧表示)	37
6.3	ヒットに関与するオフセットの模式図	38
6.4	シミュレーションで生成した宇宙線イベントのクラスター化後のエネルギー損失分布 (電圧表示)	39
6.5	読み出し回路中での損失エネルギーの変換の流れ, 宇宙線 μ 粒子がシリコンセンサーで損失した全エネルギーの電圧表示, 横軸: 電圧 [mV]	40
6.6	同一宇宙線が 2 つのシリコンセンサーで異なるヒット数の損失エネルギーを記録するイベントのイメージ図	41
6.7	同一宇宙線が 2 つのシリコンセンサーで異なるヒット数を記録するイベントの損失エネルギー相関分布, 横軸: 1 ヒットのエネルギー損失, 縦軸: 2 ヒットのエネルギー損失	42
6.8	同一宇宙線が 2 つのシリコンセンサーで異なるヒット数を記録するイベントの損失エネルギー分布, 赤: 1 ヒットのエネルギー損失, 青: 2 ヒットのエネルギー損失	42

6.9 宇宙線測定とシミュレーションの比較 (上段) 宇宙線測定, (下段) シミュレーション
cosmic 1, simulation1 : ヒット数ごとに色分けしたクラスター化前のエネルギー損失分布 (電圧表示),
cosmic2, simulation2 : ヒット数ごとに色分けしたクラスター化後のエネルギー損失分布 (電圧表示),
cosmic3, simulation3 : 2 ヒットを構成する 2 つのエネルギー損失がもつ ADC 値の相関分布 44

表目次

2.1	微分断面積計算に用いるパラメター	10
2.2	使用した NIM モジュールとその機能	16
2.3	キャリブレーションモードにおける DAC 閾値設定	18
3.1	使用したシンチレーションカウンタの一仕様と性能	21
3.2	DAC 閾値設定	24
5.1	測定したデータの種類、各データのイベント数、測定時間	30
6.1	ゲイン値と GSel 入力値の対応関係	35
6.2	尤もらしいゲイン値とオフセット	43

第 1 章

序論

1.1 素粒子物理学

1.1.1 素粒子の標準模型

身の周りの物質は素粒子で構成されている。素粒子とはそれ以上分けることができない最小単位の粒子であると考えられている。図 1.1 に標準模型（量子色力学（QCD）、電弱統一理論（EW））に表れる素粒子を示した。素粒子はフェルミ粒子とボーズ粒子で構成されている。フェルミ粒子はレプトンとクォークの 2 種類あり、さらにレプトンが、電子、ミューオン、タウオンの 3 種類と対応するニュートリノの合計 6 種類に分類される。クォークは、アップ (u)、ダウン (d)、チャーム (c)、ストレンジ (s)、トップ (t)、ボトム (b) の 6 種類に分類される。これらが組み合わせることで様々な物質を分類することができる。またこれらのクォークをつなぎとめる力の媒介粒子としてグルーオンが存在している。グルーオンは中性子や陽子中にクォークを束縛する。また π 中間子は原子核中に中性子や陽子は束縛する力を媒介している。

1.1.2 QGP

原子が正イオンと電子に電離した状態をプラズマ状態という。プラズマ状態は固体、液体、気体に次ぐ第四の状態相であり、物質がイオン化エネルギーに相当する高温状態に達した時に実現する。同様に核子に閉じ込められているクォーク間のグルーオンによる結合が長くなることで、隣の核子内のクォークとも結合できるようになり、元の核子中のクォークと隣の核子のクォークの区別がつかなくなる。この現象がたくさん起こることで、クォークとグルーオンが核子による閉じ込めから解放されたように見える状態をクォーク・グルーオン・プラズマ (QGP) という。QGP は高温、高密度下であったとされる宇宙初期のビッグバンから数 μ 秒後に実現していたと考えられている。従って QGP 現象の理解を進めることは初期宇宙発展の解明につながる重要な研究テーマである。現在 QGP は大型加速器を利用した原子核衝突実験で人工的に生成できることが確認されている。RHIC 加速器による重イオン衝突実験で、史上初めて QGP の存在が確認された。 [8]

















物質粒子				ゲージ粒子	ヒッグス粒子
	第1世代	第2世代	第3世代		
クォーク	 u アップ	 c チャーム	 t トップ	 g グルーオン	 H ヒッグスボソン
	 d ダウン	 s ストレンジ	 b ボトム		
レプトン	 ν_e eニュートリノ	 ν_μ μ ニュートリノ	 ν_τ τ ニュートリノ	 γ 光子	
	 e 電子	 μ ミューオン	 τ タウ		 W^+ W^- Z^0 Wボソン Zボソン

図 1.1 素粒子の標準模型で扱われる素粒子

1.1.3 宇宙線

宇宙線とは宇宙空間を高エネルギーで飛び回る放射線のことであり、これらのほとんどは陽子で一次宇宙線と呼ばれ、多量に地球に降り注いでいる。これらが大気圏を通過すると、大気中の原子核と反応し π 中間子など大量の2次粒子を生成する。生成された中間子は高速で周りの原子核に衝突することで、さらに粒子の数を増やしながらエネルギーを落としていく。この現象を空気シャワーという。生成された中間子の一種である π 中間子は寿命が短いため、すぐに崩壊し μ 粒子として地上に降り注ぐ。この地表付近で観測できる宇宙線を二次宇宙線という。図 1.2 は宇宙線 μ 粒子の空気シャワーのイメージ図である。この粒子は地表付近で再現できる最大のエネルギー (0.4GeV) をもつ粒子で、1 分間に1 平方センチメートルあたり約 1 個観測できる。 μ 粒子を地表付近での実験に利用することは、大型の加速器を使わずに MIP (最小電離粒子) のような損失エネルギーを得ることに非常に有効である。 [8]

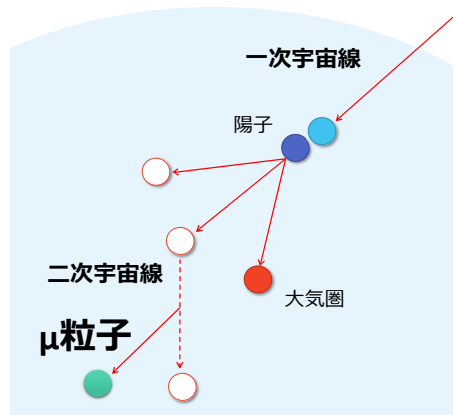


図 1.2 宇宙線の空気シャワー

1.2 研究背景

1.2.1 Relativistic Heavy Ion Collider (RHIC)

Relativistic Heavy Ion Collider (RHIC) は世界で初めての重イオン衝突型加速器であり、アメリカのニューヨーク州ロングアイランドにあるブルックヘブン国立研究所 (BNL: Brookhaven National Laboratory) に建設されている。図 1.3 は RHIC の全体像である。QGP を生成しその性質を研究することを目的に、2000 年から稼働を開始した。主な衝突原子核は金原子核対で、衝突時の核子 1 つあたりの重心系エネルギーは 200GeV である。その他にも、ヘリウム原子核や陽子といった様々な原子核衝突実験を行っており、陽子・陽子衝突での最大重心系エネルギーは 510GeV である。RHIC には 2 つの環状のビームラインが建設されており、それぞれ時計回りと反時計回りの周長 3.8km の加速器リングである。ビームラインが交差する衝突点は計 6 か所設けられている。ビームは 106ns(9.4MHz) の間隔でバンチ構造を持っており、各リングに 120 バンチが蓄積されている。[11]

1.2.2 sPHENIX 実験

sPHENIX 実験はブルックヘブン国立研究所の RHIC を用いて行われる新たな実験である。2000 年から 2016 年まで同地で行われていた PHENIX 実験を高度化した次世代実験で、2023 年から稼働が予定されている。図 1.4 は sPHENIX 検出器の全体像を表す。この実験では、QGP における輸送係数の温度依存性や色電荷のデバイ遮蔽長について解明すべく、ジェット、ジェット相関、および Υ を測定する計画である。この測定では、高い効率と大きな検出範囲で、ハドロンと電磁粒子のエネルギー測定と精密な飛跡検出を行うことができる。ジェットや光子の観測を行うため、20 週間の RHIC 加速器の稼働により金・

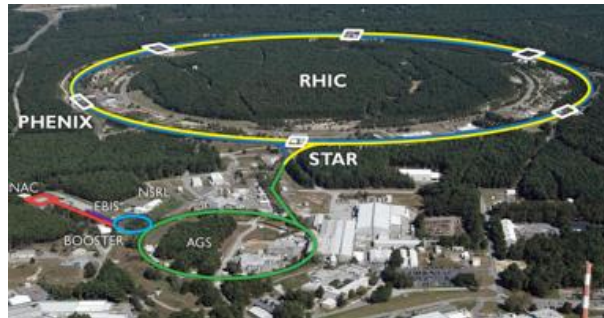


図 1.3 Relativistic Heavy Ion Collider(RHIC)

金衝突を 5×10^{11} 回行い、 Υ 粒子の 3 つの状態の区別に十分な質量分解能に達することができる。ハドロン熱量測定は陽子・陽子衝突や陽子・金衝突においてバイアスのない状態のジェットをトリガーし、全システムにおいてジェットのバイアスのない観測することが可能である。 [5]

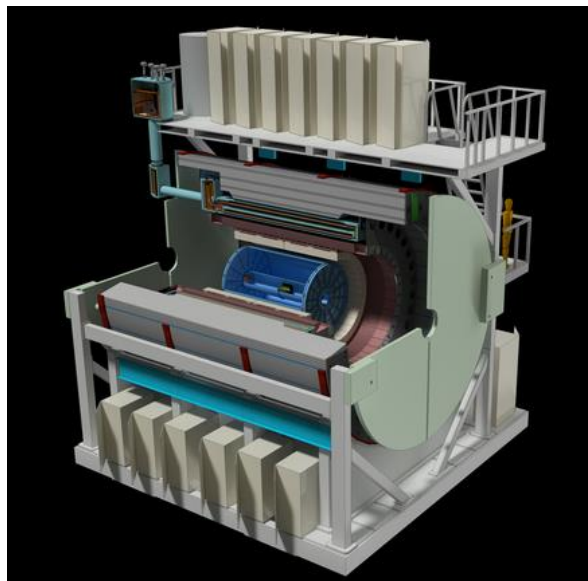


図 1.4 sPHENIX 検出器の全体像

1.2.3 飛跡検出器群

sPHENIX 検出器における飛跡検出器群は MVTX, INTT, TPC の 3 つで構成されている。 [5]

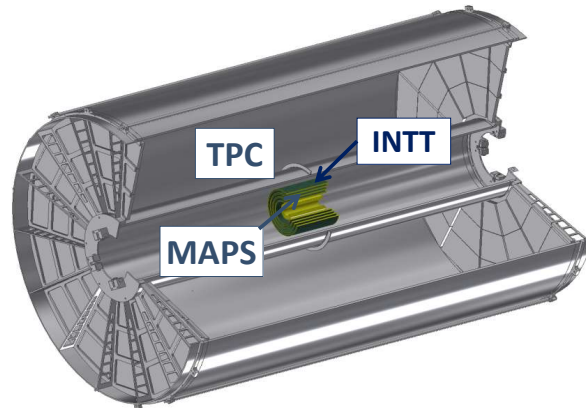


図 1.5 飛跡検出器群の全体像 (MVTX, INTT, TPC)

Monolithic-Active-Pixel-Sensor-based Vertex Detector(MVTX)

MVTX は、MAPS(Monolithic Active Pixel Sensor) を用いた $30\mu\text{m}$ ピッチの半導体ピクセルを用いた三層構造の半導体検出器である。3つの飛跡検出器のうち最も内側に位置している。方位角方向に対しては 2π 、ラピディティ方向に対しては $|\eta| \leq 1.1$, 衝突中心からビーム軸方向に $\pm 10\text{cm}$ の範囲を検出する。高精度の飛跡検出が可能であり、衝突点と生成された粒子の最近接距離を測定することで重クォークの検出を行う。 [5]

INtermediate Tracking detector (INTT)

MVTX と TPC の中間 (ビームパイプから $6\sim 12\text{cm}$) に位置し、全方位をカバーする 2層構造の検出器である。方位角方向に 78μ ピッチで半導体ストリップが配備されている。 [5] INTT の目的は、MVTX と TPC 間の飛跡を繋ぎ、運動量分解能を上げるとともに、各トラックに 1 ビームバンチ以下の詳細な時間情報を与えることである。例えば、粒子多重度の高いイベントの場合、INTT によって再構成された飛跡と MVTX, TPC の飛跡のマッチングを調べることで、より確からしい飛跡を選択することができる。図 1.6 の左は INTT のビーム軸に垂直方向からの断面図、図 1.6 の右はビーム軸方向からの図である。 [6]

Time Projection Chamber (TPC)

3つの検出器のうち最も外側 (ビームパイプから $20\text{m}\sim 78\text{m}$) に位置し、衝突中心から $\pm 1\text{m}$ ずつを覆うガス検出器である。読み出しパットからの 2次元情報に加えてドリフト時間からビーム軸方向の位置情報を加えることで、3次元の位置を測定することができる。図 1.7 は TPC 検出器の全体像である。 [5]

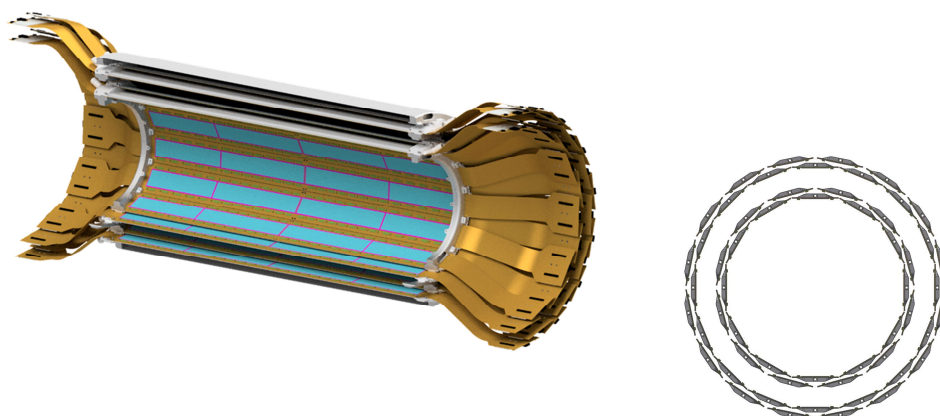


図 1.6 (左図) INTT 検出器, (右図)INTT のビーム軸方向からの図

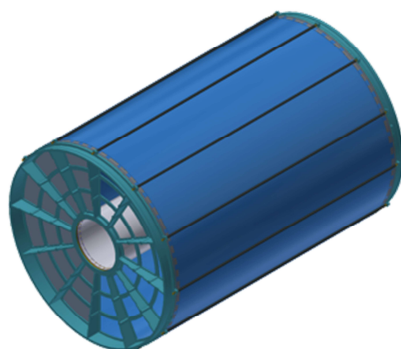


図 1.7 TPC 検出器

1.3 研究目的

現在、奈良女子大学は、INTT 検出器の開発に参加している。2018 年後期から、奈良女子大学高エネルギー物理学研究室において、シリコンセンサーの性能評価を目的としたテストベンチの導入と設置が始まり、無事に設置が完了した。本研究の目的は、そのテストベンチを用いて宇宙線を測定し、INTT 用シリコンセンサーとその読み出し回路のデータ読み出し性能の評価を行うことである。

第 2 章

中間飛跡検出器 (INTT)

2.1 半導体

半導体とは、結晶構造をした、エネルギーバンド構造をとる物質一般のことで、電気伝導性の良い金属などの導体と電気抵抗率の大きい絶縁体の中間的な抵抗率を持つ。代表的なものの 1 つがケイ素 (Si) であり、シリコンともいわれる。半導体には n 型と p 型の 2 種類があり、それぞれのキャリアが 3 価の自由電子と 5 価の正孔である。n 型の方が p 型よりも電子を多く有している。 [12]

2.1.1 半導体の性質

半導体の性質の 1 つとして、抵抗が大幅に変化することがある。例としてシリコンについて考える。シリコンは周期律表 4 族に含まれる 4 本の結合手を持つので、純粋な結晶はダイヤモンドと同じ構造である。従って、純粋なシリコンの結晶はほとんど電気を通さない。しかし、ごく少量の不純物が結晶中に加わることで、電気伝導性が生まれる。抵抗率でいって 1 万分の $1\Omega \cdot \text{cm}$ の導電物質から、 $1M\Omega \cdot \text{cm}$ の絶縁体に近い物質まで変化する。さらに、電界を加えることによっても抵抗率が大きく変化する。この性質は絶縁体を挟んで半導体に電界を加えた場合のみ現れる。 [12]

2.1.2 半導体を用いた荷電粒子検出原理

PN 接合した半導体の接合面には正孔が P 側から N 側へ、電子が N 側から P 側へ移動することにより生じる空乏層が存在している。この空乏層にはキャリアが存在していない。電圧をかけた PN 接合半導体の空乏層を荷電粒子が通過すると、荷電粒子の損失エネルギーにより、経路に沿って電子・正孔対が生じる。これらは電圧により引き寄せられ、チップに読み出される。

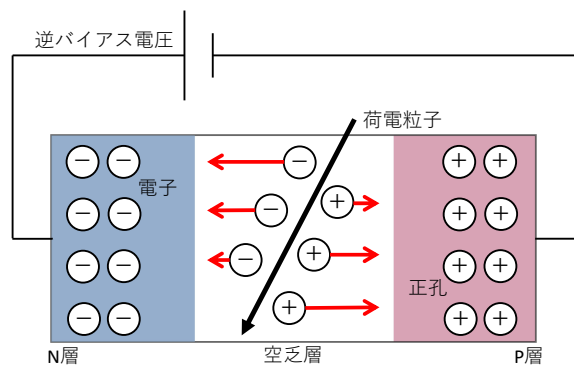


図 2.1 PN 接合した半導体を用いた荷電粒子検出原理

2.1.3 シリコン半導体におけるミュオンのエネルギー損失

荷電粒子が物質を通過するとエネルギーを損失する。この損失エネルギーは通過する物質の種類とその通過距離、入射粒子の運動量に依存している。従って、このエネルギーを測定することは、高エネルギー実験において、粒子の種類の特典だけでなく、時間を遡って親核子を推定したり、衝突時の崩壊反応を再現可能するといった重要なファクターとなる。

高い運動量を持つ荷電粒子が物質中を通過すると、物質を構成する原子や分子中の電子と相互作用し、物質がイオン化するためにエネルギーを失う。このエネルギー移行は運動量移行により表される。

一般的に、損失はベーテブロッホの式 (式 2.2) に従い、単位は $\text{MeVg}^{-1}\text{cm}^2$ である。ここで使われるパラメータを表 2.1 に示す。各値は PDG 2019 Passage of Particles Through Matter [2] と PDG 2019 AtomicNuclearProperties [3] を参照されたい。

$$\left\langle -\frac{dE}{dx} \right\rangle = Kz^2 \frac{Z}{A} \frac{1}{\beta^2} \left[\frac{1}{2} \ln \frac{2m_e c^2 \beta^2 \gamma^2 W_{max}}{I^2} - \beta^2 - \frac{\delta(\beta\gamma)}{2} \right] \quad (2.1)$$

表 2.1 微分断面積計算に用いるパラメーター

記号	定義	用いる値・単位
K	$: 4\pi N_A r_e^2 m_e c^2$ (微分断面積 dE/dX の定数)	$0.307075 \text{MeVmol}^{-1} \text{cm}^2$
z	: 入射粒子の電荷	1(muon)
Z	: 吸収物体の原子番号	14(Si)
A	: 吸収物体の原子量	$28.0855(3) \text{g/mol(Si)}$
ρ	: 吸収物体の密度	$2.329 \text{g/cm}^3 \text{(Si)}$
β	: 入射粒子の $\frac{v}{c}$	
γ	: $\frac{1}{\sqrt{1-\beta^2}}$	
$\beta\gamma$:	$\sim 10(1 \text{GeVmuon})$
$m_e c^2$: 電子の質量 $\times c^2$	$0.5109989461(31) \text{MeV}$
W_{max}	: 単一衝突での最大エネルギー移行	$\frac{2m_e c^2 \beta^2 \gamma^2}{1+2\gamma m_e/M+m_e/M^2} [\text{MeV}]$
I	: 平均励起ポテンシャル	$173.0[\text{eV}](\text{Si})$
$\delta(\beta\gamma)$: イオン化損失エネルギーの密度効率補正	

式 2.2 は Z/A に比例することから、値が吸収物質によることがわかる。また、 β の関数であり入射粒子の電荷の 2 乗に比例することから、入射粒子の識別に利用できることがわかる。

図 2.2 はベーテブロッホの式から求められる単位長さあたりのシリコン中での μ 粒子運動エネルギーとエネルギー損失の関係で、横軸が μ 粒子の運動エネルギー、縦軸が単位密度単位長さあたりのエネルギー損失を示す。これより、入射粒子のもつ運動量エネルギーの大きさによって損失エネルギーが異なることがわかる。

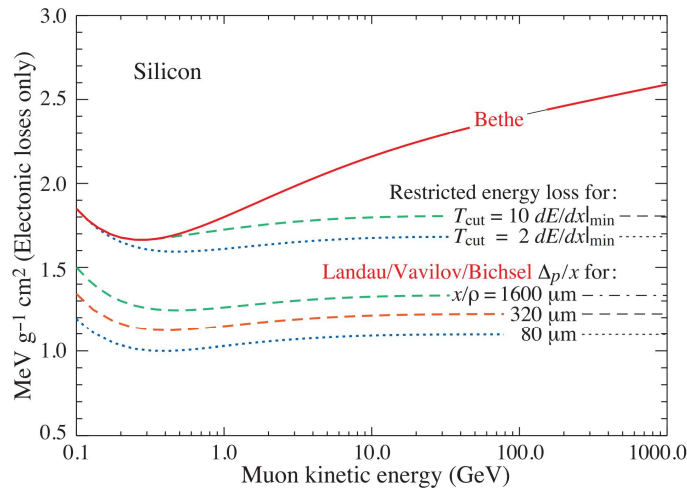


図 2.2 単位長さあたりのシリコン中での μ 粒子運動エネルギーとエネルギー損失の関係

荷電粒子が厚さ x の物体を通過する場合のエネルギー損失の最確値は、ランダウ分布によって表される。最確値は式 2.2 で求められる。

$$\Delta_p = \xi \left[\ln \frac{2mc^2 \beta^2 \gamma^2}{I} + \ln \frac{\xi}{I} + j - \beta^2 - \delta(\beta\gamma) \right] \quad (2.2)$$

ここで $\xi = (K/2) \langle Z/A \rangle z^2(x/\beta^2) \text{MeV}$ 、厚さ x の単位は gcm^{-2} 、 $j = 0.200$ である。図 2.3 は図 2.2 を Δ_p/x で規格化したもので、500MeV のパイオンがシリコン中を通過した際の Stragglng 関数を表している。図 2.3 より、物質の厚さが薄いほど単位飛程あたりに失う運動エネルギーが小さいほうへ偏っている。

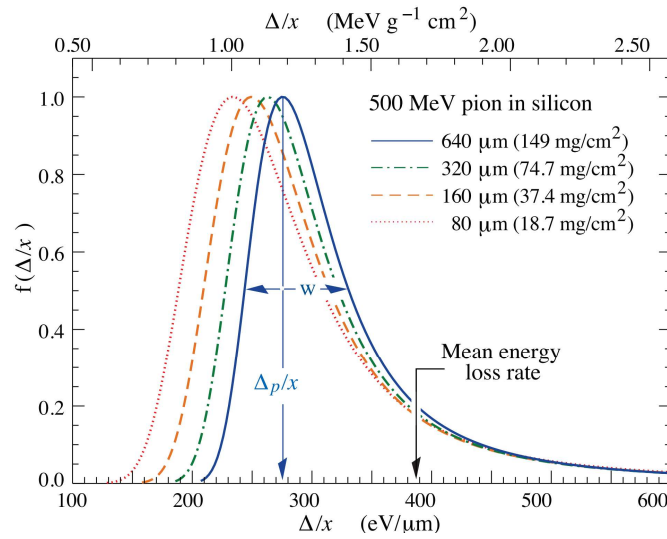


図 2.3 500MeV のパイオンのシリコン中での Stragglng 関数の変動

くことがわかる。また、エネルギー損失の最頻値も低くなる。INTT 用シリコンセンサーに使われるシリコンの厚さは $320\mu\text{m}$ と比較的薄いため、エネルギー損失の確率分布は小さいほうへ偏り、大きなエネルギーを落とすイベントは少なくなる。例えば、1 GeV の μ 粒子が $320\mu\text{m}$ 厚のシリコンを通過した場合、単位密度単位長さあたりの損失エネルギー（最頻値）は、式 2.2 より

$$\Delta_p \sim 1.15 \text{MeVg}^{-1} \text{cm}^2 \quad (2.3)$$

であり、 $320\mu\text{m}$ で損失するエネルギーは

$$\Delta_p \sim 1.15 \text{MeVg}^{-1} \text{cm}^2 \times 0.032 \text{cm} \times 2.33 \text{g/cm}^3 \sim 0.086 \text{MeV} \quad (2.4)$$

と計算できる。

2.2 シリコンモジュールの構造

INTT 用シリコンストリップ検出器のセンサー部分はシリコンモジュールと呼ばれ、主に、シリコンセンサー、FPHX 読み出しチップ、HDI、Bus Extender の 4 つで構成されている。

2.2.1 シリコンセンサー

INTT 用シリコン検出器は、シリコンストリップセンサーを採用されており、1 チップ分が図 2.4 のように構成されている。INTT 用シリコンセンサーの 1 モジュールは、FPHX チップ 26 個で構成される。最もビームライン近くに位置する最内層から順に L0~L1 の順でナンバリングされており、実際の実験に導入される時には、バレル上のビームラインを中心にして複数のセンサーモジュールが取り囲むように配置する。センサーの位置による粒子のヒット数の違いからストリップ長の異なる 2 種類のセンサー (TypeA, B) が組み合わさっている。センサーの種類に関係なく、1 モジュールあたり 26 個のストリップ型シリコンセンサーが配置されている。また 26 個の FPHX チップがそれぞれ各ストリップ型シリコンセンサーの横に配置されている。また、シリコンセンサーは n 型と p 型半導体で構成されている。

2.2.2 HDI (High Density Interconnect)

HDI は、FPHX チップへの入出力配線、センサーおよび FPHX チップへの電源供給を行う基板である。ROC とはバスエクステンダーを通して接続される。

2.2.3 Bus Extender

Bus Extender は HDI、ROC 間を接続するためのケーブルである。HDI と ROC 間は距離が離れており、狭いことから長さ由来の問題やフレキシビリティ確保に伴う問題の解決が必要とされている。現在のバスエクステンダーの長さは約 1.2m である。 [5]

2.3 データ読み出し回路

sPHENIX で用いられるデータ読み出しシステムは PHENIX で使用したものを再利用する。図 2.6 に、そのデータ読み出しシステムを示す。sPHENIX 実験は複数のサブシステムからなるため、データ量が膨大になるが、各システムのデータが sPHENIX の DAQ (Data Acquisition) システムに全サブシステムで共通の同期信号が RHIC から供給されている。この同期信号を Beam Clock (BCO) といい、その頻度は 9.4MHz (106ns) である。BCO は MTM (Master Timing Module) と呼ばれるタイミング統括回路、GT1 (Global Level 1) と呼ばれるトリガー統括回路へ送る。GL1 では、各サブシステムからのトリガーに応じた間引きが行われ、データ収集判断のためのトリガー (Level 1 Trigger) を発行す

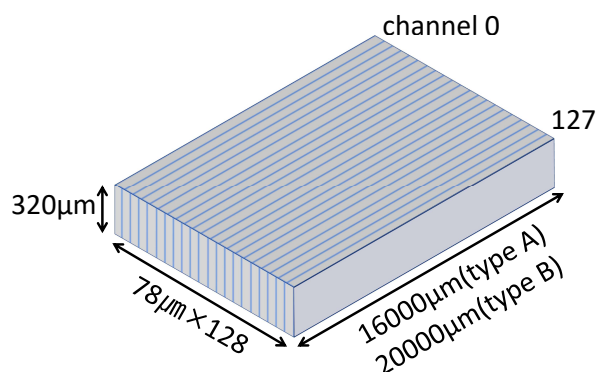


図 2.4 INTT 用シリコンセンサー（1 チップ）の模式図

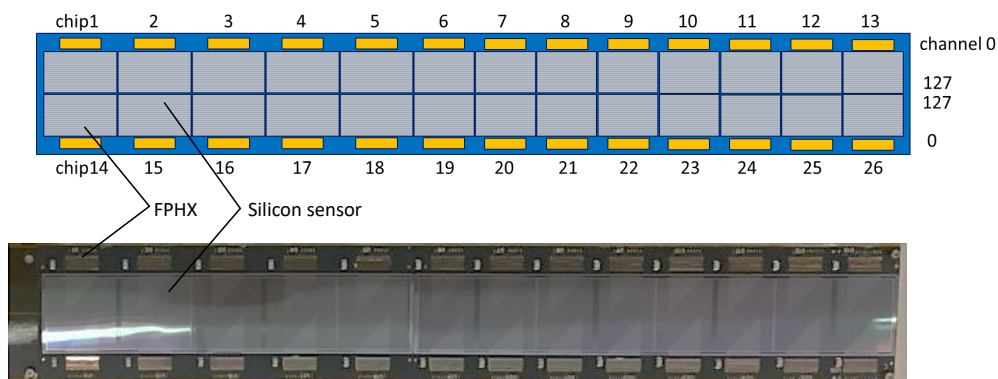


図 2.5 INTT 用シリコンセンサーモジュールの模式図（上）と写真（下）

る。Level 1 Trigger は、MTM、GTM を介して各サブシステムの FEM (Front End Module) へ返される。この Level 1 Trigger を受け取ったタイミングでの INTT シリコンモジュールから送られたデータが、DCM (Data Collection Module) と呼ばれるデータ収集回路に送られ、バッファの後各サブシステムのイベント情報が統合されたデータとして出力される。以下データ読み出しシステムにおける各モジュールを説明する。 [10]

2.3.1 FPHX

FPHX チップは PHENIX 実験で使用されていたシリコンセンサー用の読み出しチップであり、sPHENIX 実験における INTT 用シリコンセンサーの読み出しチップとしても採用されている。それぞれのチップが 128ch の読み出しチャンネルを持ち、各チャンネルで波形整形、3bit の ADC 機能を持つ。ユーザーは、外部からゲイン値や ADC 閾値、各チップ、チャンネルのマスクなどの稼働条件を制御でき

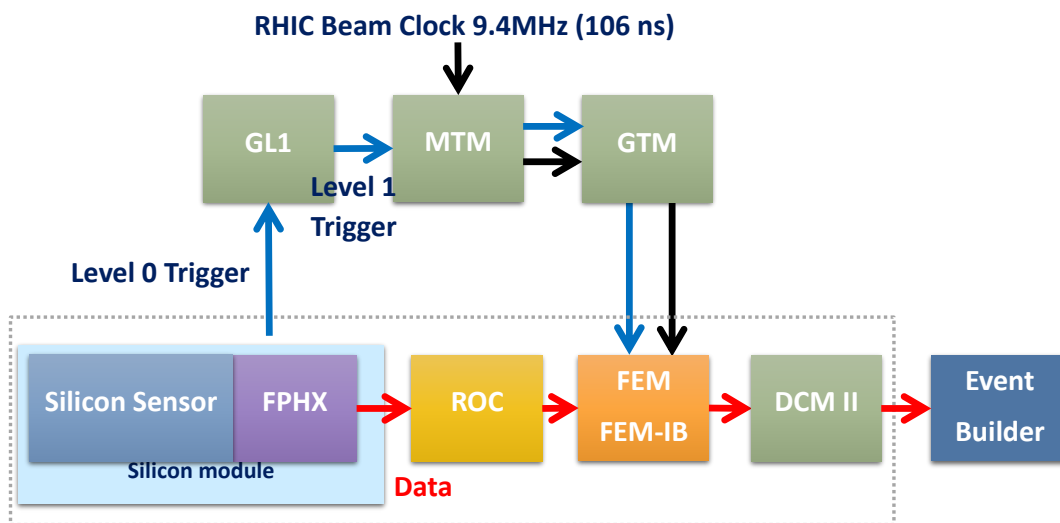


図 2.6 sPHENIX 実験での INTT のデータの読み出しシステム

る。また、本チップからタイムスタンプ、ADC 値、ヒットチャンネルが出力される。 [10]

2.3.2 Read Out Card (ROC)

FPHX から出力されたデータは下流の読み出し回路 Read Out Card(ROC) へ送られる。図 2.7 は接続後の ROC である。ここでは複数の FPHX からのデータの同期と結合を行い、下流のエレクトロニクスへと転送する。また、FPHX チップへの測定条件や閾値といった情報を指定されたチップへ転送する機能や FPHX チップの読み出し回路の動作確認を行うためのキャリブレーションパルスを発生させる機能、センサーモジュールへの電源供給機能も持つ。 [10]

2.3.3 Front End Module (FEM)

ROC からの出力データは Front End Module(FEM) に入力される。図 2.8 の右側に位置するボードが FEM である。VME 規格の読み出しボードで、FPHX からのデータをまとめ、PHENIX 共通のフォーマットに変換し、他の検出器の情報と結合を行うモジュールに転送する役割を持つ。FEM1 枚は ROC の出力の半分を賅っており、ROC1 枚の出力には FEM2 枚が必要である。一方、ROC への命令信号は 1 枚で賅うことができる。また、FPGA が搭載されており、トリガーシステムの構築が可能である。 [10]

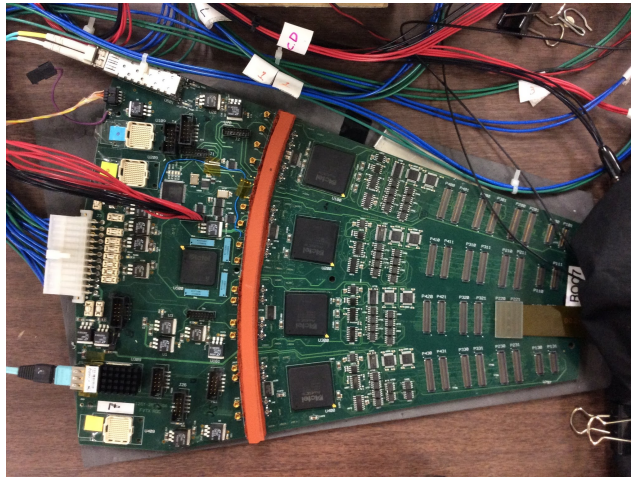


図 2.7 Read Out Card (ROC)

2.3.4 FEM - Interface Board (FEM-IB)

FEM 全体を制御するモジュールで、FEM 同様 VME 規格の読み出しボードである。図 2.8 の左側に位置するボードが FEM-IB である。本モジュールは主に検出群全体を統括するクロック信号やトリガー信号、FEM 制御信号を受け取る。 [10]

2.4 テストベンチでの INTT シリコンモジュールのテスト

INTT の検出器の性能評価や読み出しシステムの動作確認として、2018 年に奈良女子大学に構築されたテストベンチを利用し、キャリブレーションモードを利用したキャリブレーションテストと外部トリガーモードを利用した宇宙線測定の実験を行った。図 2.10 は奈良女子大学の INTT テストベンチである。また、奈良女子大学の INTT テストベンチでは High Voltage NIM モジュールを使用している。テストベンチに使用した NIM モジュール (図 2.9) の機能を表 2.2 に示す。

2.4.1 キャリブレーションテスト

キャリブレーションテストはテストベンチ全体の動作確認を行うために行う。キャリブレーションテストでのセットアップ状況は図 2.11 のとおりである。ROC に HDI を接続した状態で ROC より生成したシリコンセンサーからの出力を模したアナログ信号 (test pulse) を FPHX チップのテストパルス入力に入れ、FPHX チップ内で変換されたデジタルのヒット信号を確認する。このヒット信号は再び HDI を通り ROC に送られ、FEM と FEM-IB 通過後 PC に送られる。ROC で生成されるテストパルスは 1 チップ、1 チャンネルあたり 10 個であり、複数のパルス波高が全チップ、全チャンネルへ順次スキャンさ

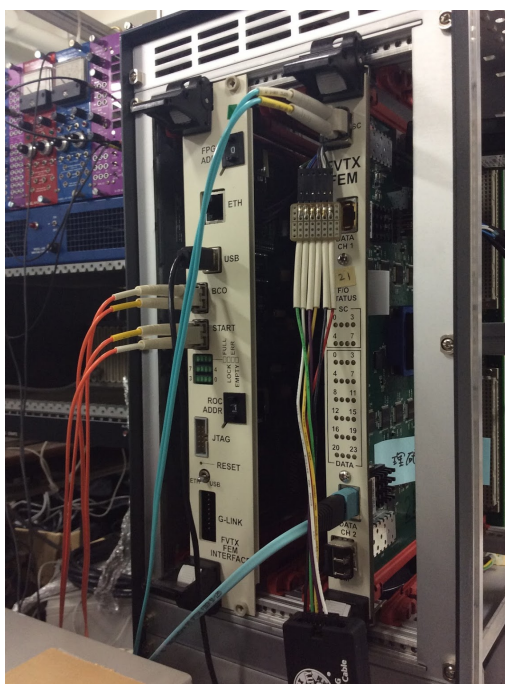


図 2.8 左 : FEM - Interface Board (FEM-IB)、右 : Front End Module (FEM)

表 2.2 使用した NIM モジュールとその機能

NIM 規格モジュール	機能
DUAL GATE GENERATOR	入力されたデジタル信号の width を調節し、delay を与える。
QUAD DISCRIMINATOR	任意の閾値以上の電圧パルスの信号のみをアクセプトする。
DUAL 4-FOLD COINCIDENCE	シリコンセンサー 2 台を使用した時に AND 信号を出力する。
LOGIC LEVEL ADAPTER	NIM 規格のデジタル信号をロジック回路のフォーマットである TTL 信号に変換
DUAL HIGH VOLTAGE POWER SUPPLY (POSITIVE)	シリコンセンサーに電圧を印加する。
DUAL HIGH VOLTAGE POWER SUPPLY (NEGATIVE)	シンチレーションカウンタに電圧を印加する。
100MHz CLOCK GENERATOR	任意の周波数を持った信号を出力することができる。
8CH VISUAL SCALER	入力端子が 8ch あり、それぞれエン트리数をカウントすることができる。

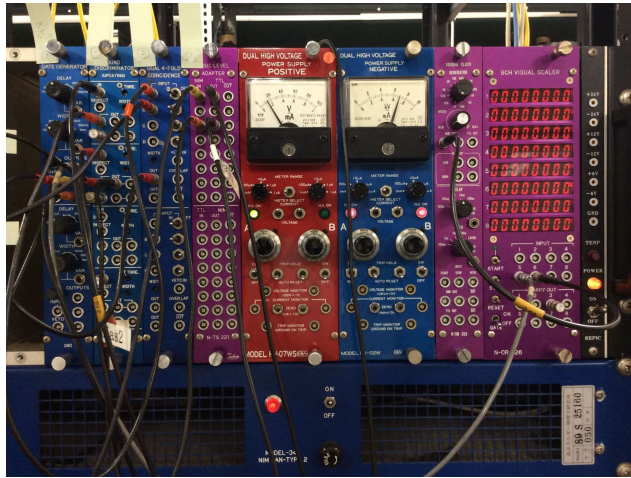


図 2.9 使用した NIM モジュール

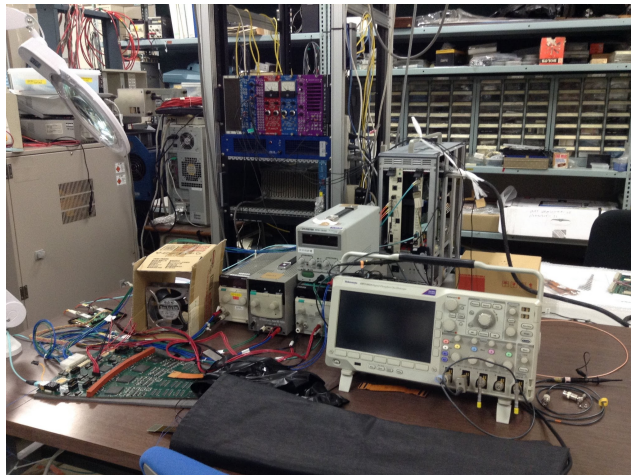


図 2.10 INTT テストベンチの設置状況

れ全てチャンネルに対し入力される。キャリブレーションテストでの DAC 閾値設定は表 2.3 のとおりある。DAC 閾値設定については、3.2.4 で詳しく述べる。このテストにおいて入力テストパルスの波高を amplitude と呼ぶ。

2.4.2 キャリブレーションテスト結果

図 2.12 の右は、1 チップでの入力 amplitude と出力 ADC の相関関係である。このヒストグラムはボックス型と呼ばれ、ひし形のようなヒストグラムの形がヒット数を表している。この図より、chip 1 において入力 amplitude と出力 ADC は DAC 設定値に基づいた比例関係にあることがわかる。この図を 1 モジュール分 (chip1~26) まとめて表示したものが図 である。上段は左が chip1 で一番左が chip13、下段は左が chip14 で一番右は chip26 であり、全チップで比例相関関係が確認できることから正常に動作

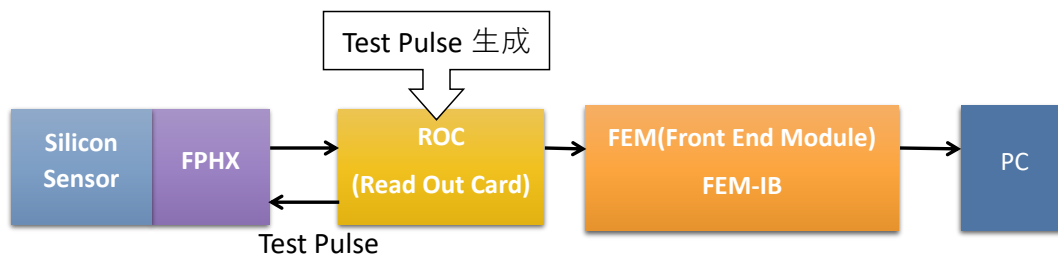


図 2.11 キャリブレーションモードにおける読み出し回路

表 2.3 キャリブレーションモードにおける DAC 閾値設定

DAC	DAC 設定値	対応電圧 [mV]
DAC0	20	290mV
DAC1	25	310mV
DAC2	30	330mV
DAC3	35	350mV
DAC4	40	370mV
DAC5	45	390mV
DAC6	50	410mV
DAC7	55	430mV

しているといえる。図の左は、1チップでの入力 amplitude とヒットチャンネル位置の相関関係であり、色がヒット数を示している。この図より、DAC0 閾値付近でのヒット数が徐々に増えていき、ある閾値を超えると常に同じヒット数であることがわかる。この図を1モジュール分 (chip1~26) まとめて表示したものが図 2.14 である。上段は左が chip1 で一番左が chip13、下段は左が chip14 で一番右は chip26 であり、全チップ全チャンネルで同等のヒット数が確認できるので正常に動作しているといえる。

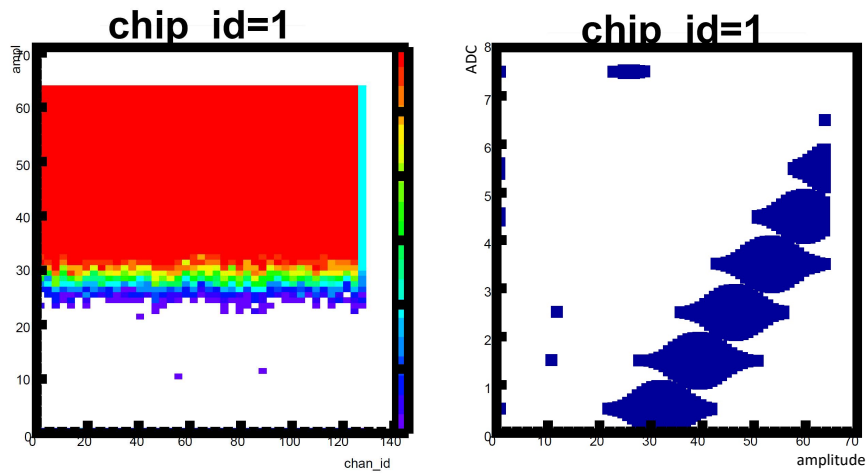


図 2.12 (右図)chip 1でのテストパルスの入力波高 (amplitude) と出力 ADC の相関分布, 横軸: 入力波高 (amplitude), 縦軸: 出力 ADC, (左図)chip 1での全チャンネルでのテストパルスのヒット数分布, 横軸: チャンネル番号, 縦軸: 入力波高 (amplitude)

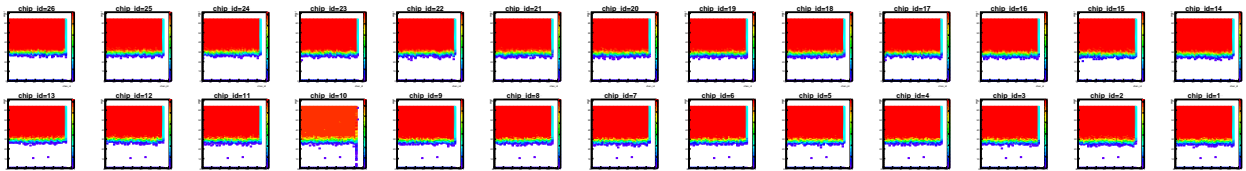


図 2.13 チップごとの全チャンネルでのテストパルスのヒット数分布

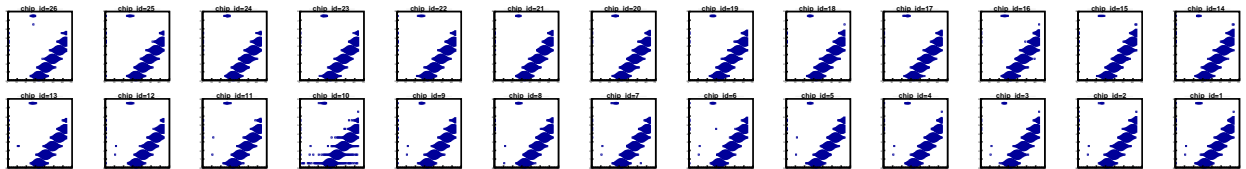


図 2.14 チップごとのテストパルスの入力波高 (amplitude) と出力 ADC の相関分布

第 3 章

宇宙線測定

3.1 目的

本研究では宇宙線を利用し、シリコンセンサーの性能を評価する。宇宙線は実験室内で再現できる最大エネルギーを持ち、 μ 粒子がシリコンを通過した時のエネルギー損失は 100MeV \sim 1GeV 程度で観測されるので、sPHENIX 実験での条件に近い状態を作り出すことができる。

3.2 測定方法

本実験では、シリコンセンサーからの信号と、シンチレーターからの信号の AND 信号をトリガー信号として採用し測定を行った。2つのシンチレーションカウンターの AND 信号を採用している。本測定は宇宙線のレートが低く、長時間の測定が必要となるため、宇宙線由来でないノイズを拾う確率が高い。AND 信号を利用することで、このノイズの削減することができる。AND 処理は FEM の基板上に乗った FPGA で行われる。また、低エネルギー粒子はトリガー用のシンチレーター内で多くのエネルギーを損失し静止することで、さらに宇宙線レートが下がってしまう可能性がある。宇宙線は高エネルギー粒子であるため、シンチレーターを通過した後もエネルギーを有することができる。従って、この測定方法は高エネルギーの測定対象に適している。

今回使用したシンチレーションカウンターの仕様と性能については下記表 5.1 にまとめた。用いたシンチレータは 2 種類存在し、1つはシリコンセンサー全体を、もう一つは一部を覆っている。シンチレーションカウンターの信号レートは、NIM 規格の Visual Scaler を用いて一定時間あたりの信号数をカウントし、概算し求めた数値である。

3.2.1 読み出し回路

宇宙線測定の読み出しシステムは図 3.1 と図 3.2 の通りである。図 3.1 は外部トリガーの生成回路をしめす。宇宙線がシンチレーションカウンターを通過すると NIM モジュールの DISCRIMINATOR に電圧パルスが送られる。ここで閾値以上である信号のみ COINCIDENCE に送られる。AND が取れた

表 3.1 使用したシンチレーションカウンターの仕様と性能

シンチレーション カウンター	シンチレーターのサイズ			光電子増倍管 品番	陽極-陰極間 印加電圧
	縦	横	厚み		
A	128 mm	24 mm	5 mm	H3178-51	-1150 V
B	20 mm	30 mm	10 mm	H3165-10	-1400 V

電圧パルス信号は DUAL GATE GENERATOR で波形整形される。この時、外部トリガー信号をシリコンセンサーにタイミング同期させるために、外部トリガー信号の幅や時間を調節する。最後に Level Adapter で NIM 規格のデジタル信号を TTL 規格に変換されたものが宇宙線外部トリガー信号である。さらに、図 3.2 はシリコンセンサーからのデータ読み出し回路をしめす。シリコンセンサーで信号が読み取られると、FPHX チップに送られ、電荷パルス信号は増幅・整形後、デジタル化 (ADC) される。デジタル信号は ROC で集積・同期され、シリコンセンサーからのトリガー信号として FEM に入力される。この信号と外部トリガー信号が FEM に同時入力された場合、FEM ロジック回路でトリガーが発行され、デジタル信号を (ハードディスクに) 記録する。この信号は sPHENIX 共通のデータフォーマットに変換された後、PC に入力される。

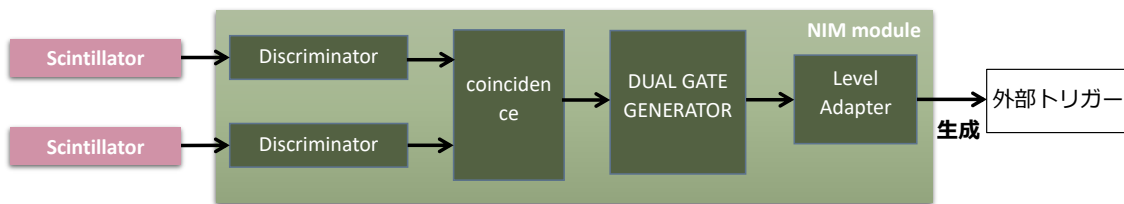


図 3.1 宇宙線測定における外部トリガー生成回路

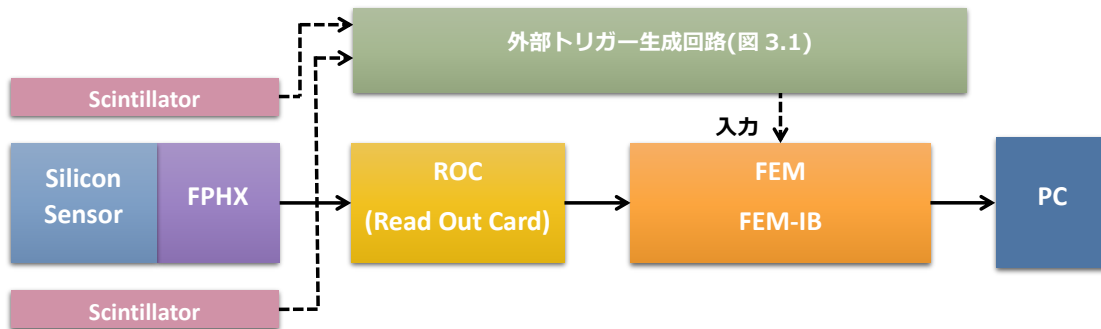


図 3.2 宇宙線測定におけるデータの読み出し回路

3.2.2 宇宙線トリガーのタイミング調節

シリコンセンサーから FEM で内部トリガー判断が行われる間、FPHX チップにおける信号処理時間、ROC 基板での信号処理時間分、信号が遅延する。従って、この遅延時間分シンチレーションカウンターからの信号を FEM のロジック回路へ入るまでに遅らせ、内部トリガー信号と AND をとれるようにタイミングに合わせる必要がある。処理時間は FPHX チップでの信号処理時間 $0.9\mu\text{s}$ と ROC 基盤での信号処理時間 $1.7\mu\text{s}$ を足し合わせた $2.6\mu\text{s}$ である。この遅延処理には NIM 規格の DUAL GATE GENERATOR モジュールを用い、幅や遅延時間を調節した。シンチレーションカウンターのアナログ信号に対するスレッシュホールドは 150mV とした。この値に設定した理由は、印加電圧を上げることで発生する波形の乱れにより、宇宙線でない低波高の信号をトリガーとして採用してしまうのを防ぐためである。

オシロスコープ上で確認した波形を図 3.3 に示す。各波形が表す出力信号は下に示す通りである。

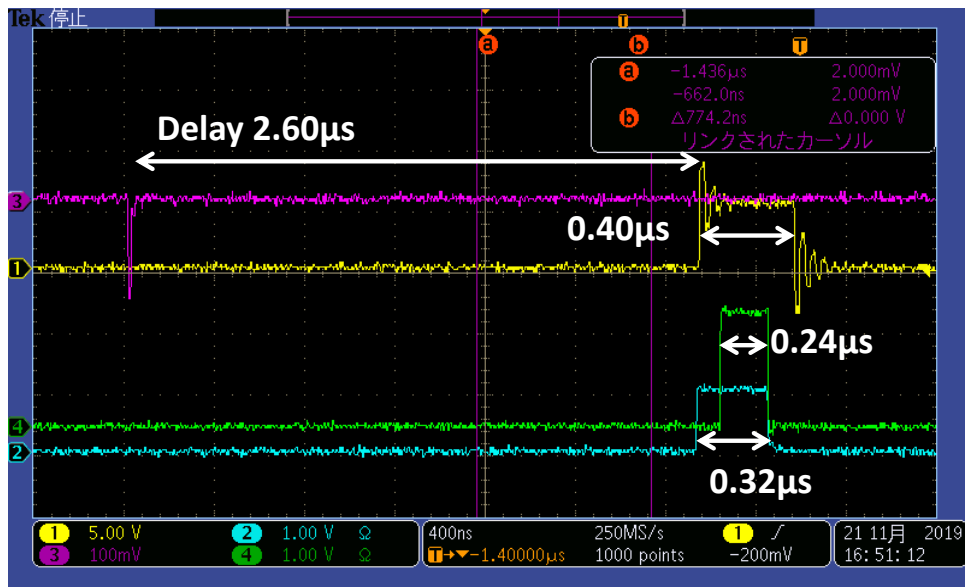


図 3.3 オシロスコープ画面出力信号

オシロスコープ画面出力信号

- 赤： シンチレーションカウンターからの宇宙線アナログ信号
- 黄： FEM に入力されるシンチレーションカウンターからの宇宙線トリガー信号 (TTL 規格)
- 緑： FEM に入力されるシリコンセンサーからのトリガー信号
- 青： 2つのトリガー信号 (2. 黄色と 3. 緑) の AND 処理により FEM で発行されたトリガー信号

赤のシンチレーションカウンターからの宇宙線アナログ信号が発行されてから、黄色の FEM に入力されるシンチレーションカウンターからの宇宙線トリガー信号が発行されるまでに約 $2.6\mu\text{s}$ かかっているこ

とがわかる。シンチレーションカウンターからの宇宙線トリガーの方形波の幅は約 $0.40\mu s$ で 5beamCLK 分に等しい。このデジタル信号と緑のシリコンセンサーからのトリガーのデジタル信号が同時に発行され、AND 処理による青のデジタル信号が発行されていることから、FEM での宇宙線トリガー判断が正常に機能しており、宇宙線トリガー信号とシリコンセンサーからのトリガー信号の AND が取れていることがわかる。従って、FEM の AND 処理に最適な外部トリガー信号の幅や時間を調節が行えたといえる。

3.2.3 セットアップ

本測定では、トリガー用シンチレーションカウンター 2 つでシリコンセンサー 1 つまたは 2 つを挟んで設置した。シリコンセンサー 2 つによる同時測定は測定効率の上昇につながる他、ある宇宙線のエネルギー損失を 2 つのセンサーで測定できるため、センサーの出力性能の評価がしやすくなる。図 3.4 と図 3.5 はそれぞれシリコンセンサー 1 つの場合の設置状況とその模式図、図 3.6 と図 3.7 はそれぞれシリコンセンサー 2 つの場合の設置状況とその模式図である。

地上で観測される μ 粒子のエネルギーは十分に大きいため、空気中やシンチレーター内、シリコンセンサー以外でのエネルギー損失は考えない。よって、シリコンセンサーの破損を避けるために、シリコンセンサー本体を、アルミニウム製の保護カバーで覆った状態で測定した。また、この保護カバーは、HDL 部分と冷却チューブ接続部分に隙間が空いており、室内灯や太陽光からの光子を遮断するには不十分なため、上から暗箱と暗幕で厚く覆い測定を行った。

3.2.4 DAC 閾値設定

FPHX 読み出しチップは 1ch あたり 3bit の ADC と 8bit の DAC をもつ。各 ADC の閾値は対応する DAC により、任意に設定できる。DAC 閾値設定は表 3.2 のとおりである。DAC 設定値と対応電圧の関係は、

$$\text{対応電圧} = \text{DAC 設定値} \times 4 + 210\text{mV}$$

という式で表せる。本実験ではできるだけ小さなノイズ信号をカットして測定を行うために、DAC0 に対応する電圧値を 270mV に決定した。また ADC0 と ADC7 以外に対応電圧の幅が一定になるように設定した。これはヒストグラム作成時にヒット数の傾向を見やすくするためである。

表 3.2 DAC 閾値設定

DAC	DAC 設定値	対応電圧 [mV]
DAC0	15	270mV
DAC1	23	300mV
DAC2	60	450mV
DAC3	98	600mV
DAC4	135	750mV
DAC5	173	900mV
DAC6	210	1050mV
DAC7	248	1200mV

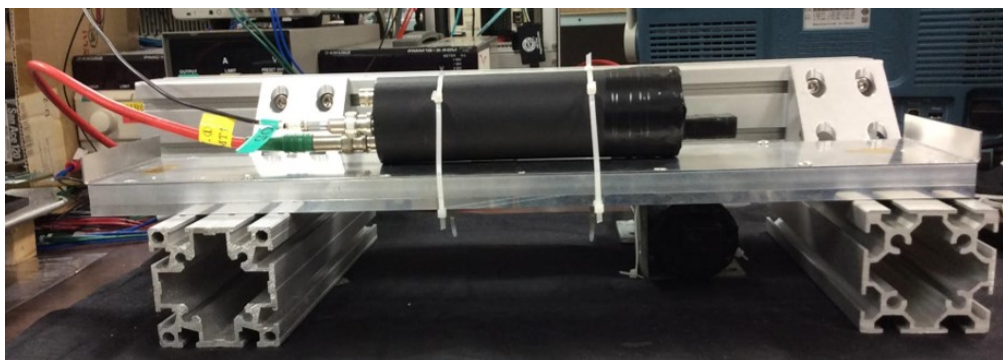


図 3.4 シンチレーションカウンター (A, B) とシリコンセンサー 1 つの設置状況

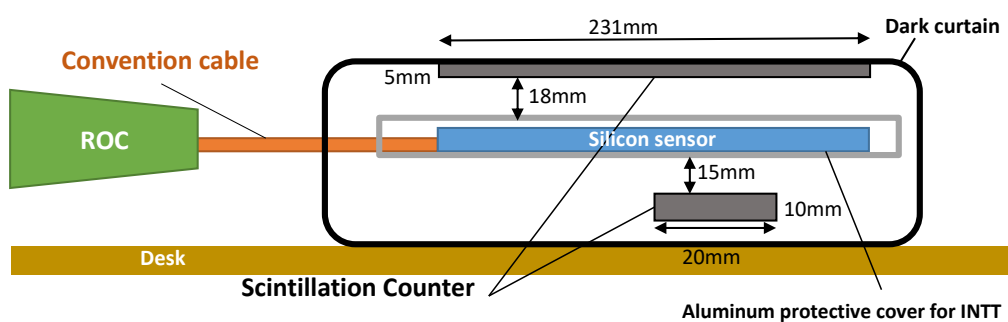


図 3.5 シンチレーションカウンター (A, B) とシリコンセンサー 1 つの設置状況の模式図

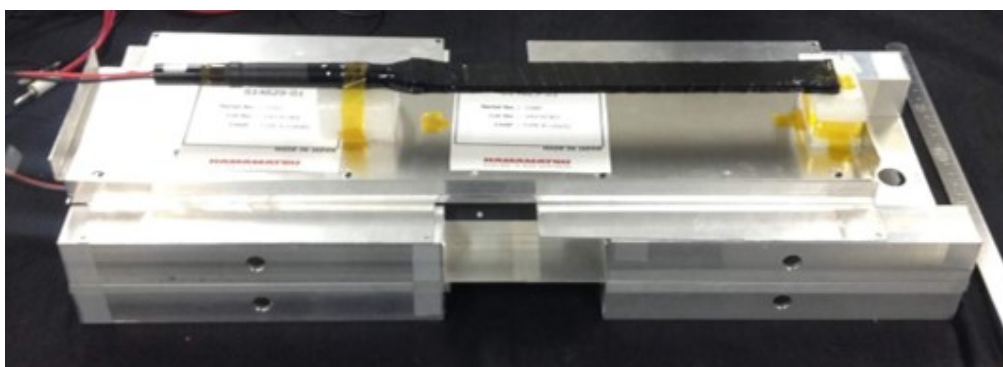


図 3.6 シンチレーションカウンター (A) とシリコンセンサー 2 つの設置状況

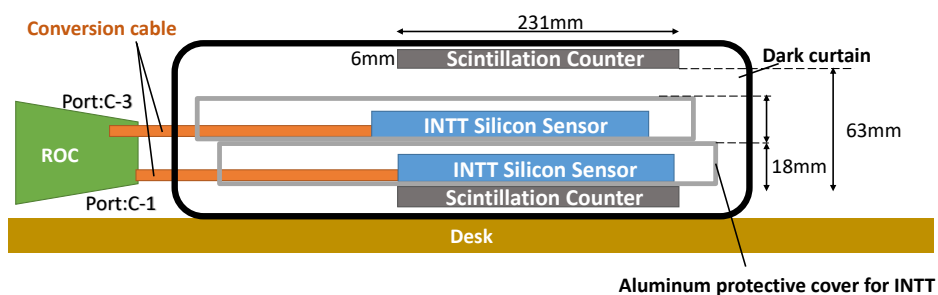


図 3.7 シンチレーションカウンター (A) とシリコンセンサー 2 つの設置状況の模式図

第4章

宇宙線データの解析

本測定の解析は、イベント選定、クラスター化、グラフの測定の3つで構成されている。シリコンセンサー1つで行った測定データのイベント選定ではノイズの除去のみ、シリコンセンサー2つで行った測定データのイベント選定ではノイズ除去と宇宙線イベントの選定の2つを行った。作成した解析プログラムは付録 readtree1, readtreeh, run_readtree, plot_readtree2 のとおりである。これらの実行方法については付録 A で詳しく述べる。全体の流れは次のようである。

1. イベント選定：ノイズの除去
2. クラスター化解析
3. イベント選定：宇宙線イベントの選定（シリコンセンサー2つで行った測定データの場合）
4. グラフの測定

4.1 イベント選定：ノイズの除去

本解析では、2つのノイズデータを除去した。1つ目は存在しないモジュールから出力されるデータの除去である。本来はモジュールが接続されている ROC 上のポートからのデータのみが FEM に送られ PC に入力される。しかし実際のデータには、このような誤データも含まれている。これらのデータは解析したいモジュールが接続されているポートを選択することにより、その他のイベントを除去できる。2つ目は、同じヒットが2イベント連続でくるイベントの除去である。このようなイベントは、片方もしくは両方のモジュールからの出力に含まれていた。

4.2 クラスター化解析

4.2.1 クラスター化解析の必要性

宇宙線がシリコンセンサー表面に対して垂直方向に入射した場合、1チップの1ストリップのみ通過することが多い。一方、宇宙線が斜め方向に入射した場合、複数のストリップを通過することがある。この

時、1 粒子のイベントが複数ストリップに分かれて記録されている。ここで隣り合ったヒットを1つにまとめ（クラスター化）、1 粒子のイベントを得ることで、宇宙線のシリコン内でのエネルギー損失の状態とシリコンセンサーの動作確認を行うことができる。複数ストリップを通過した宇宙線イベントのクラスター化イメージ図は図 4.1 の通りである。

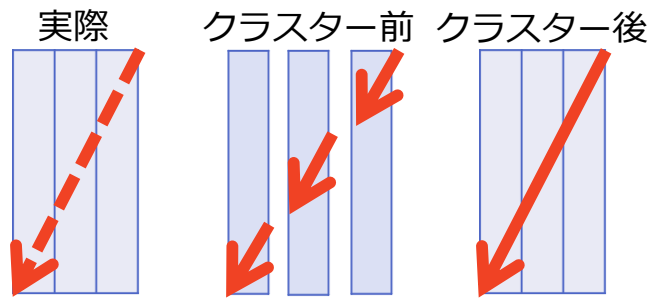


図 4.1 複数ストリップを通過した宇宙線イベントのクラスター化イメージ図

4.2.2 クラスター化解析方法

本実験で得られるデータはブランチ構造になっており、同じ beam CLK で記録された entry を、1 event ずつ区別し、1 event ごとの連続ストリップ通過数を得た。クラスター化解析の流れを次に示す。

クラスター化解析の流れ

1. 不要データ除去後のイベントを配列に入れる。
2. チップ番号ごとにチャンネル番号で配列のデータを並び替える。
3. 1event に含まれるクラスター数を測定する。
4. クラスター数が1以上のチップ番号のデータをクラスター化する。
 - 1) 1チップのヒット数がクラスターに使われるヒット数(ストリップ数)に等しい時→ $N_{hits} = (1 \text{ チップののヒット数})$ とし、クラスター化する。
 - 2) チャンネル番号が連続の時→ヒット数(ストリップ数)増やす。
 - 3) チャンネル番号が連続でない時→ヒット数(ストリップ数) (N_{hits}) 分をクラスター化する。

1 event ごとに読み出されたヒットデータから不要イベントを除去した後、チップごとのヒットチャンネルが連続しているかを確認する。連続したヒットチャンネルは宇宙線 1 event 分のヒットであると考えられるので、クラスター化する。ここでは、連続ヒット数とその損失エネルギー和、ヒットチップ番号、平均チャンネル番号を得る。連続ヒットがない場合は、1 ヒットを1 クラスターとする。全チップに対しクラスター化を行った後、1 event あたりの全クラスター数を測定する。

全 event に対しこのクラスター化と測定を行った後、損失エネルギー分布とクラスター数分布、連続ヒット数分布などを測定する。

4.3 イベント選定：宇宙線イベントの選定

シリコンセンサー2つを利用した測定では、イベント選定として宇宙線イベントの選定を行った。その条件は次の3つである。

- 1) 宇宙線が2つのモジュールを同時に通過するイベント
- 2) 垂直に位置しているシリコンセンサーとストリップにヒットがあるイベント
- 3) 1イベントあたり1クラスターのみイベント

イベント選定 1) と 2) より、2つのモジュールに同じ μ 粒子が通過したイベントのみを解析することができる。2) のシリコンセンサーとストリップの選択は、各センサーに対応する FPHX チップの番号とチャンネルの番号の組み合わせで決定した。

チップの組み合わせでは2つのモジュールのヒットチップ番号の差が2または3のイベントを選定した。図 4.2 はチップ選定に用いる分布である。図 4.2 の左は上下のモジュールのヒットチップ番号の相関分布である。横軸と縦軸がそれぞれ上層と下層のモジュールのチップ番号を、色がヒット数を表す。黄色の部分のチップ番号の組が多いことがわかる。図 4.2 の右は図 4.2 左のチップ番号の差のヒストグラムである。この分布より、 1σ 以内のチップ差は2または3であることがわかる。

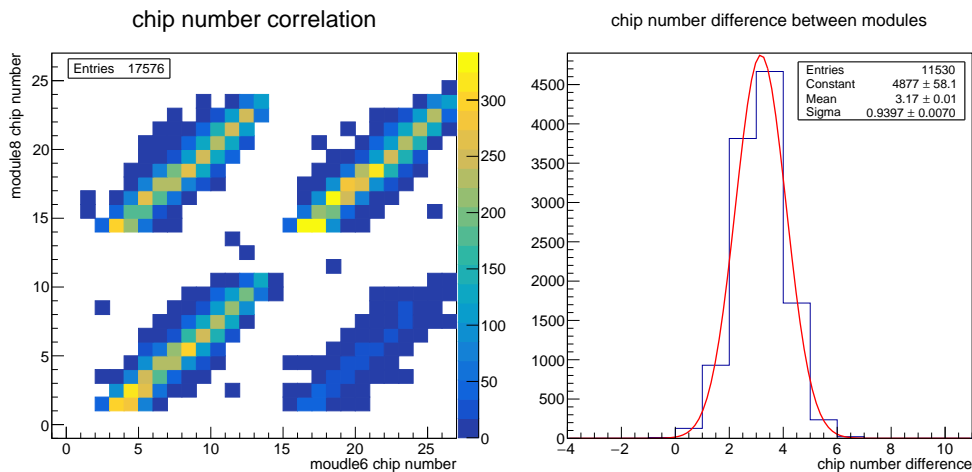


図 4.2 (左図) 上下の INTT モジュールのヒットチップ番号の相関分布, 横軸: 上層のモジュールのチップ番号, 縦軸: 下層のモジュールのチップ番号, (右図) 上下の INTT モジュールのヒットチップ番号の差の分布

また、チャンネルの組み合わせでは2つのモジュールのヒットチャンネル番号の差が-19 から 27 のイ

イベントを選定した。どちらの選定においてもガウス分布の1シグマ以内のデータを選定した。図4.3はチップ選定後のチャンネル選定に用いる分布である。図4.3の左は上下のINTTモジュールにヒットした選定チップのチャンネル番号の相関分布である。横軸と縦軸がそれぞれ上層と下層のモジュールのチャンネル番号を、色がヒット数を表す。ヒットチャンネルを見やすくするため、軸を8等分したビンに設定した。黄色の部分のチャンネル番号の組が多いことがわかる。図4.3の右は図4.3の左のチャンネル番号の組み合わせの差のヒストグラムである。この分布より、 1σ 以内のチャンネル差は-21~27あることがわかる。

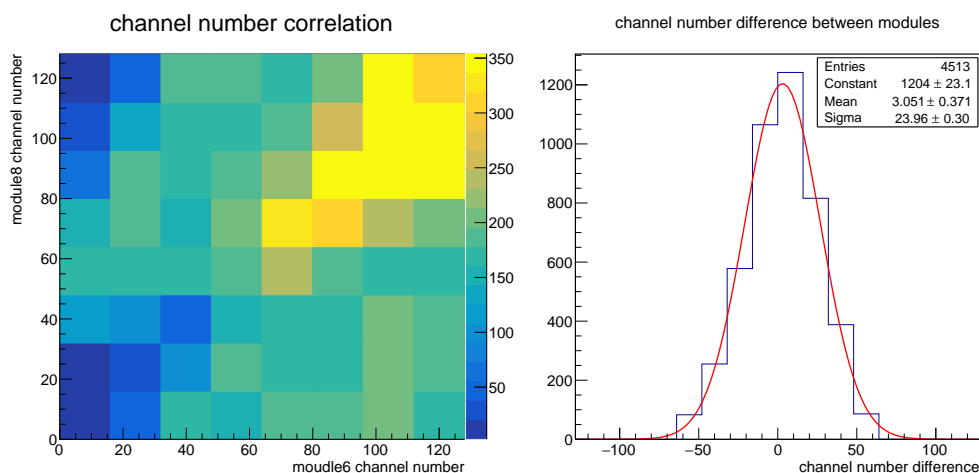


図4.3 (左図) 上下のINTTモジュールのチップ選定後のヒットチャンネル番号の相関分布、横軸：上層のモジュールのチャンネル番号、縦軸：下層のモジュールのチャンネル番号、(右図) 上下のINTTモジュールのチップ選定後のヒットチャンネル番号の差の分布

イベント選定3) より、不要ノイズによるデータを除き、宇宙線とみられるイベントのみを解析することができる。この解析ではクラスター化を行った。クラスター化については5.2節で詳しく述べる。

第 5 章

宇宙線データの解析結果

5.1 測定データ

測定したデータの種類と各データのイベント数、測定時間は次のとおりである。

表 5.1 測定したデータの種類、各データのイベント数、測定時間

シリコンセンサー 個数 [個]	シンチレーター の種類	測定時間 [時間]	全データ数 [個]
1	A と B	208.5	35671
2	A のみ	162.5	218606

5.2 イベント選定

図 5.1 はクラスター化前のエネルギー損失分布のイベント選定による変化を表す。左図はノイズイベント除去前、中央図はノイズイベント除去後の損失エネルギー分布、右図はノイズ除去と宇宙線イベント選定後のエネルギー損失分布を電圧表示したものである。

5.2.1 ノイズイベントの除去

ノイズイベントの除去により、図 5.1 の左図から中央図へ損失エネルギーが変化した。その結果 270～300mV に存在する大量のヒットが減り、270～300mV と 450～600mV にピークが確認できた。

ノイズ除去後のチップに読み込まれたヒットチャンネル分布は図 5.2 と 5.3 と 5.4 である。図 5.2 は 1 チップあたりチャンネル分布で、縦軸がチャンネル番号、横軸がチャンネルのヒット数を表す。図 5.3 と 5.4 は図 5.2 の各チップの分布を 26 個集め、1 モジュール分のチャンネル分布を表している。図 5.3 は上層のシリコンセンサー A、5.4 は下層のシリコンセンサー B である。これらの分布より、宇宙線がシリコンセンサーにヒットし、各チップのチャンネルに読み込まれていることが確認できる。また、2 つ

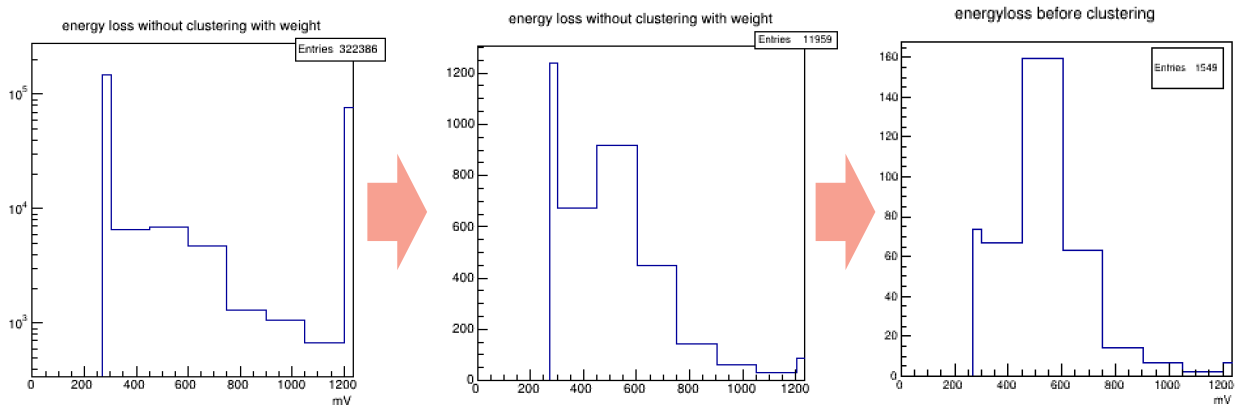


図 5.1 クラスタ化前のエネルギー損失分布 (電圧表示), (左図) ノイズ除去前, (中央図) ノイズ除去後, (右図) ノイズ除去と宇宙線イベント選定後

のシリコンセンサーは ROC のポートとコンバージョンケーブルの接続の関係により、真上ではなくずらして設置してある。図 5.3 と図 5.4 からわかるように、上層のシリコンセンサー A は右側、下層のシリコンセンサー B は左側に多くのヒットがある。これより、両シリコンセンサーが重なっている部分に多くのヒットがあることが確認できる。

5.2.2 宇宙線イベントの選定

宇宙線イベント選定は、トリガー用シンチレーションカウンター 2 つでシリコンセンサー 2 つを挟んで設置し、測定したデータにのみ行った。宇宙線イベント選定により、図 5.1 の中央図から右図へ損失エネルギーが変化した。その結果、ヒストグラムの確認できるピークが 1 つになり、270~300mV のピークはノイズ、450~600mV のピークは宇宙線損失エネルギーであることが確認できた。これより、2 つのシリコンセンサーで測定を行うことはシリコン中での宇宙線損失エネルギー分布を確認する方法として有効であるといえる。

5.3 クラスタ化

クラスタ化は、1 CLK あたりに含まれる連続チャンネルのヒットを足し合わせ、その足し合わせたヒット数別に損失エネルギー分布を測定した。

図 5.5 の左はノイズ除去後の 1 CLK あたりに含まれるヒット数分布、図 5.5 の右はノイズ除去後の 1 CLK あたりに含まれるクラスタ数分布を表す。図 5.5 の左より、1 CLK あたり約 7 割が 1 ヒット、約 3 割が 2 ヒットであることがわかる。従って、測定した宇宙線はほぼ垂直にシリコンセンサーに入射し、1~2 個のストリップを通過したといえる。図 5.5 の右より 1 CLK あたりのクラスタ数はほとんどが

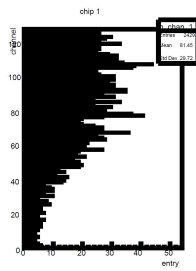


図 5.2 シリコンセンサーの1チップあたりチャンネル分布（ノイズ除去後）

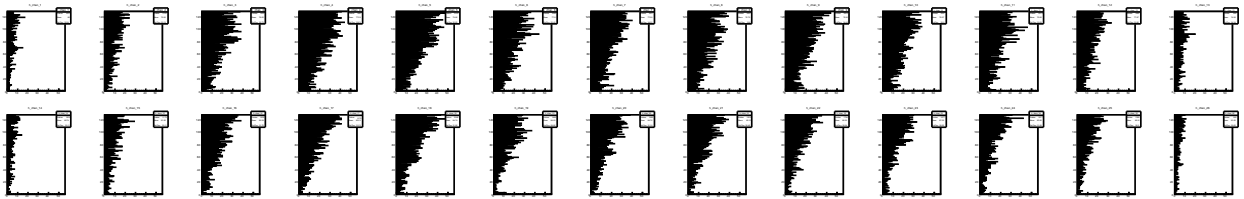


図 5.3 上層のシリコンセンサー A のチップごとのチャンネル分布（ノイズ除去後）

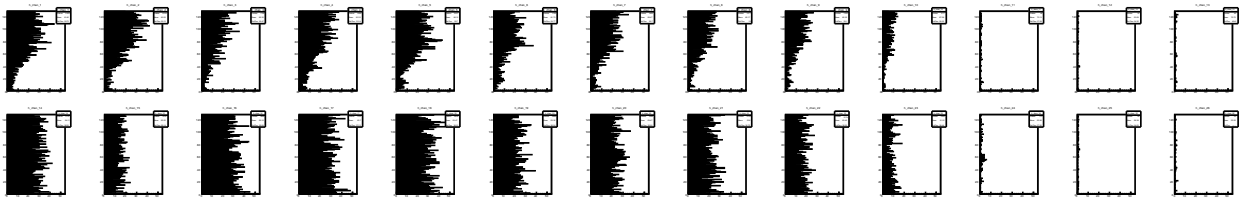


図 5.4 下層のシリコンセンサー B のチップごとのチャンネル分布（ノイズ除去後）

1であることがわかる。これらの分布は、ノイズ除去後と宇宙線イベント選定後で結果が変化しなかった。従って、測定したイベントのデータは不要ノイズによるものではなく、宇宙線のイベントであるといえる。

図 5.6 はイベント選定（ノイズ除去、宇宙線イベント選定）された測定データのクラスター化後のヒット数別の損失エネルギー分布であり、赤が1ヒット、青が2ヒットのエネルギー損失を表す。これより、宇宙線のシリコン内での損失エネルギーは1ヒットでは450~600 mV、2ヒットでは750~900mVにピークがあることがわかる。従って、ヒット数により損失エネルギーが異なることがわかる。

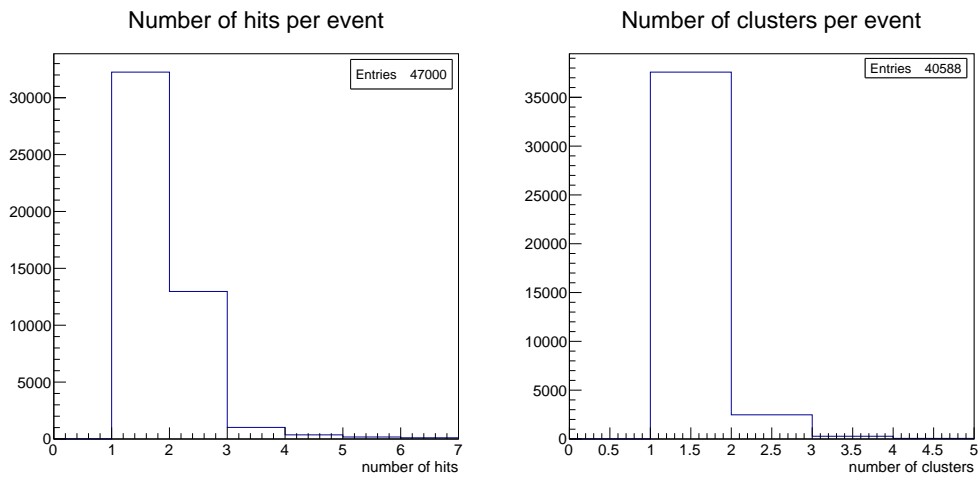


図 5.5 (左図) ノイズ除去後の 1 CLK あたりに含まれるヒット数分布, (右図) ノイズ除去後の 1 CLK あたりに含まれるクラスター数分布

clustered energy loss

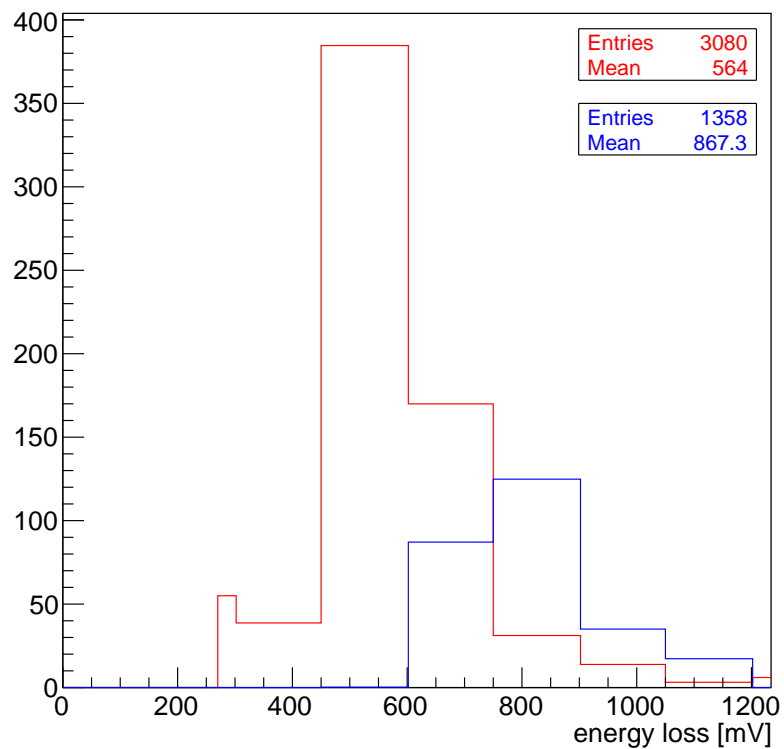


図 5.6 クラスター化後のエネルギー損失分布 (電圧表示)

第 6 章

測定で明らかになった問題点と改善

6.1 問題点

宇宙線測定の結果から 2 つの問題点が上がった。

1. 予想エネルギー損失と測定結果の違い
2. 1 ヒットと 2 ヒットのエネルギー損失ピーク位置の違い

6.1.1 項と 6.1.2 項でこれらの問題について説明する。

6.1.1 予想エネルギー損失と測定結果の違い

宇宙線がシリコン内で損失する予想エネルギー値を計算し測定結果と比較する。1 GeV の μ 粒子が 320 μm 厚のシリコンを通過した時の MIP (Minimum Ionizing Particle) のエネルギー損失を基準に計算した。まず、320 μm におけるシリコンのエネルギー損失は 2.1.3 節より $1.15\text{MeV} \cdot \text{g}^{-1} \cdot \text{cm}^2$ である。また、シリコンの密度は $2.33\text{g} \cdot \text{cm}^{-3}$ であるので、損失エネルギーは式 6.1 のように計算できる。

$$1.15\text{MeV} \cdot \text{g}^{-1} \cdot \text{cm}^2 \cdot 2.33\text{g} \cdot \text{cm}^{-3} \cdot 0.032\text{cm} \cdot 10^6 \simeq 85700\text{eV} \quad (6.1)$$

本実験で読み出されたデータは、式のように損失エネルギーを電荷に変換し、ゲイン値をかけて電圧表示することで評価する。式 6.3 におけるゲイン値は、表の改善前の GUI 上での入力値 GSel=2 とした時の値 $60 \times 5\text{mV}/\text{fC}$ を利用している。

$$\frac{85700\text{eV} \times 1.60 \times 10^{-19} \times 10^{15}}{3.67\text{eV}} \simeq 3.79\text{fC} \quad (6.2)$$

$$3.79\text{fC} \times 60\text{mV}/\text{fC} \times 5 \simeq 1100\text{mV} \quad (6.3)$$

従って、1 GeV の μ 粒子が 320 μm 厚のシリコンを通過した時に損失するエネルギー損失は 85700eV、電圧表示すると 1100mV である。一方、本実験で行った測定において、損失エネルギーのピーク位置は 1 ヒットで 450~600mV、2 ヒットで 650~900mV である。従って予想損失エネルギー値と測定値が異な

ることが判明した。

6.1.2 1 ヒットと 2 ヒットのエネルギー損失ピーク位置の違い

ヒット数ごとに予想損失エネルギーを計算する。その結果、1 ヒットと 2 ヒットの予想値の差は約 100mV となる。一方、測定結果では 1 ヒットと 2 ヒットのピーク位置の差は約 200mV であるところから、予想値よりも 1 ヒットと 2 ヒットの損失エネルギーピーク差が大きいことが判明した。

6.1.3 問題点の対応

6.1.1 項と 6.1.2 項の問題の原因として、

1. 予想損失エネルギー計算に利用するゲイン値が異なる。
2. 測定データにオフセットが関与している。

の 2 つが考えられた。6.2 節と 6.3 節で 2 点の原因を検討する。

6.2 ゲイン値

6.1 節の問題点の原因として、予想損失エネルギー計算に利用するゲイン値が異なるということが考えられた。測定で出力される損失エネルギー値に使われるゲイン値は、測定前にユーザーが GUI の画面上に入力する値 (GSel) と対応関係にある。今回は以前まで使われていた対応関係を見直し、それぞれの入力値で実験を行った。

表 6.1 ゲイン値と GSel 入力値の対応関係

GSel		0	1	2	3	4	5	6	7
ゲイン	以前	46 × 5	50 × 5	60 × 5	67 × 5	85 × 5	100 × 5	150 × 5	200 × 5
[eV/fC]	今回	200	150	100	85	67	60	50	46

6.2.1 宇宙線測定によるゲイン値の確認

GSel 入力値を 0~7 まで変えて、測定した損失エネルギーは図 6.2 である。全て 1 ヒットの損失エネルギーを電圧表示している。

図 6.2 より、GSel 入力値が大きくなるにつれ、エネルギー損失のピーク位置が低いほうシフトしていることが確認できる。つまり、GSel 入力値を大きくするとゲイン値が小さくなり、出力される損失エネルギーが小さくなるということである。従って、今回新たに考えた GSel 入力値とゲイン値の対応関係は正しかったといえる。

6.2.2 キャリブレーションテストによるゲイン値の確認

GSel 入力値を 0~7 まで変えてキャリブレーションテストを行った際のゲイン値による出力結果の変化が測定されている。詳しくは森田 [7] を参照されたい。各 GSel での測定で比較したのは図 2.12 の右の分布で、図 6.1 の通りである。それぞれが各 GSel 入力値において、1 チップでの入力 amplitude と出力 ADC の相関関係である。上段は左が GSel=0 で一番左が GSel=3、下段は左が GSel=4 で一番右は GSel=7 である。これより、GSel 入力値を大きくするにつれ入力 amplitude に対する出力 ADC の値が小さくなるのがわかる。つまり、GSel 入力値を大きくするとゲイン値が小さくなり、出力される損失エネルギーが小さくなるということである。従って、今回新たに考えた GSel 入力値とゲイン値の対応関係は、キャリブレーションテストにおいても正しかったといえる。

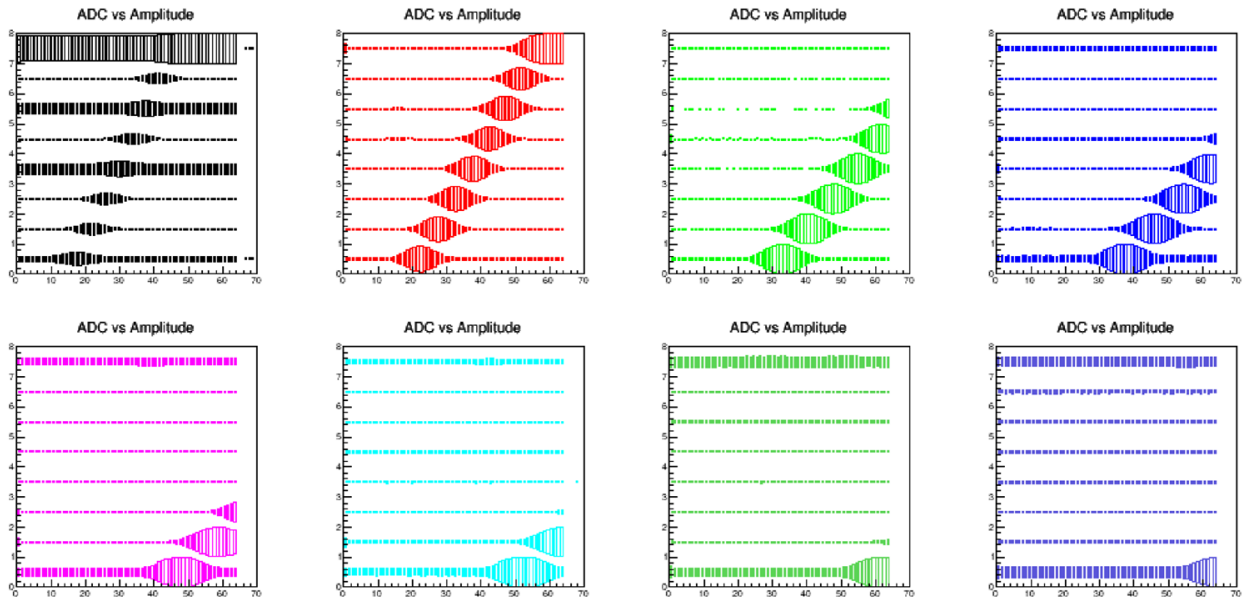


図 6.1 各 GSel 入力値でのテストパルスの入力波高 (amplitude) と出力 ADC の相関分布, 横軸: 入力波高 (amplitude), 縦軸: 出力 ADC

6.2.3 適切なゲイン値の決定

適切な GSel 入力値とゲイン値の対応関係 (表 6.1) を利用すると、今回の測定での GSel 入力値=2 に対応するゲイン値は 100eV/fC である。これより、1 GeV の宇宙線がシリコン $320\mu\text{m}$ を通過した際の予想損失エネルギーは約 370mV となる。

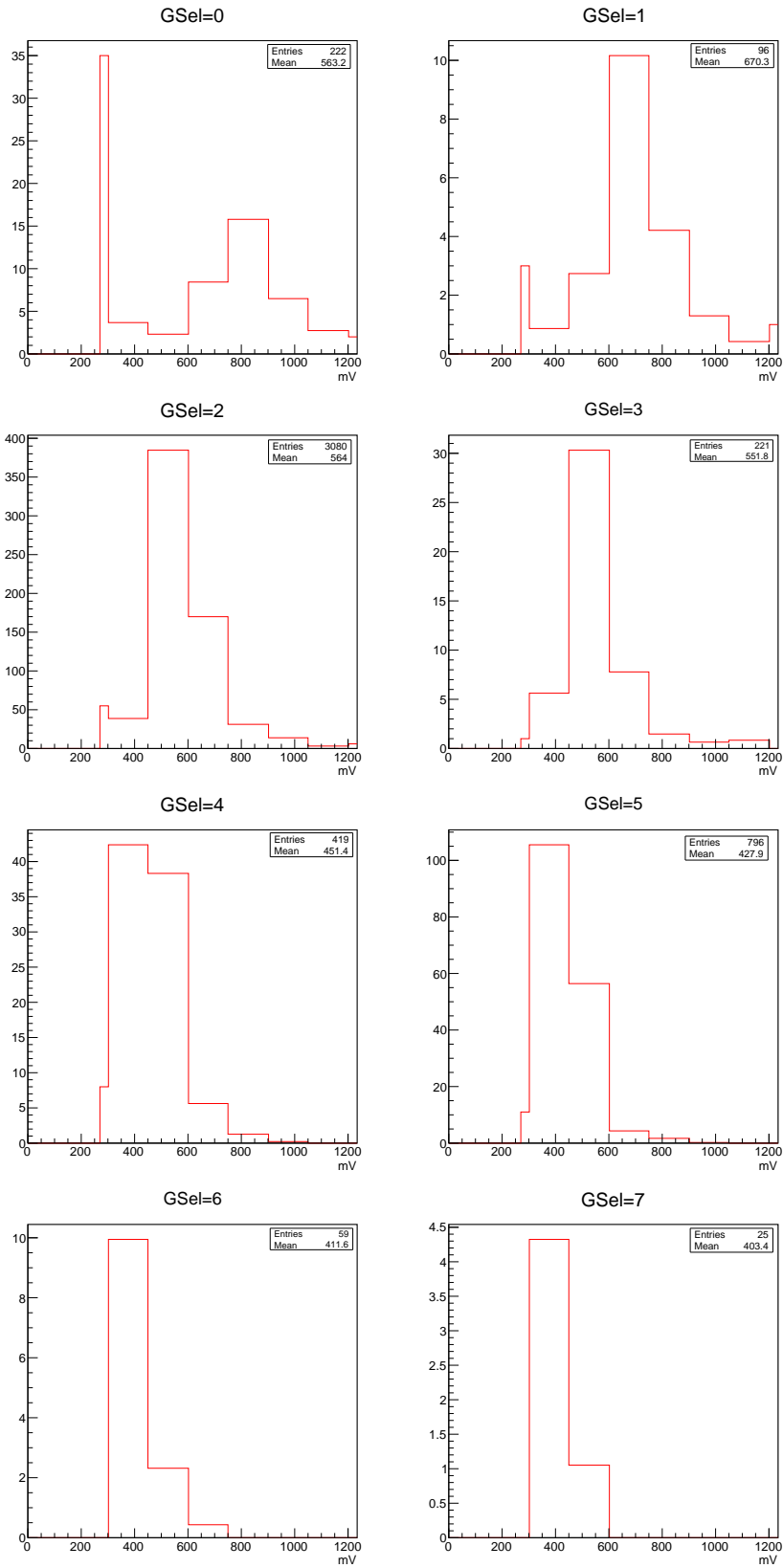


図 6.2 GSel の入力値を変えて測定をした 1 ヒットのエネルギー損失 (電圧表示)

6.3 オフセット

6.2.3 節で決定したゲイン値を用いても、6.1 節で述べた 2 つの問題点は解決しなかった。そこで、ゲイン値とは別の値、オフセットが関与しているのではないかと考えた。ここでいうオフセットとは測定基準点の 0 点からのズレの値を表す。つまり、全く関係のない値 (オフセット) がもともと測定値に足されているということだ。また、今回の測定に関与したオフセットは 1 チップあたりの読み出しごとに存在すると考えた。図 6.3 にヒットに関与するオフセットの模式図を示す。 μ 粒子 (赤と青の矢印) がシリコンセンサーを通過する際、各チャンネルに対し閾値以上の損失エネルギーの読み出しにオフセットが関与している。つまり、赤の μ 粒子に関与するオフセットは 1 つ、青の μ 粒子に関与するオフセットは 2 つである。

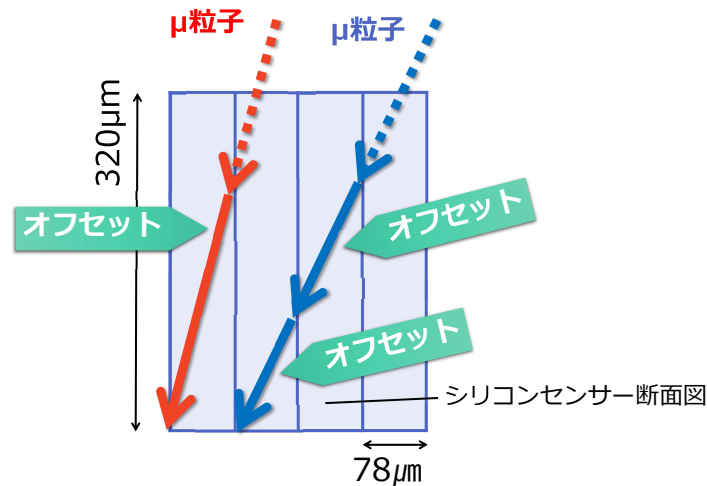


図 6.3 ヒットに関与するオフセットの模式図

6.3.1 シミュレーションによるオフセットの検討

上で述べたように、オフセットが 1 チップの読み出しに対し 1 つ存在するようなシミュレーションプログラムを作成し、測定結果と比較することでオフセットの存在の妥当性について議論した。オフセットが関与するのは読み出し回路中でエネルギーの単位が eV から電圧 mV に変換される所なので、このエネルギー損失の変換過程を詳しく測定した。シミュレーションプログラムの内容については付録 B で述べる。

読み出し回路中での損失エネルギーの変換

読み出し回路中での損失エネルギーの変換を、宇宙線 μ 粒子がシリコンセンサーで損失したトータルエネルギーを電圧表示したものであらわす。

- 1 ゲイン (増幅係数) を用い、電荷 [C] を電圧 [mV] に変換する。
- 2 電圧値 [mV] にオフセット [mV] を足す。
- 3 損失エネルギーを ADC で 8 つのビンに分ける。

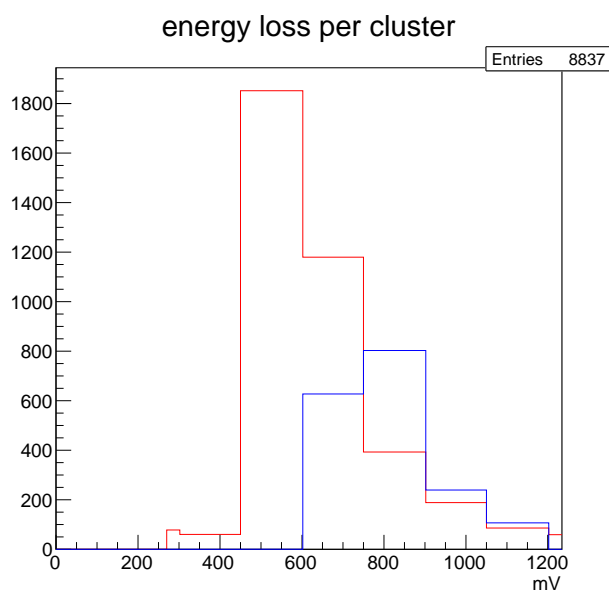


図 6.4 シミュレーションで生成した宇宙線イベントのクラスター化後のエネルギー損失分布 (電圧表示)

図 6.4 はシミュレーションで生成した宇宙線イベントのクラスター化後のエネルギー損失分布であり、赤が 1 ヒット、青が 2 ヒットのエネルギー損失を表す。この分布を測定した際のゲイン値は 88、オフセットは 198mV である。これより、シミュレーションで生成した宇宙線においてシリコン内での損失エネルギーは 1 ヒットでは 450~600 mV、2 ヒットでは 750~900mV にピークがあることがわかる。これは実験データを解析して測定したエネルギー損失の分布がしめす結果に等しい。従って、本シミュレーションにより、宇宙線測定を正しく再現できていることがわかり、シミュレーションイベントにおいてもヒット数により損失エネルギーが異なることがわかる。一番左の分布はゲイン値が関与し、エネルギー損失が電圧表示されたものである。ここで変換された値はゲイン値により異なる。本シミュレーションのゲイン値は、90mV/fC である。この分布から分かるように、ゲイン値による増幅後での 1 ヒットと 2 ヒットのエネルギー損失のピークはほぼ同じである。左から 2 番目は、電圧表示された値にオフセットが関与した後の分布である。この段階で、ヒット数ごとのエネルギー損失ピークに差が生じる。これは FPHX チッ

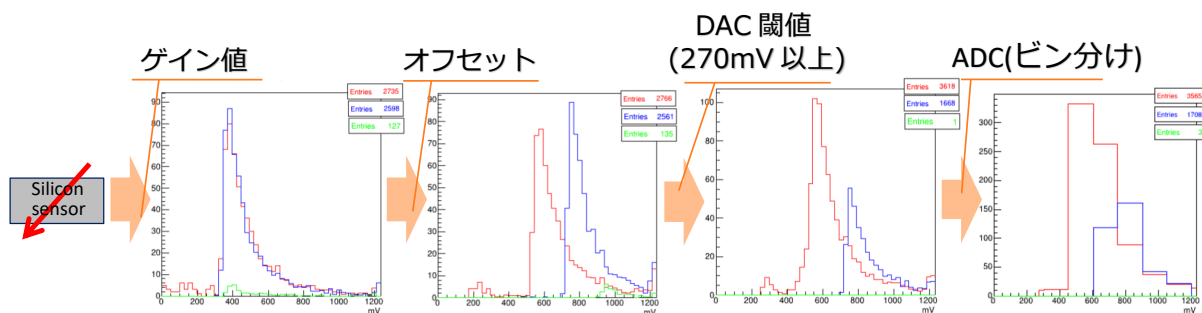


図 6.5 読み出し回路中での損失エネルギーの変換の流れ、宇宙線 μ 粒子がシリコンセンサーで損失した全エネルギーの電圧表示、横軸：電圧 [mV]

プのチャンネルごとにオフセットが存在することにより、全損失エネルギー内にクラスターにまとめられたヒットのチャンネル数分のオフセットが足されているためである。従って、2 ヒットによるクラスターの場合、全エネルギー損失に 2 チャンネル分のオフセットが含まれている。左から 3 番目は、オフセットが足された値を DAC 閾値判定した後の分布である。DAC 閾値設より閾値以下のエネルギー損失が読み出されないので 1 ヒットと 2 ヒットのエントリー数割合が変化する。これは、2 ヒットと判断されていたイベントのうち片方のストリップの読み出しエネルギーが閾値以下だった場合、1 ヒットと判断されるからである。この後 ADC でエネルギーがビン分けされることにより、宇宙線測定で得られた ADC 分布をシミュレーションでも測定することができる。

ここでオフセットが関与する前後のヒストグラムを比較する。はじめは 1 ヒットと 2 ヒットの損失エネルギーのピークは同じところに位置しているが、オフセットが足されることにより 1 ヒットと 2 ヒットの損失エネルギー 1 チップの読み出しに対し 1 つのオフセットが関与することで宇宙線測定の結果を再現できた。従って、オフセットの関与が予想エネルギー損失と測定結果の違いと 1 ヒットと 2 ヒットのエネルギー損失ピーク位置の違いを生み出していることがわかった。

6.3.2 キャリブレーションテストによるオフセットの検討

キャリブレーションテストでもオフセットの存在を確認することができる。取得データの解析の結果、GSeI 入力値に関係なくオフセットの値は約 198mV であることがわかった。詳しくは森田 [7] を参照されたい。

6.3.3 宇宙線測定によるオフセットの検討

宇宙線測定においてオフセットの存在を確認するために、より厳しい条件でイベント選定を行い損失エネルギー測定した。第 6 章で述べた問題点である 1 ヒットと 2 ヒットのエネルギー損失ピーク位置の違い

がオフセットによるものであることを確かめるためには、ヒット数以外の条件が等しいイベント同士を比較して議論する必要がある。そのため、同じ宇宙線(同じ運動量、入射角)で2つのシリコンセンサーに異なるヒット数を読み出しがあるイベントを選定した。図 6.6 は同一宇宙線が2つのシリコンセンサーで異なるヒット数の損失エネルギーを記録するイベントのイメージ図である。

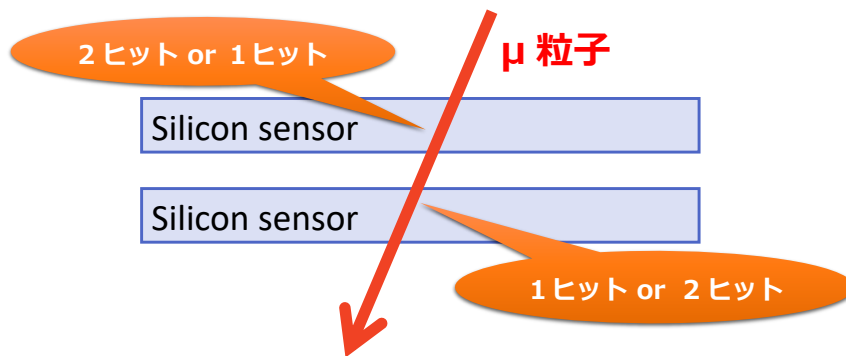


図 6.6 同一宇宙線が2つのシリコンセンサーで異なるヒット数の損失エネルギーを記録するイベントのイメージ図

同一宇宙線イベント選定条件

ここでのイベント選定は、第5章で述べたノイズ除去と宇宙線イベント選定を行った後に行う。追加イベント選定条件は次の2つである。

1. 1 CLK あたりに2つのシリコンセンサーでヒットがあるイベント
2. 1 CLK あたりに2つのシリコンセンサーで異なるヒット数の損失エネルギーを記録するイベント

同一宇宙線イベント選定結果

図 6.7 は同一宇宙線が2つのシリコンセンサーで異なるヒット数を記録するイベントの損失エネルギー相関分布で、横軸と縦軸がそれぞれ1ヒットと2ヒットのエネルギー損失、色がヒット数を表す。この図より、同一宇宙線で2つのシリコンセンサーに異なるヒット数を記録したイベントのそれぞれのエネルギー損失において、1ヒットでは450~600mV、2ヒットでは750~900mVという組み合わせが最も多いことがわかる。図 6.8 は同一宇宙線選定後の、同一宇宙線で2つのシリコンセンサーに異なるヒット数を記録したイベントのそれぞれのエネルギー損失は1ヒットでは450~600mV、2ヒットでは750~900mVという組み合わせのイベントが最も多いことがわかる。従って、入射粒子の運動量や入射角度は同じであっても読み出された際のヒット数のみによって測定されるエネルギー損失が異なるということがわかった。

この結果はシミュレーションでオフセットの関与を踏まえた際の損失エネルギーの測定結果に等しい。

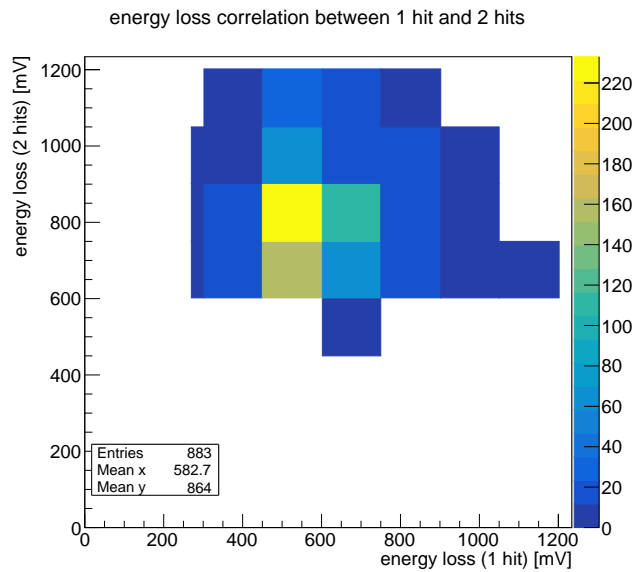


図 6.7 同一宇宙線が2つのシリコンセンサーで異なるヒット数を記録するイベントの損失エネルギー相関分布, 横軸：1ヒットのエネルギー損失, 縦軸：2ヒットのエネルギー損失

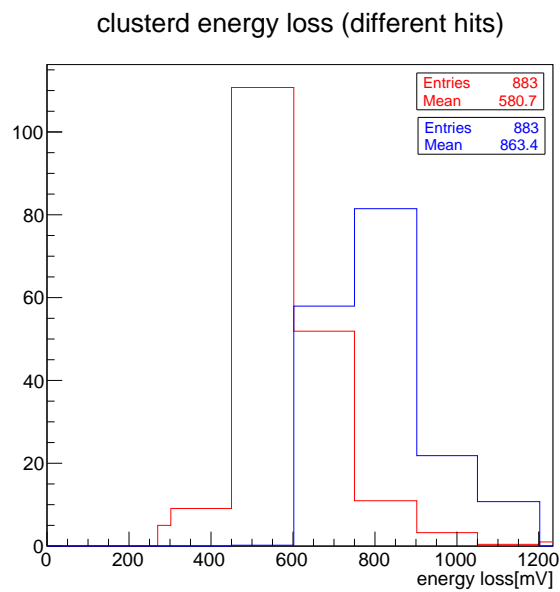


図 6.8 同一宇宙線が2つのシリコンセンサーで異なるヒット数を記録するイベントの損失エネルギー分布, 赤：1ヒットのエネルギー損失, 青：2ヒットのエネルギー損失

すなわち、オフセットの存在は妥当であるといえる。

6.3.4 適切なオフセットの決定

宇宙線測定、シミュレーション、キャリブレーションテストにおいて、オフセットの存在が尤もらしいと考えた。よって、シミュレーションとキャリブレーションテストの結果を用いると尤もらしいオフセットは 198mV と考えられる。今回の測定での GSel 入力値に対応するゲイン値 100eV/fC とオフセット 198mV を用いると、1 GeV の宇宙線がシリコン 320 μ m を通過した際の予想損失エネルギーは約 568mV となる。

6.4 問題の改善

宇宙線測定、キャリブレーションテスト、シミュレーションの結果より、尤もらしいゲイン値とオフセットの存在が明らかになった。今回の測定から推測すると、ゲイン値はおおよそ 85、オフセットはおおよそ 198mV であると考えられる。これらの値を利用したシミュレーション結果は図 6.9 の通りである。上段が宇宙線測定、下段がシミュレーションの結果を表している。Cosmic1 と simulation1 はヒット数ごとに色分けしたクラスター化前のエネルギー損失分布を電圧表示したもの、Cosmic2 と simulation2 はヒット数ごとに色分けしたクラスター化後のエネルギー損失分布を電圧表示したもの、Cosmic3 と simulation3 は 2 ヒットを構成する 2 つのエネルギー損失がもつ ADC 値の相関分布である。これらの比較から、エネルギー損失ピークのシミュレーションと宇宙線測定の結果が一致していること、2 ヒットを構成する ADC 値の相関分布が似ていることから、シミュレーションに用いたゲイン値とオフセットは妥当であるといえる。

表 6.2 尤もらしいゲイン値とオフセット

GSel(入力値)	ゲイン値	オフセット
2	85 eV/fC	198mV

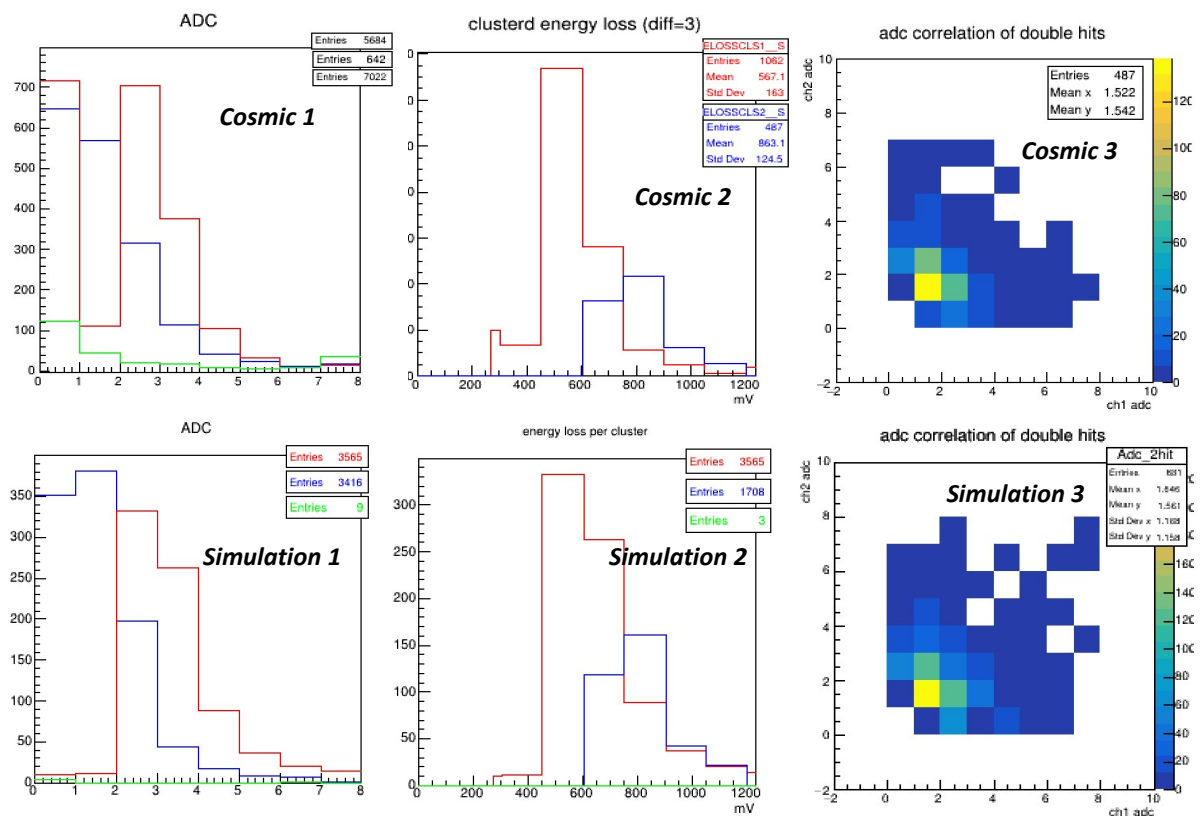


図 6.9 宇宙線測定とシミュレーションの比較 (上段) 宇宙線測定, (下段) シミュレーション cosmic 1, simulation1: ヒット数ごとに色分けしたクラスター化前のエネルギー損失分布 (電圧表示), cosmic2, simulation2: ヒット数ごとに色分けしたクラスター化後のエネルギー損失分布 (電圧表示), cosmic3, simulation3: 2 ヒットを構成する 2 つのエネルギー損失がもつ ADC 値の相関分布

第7章

結論

今回、奈良女子大学における INTT のテストベンチを利用し、キャリブレーションテストと宇宙線測定によりデータ読み出しシステムの動作確認やデータ解析による評価を行った。測定においては2つのシリコンセンサーの同時使用に成功し、多くのデータを測定した。データ解析においては、宇宙線ヒットのクラスター化解析プログラムとそのシミュレーションプログラムを作成した。これまで MIP ピークの測定値と期待値がずれる問題があったが、これらの利用により①今まで利用していた予想エネルギー損失の計算式に用いる入力値とゲイン設定値の対応関係に誤りがあること、②チップから読み出されたデータにオフセットがあることが原因であるとわかった。これら2点に対して、宇宙線測定、シミュレーション、キャリブレーションテストの3つの方法で原因の妥当性と尤もらしい値の検討を行った。その結果、入力値2に対応するゲイン値は 85eV/fC (対応表においては約 100eV/fC)、オフセットは 198mV がもっともらしい値であることがわかった。

さらに今回の研究を行い、データの読み出しシステム、解析までの動作の一連の流れと、DAQ、ハードウェアの理解、シリコンセンサーの特質とエネルギー損失の関係、MC を用いたシミュレーションプログラムについての知見を広げることができた。その原因の一つとして、宇宙線測定とそのシミュレーションを並行して実施したことがあげられる。宇宙線測定においては、より効率的で安定した測定環境にセットアップを改善し、様々な条件で何度も変更し測定した。その得られたデータにより、様々な条件にも対応して解析できるプログラムを作成することができた。シミュレーションプログラムにおいても、宇宙線測定の様々な条件に対応したシミュレーションを行うために普遍的なものを作成することができた。このプログラムでは、MC による宇宙線の生成やエネルギー損失の計算式の入力にいたるまで全ての工程を自作で製作した。これにより、行った宇宙線測定のセットアップに自由に近づけられることだけでなく、宇宙線測定全体の深い理解につなげることができた。

謝辞

本研究を行うにあたり、お世話になりました方々に紙面を借りてお礼申し上げます。

はじめに、このような素晴らしい実験に携わり勉強する機会を与えて下さった、高エネルギー物理学研究室の林井先生、宮林先生、下村先生、蜂谷先生に感謝いたします。直接ご指導いただきました蜂谷先生には、研究に関する知識だけでなく、物理という学問を学ぶ楽しさを教えていただきました。また、研究に対する姿勢や考え方についても、アドバイスしてくださいました。様々なことに興味を持ち挑戦する姿勢は、大学院に進学後の学生生活においても大切にしていきたいと思っています。また、INTTグループの中川さん、秋葉さんをはじめ、学生ミーティングにおいて、私たちの実験報告や疑問に対し長時間熱心に聞きアドバイスして下さったおかげで、モチベーションを保ち研究に励むことができました。鈴木先輩には、テストベンチの操作方法やよく発生するハプニングなど日々の実験に欠かせない多くの知識を教えてくださいました。私たちの知識不足な質問や疑問に、優しく的確に教えて下さいました。一緒に研究に取り組んだ4年生の森田さんには、1人では気づくことのできない多くのアドバイスもらい実験を進めるモチベーションを高めあうことができました。

私はこの1年、INTTグループに参加させていただき、テストベンチによる宇宙線測定や国内外での解析ワークショップ、英語での電話ミーティングなど学部生では経験できないような貴重な経験をさせていただきました。ハードウェアやプログラミングに対する知識が全くなく苦しんだ時もありましたが、多くの方の支えやアドバイスのおかげで少しずつ知識を増やし、自らの手で研究を成し遂げることができました。私がこの1年で教わり、身に着けたことは、これからの学生生活だけでなく社会に出てからも大切にしなければならないことで、心から感謝しております。

参考文献

- [1] PDG 2018 Passage of Particles Through Matter.
- [2] PDG 2019 Passage of Particles Through Matter.
- [3] PDG 2019 AtomicNuclearProperties.
- [4] TDR 2019 sPHENIX Technical Design Report.
- [5] SPHENIX (2019, August 31) sPHENIX Retrieved 04:29, April 7, 2020 from <https://wiki.bnl.gov/sPHENIX/index.php?title=SPHENIX&oldid=5968>.
- [6] 鈴木彩香 2020 「RHIC-sPHENIX 実験における中間飛跡検出器 INTT 用シリコンセンサーの性能評価, ビームテスト実験のデータ解析」, 修士論文, 奈良女子大学.
- [7] 森田美羽 2020 「RHIC-sPHENIX 実験におけるバスエクステンダーの性能評価」, 卒業論文, 奈良女子大学.
- [8] 一色萌衣 呉羽広子 杉野和音 2019 「RHIC-sPHENIX 実験における INTT シリコンモジュールの性能評価とテストベンチ構築」, 卒業論文, 奈良女子大学.
- [9] 益田英知 2017 「RHIC-sPHENIX 実験におけるシリコンストリップ検出器の開発」, 修士論文, 立教大学大学院.
- [10] 長島徹 2015 「RHIC-sPHENIX 実験 Run15 における FVTX 検出器を用いた高多重度トリガーシステムの開発と陽子+陽子衝突系における方位角異方性の検証」, 修士論文, 立教大学大学院.
- [11] 秋葉康之 2014 『クォーク・グルーオン・プラズマの物理実験室で再現する宇宙の始まり』, 共立出版.
- [12] 岸野正剛 2007 『現代 半導体デバイスの基礎』, オーム社.

付録 A

宇宙線解析プログラム

本解析は CERN によって開発が行われている「ROOT (ルート)」を用いて行った。

A.1 宇宙線解析プログラムの実行方法

readtree.c, readtree.h, run_readtree.C, plot_readtree2.C の 4 つのファイルと宇宙線データの root ファイルを所定の箇所にいれ行う。

まずプログラムと root データファイルを取り出せるディレクトリで解析したい root ファイルと指定し、ROOT を立ち上げる。ROOT の中で readtree.c を読み込んだあと、run_readtree.C を実行することで解析が行われ測定したヒストグラムの root ファイルが作成される。ファイル作成後、plot_readtree2.C を実行することで、ヒストグラムの確認することができる。

A.2 宇宙線解析のコード

Listing A.1 readtree.c

```
1 //+++++
2 // Analysis program for INTT silicon sensor
3 // This is one of the files to get clustered hits hisotgram.
4 // You can draw dac amplitude(mV) histograms, and N hits per event hisrogram on a Canvas.
5 //
6 // Before drawing, you have to get four files, "readtree.c", "run_readtree.C", "plot_readtree2.C", "readtree.h".
7 // Please change root file name on "run_readtree.C" and "plot_readtree2.C".
8 // To draw histograms, you can write
9 // $ root -l rootfilename
10 // ROOT> .L readtree.c;
11 // ROOT> .x run_readtree.C; get "histofilename.root" file
12 // ROOT> .x plot_readtree2.C; get histograms
13 //+++++
14
15 #define readtree_cxx
16 #include "readtree.h"
17 #include <TH2.h>
18 #include <TStyle.h>
19 #include <TCanvas.h>
20 #include <algorithm>
21 #include <TH1.h>
22
23
24 double mV_adc2(double SmV){
25     float mV[9] = {270, 300, 450, 602, 750, 902, 1050, 1202, 1234};
26     int Adc;
```

```

27   for(int ii=0;ii<8;ii++){
28       if( mV[ii]<=SmV && SmV<mV[ii+1]){
29           Adc=ii;
30       }
31   }
32   return Adc; /* Adc;
33 }
34 double weight(int hitAdc){
35     float Dac[9] = {15, 23, 60, 98, 135, 173, 210, 248, 256};
36     float weight[8];
37     float tmpw = Dac[1]-Dac[0];
38     for(int i=0; i<8; i++){
39         weight[i] = (Dac[i+1]-Dac[i])/tmpw;
40     }
41     float w = 1./weight[hitAdc];
42     return w;
43 }
44 double mV_weight(int hitAdc){
45     float mV[9] = {270, 302, 450, 602, 750, 902, 1050, 1202, 1234};
46     float weight[8];
47     float tmpw = mV[1]-mV[0];
48     for(int i=0; i<8; i++){
49         weight[i] = (mV[i+1]-mV[i])/tmpw;
50     }
51     float w = 1./weight[hitAdc];
52     return w;
53 }
54 double mV_weight2(int hitmV){
55     float mV[9] = {270, 302, 450, 602, 750, 902, 1050, 1202, 1234};
56     float weight[8];
57     float w;
58     float tmpw = mV[1]-mV[0];
59     for(int i=0; i<8; i++){
60         weight[i] = (mV[i+1]-mV[i])/tmpw;
61     }
62     for(int i=0;i<8;i++){
63         if(hitmV>=mV[i]&&hitmV<mV[i+1]){
64             int tmp = i;
65             w = 1./weight[i];
66         }
67     }
68     return w;
69 }
70 double adc_mV(int hitAdc){
71     double Dac[9] = {15., 23., 60., 98., 135., 173., 210., 248., 256.};
72     double mV = ((Dac[hitAdc+1]*4.+210.)+(Dac[hitAdc]*4.+210.))/2.-2.;
73     return mV;
74 }
75 void readtree::process_hits(int nhit, int* chipArray, int* chanArray, int* adcArray, int* eventArray, int* bcoArray, int* bco_fullArray,
76     double* summV_Ret, int* Nhits_Ret, int* chan_Ret, int* chip_Ret, int nclsnChip_Ret, int(*adc_Ret)[10]){
77     int hitChip[27][800];
78     int hitChan[27][800];
79     int hitAdc [27][800];
80     int hitEvent[27][800];
81     int hitBco[27][800];
82     int hitBco_full[27][800];
83     int nchip=0;
84     int nHitChip[27];
85     for(int i=0;i<27;i++){
86         nHitChip[i] = 0;
87     }
88     int tmp1, tmp2, tmp3, tmp4, tmp5, tmp6;
89     for(int ihit=0; ihit<nhit; ihit++){
90         int ichip = chipArray[ihit];
91         int ii = nHitChip[ichip];
92         nHitChip[ichip]++;
93         hitChip[ichip][ii] = chipArray[ihit];
94         hitChan[ichip][ii] = chanArray[ihit];
95         hitAdc [ichip][ii] = adcArray[ihit];
96         hitEvent[ichip][ii] = eventArray[ihit];
97         hitBco[ichip][ii] = bcoArray[ihit];
98         hitBco_full[ichip][ii] = bco_fullArray[ihit];
99     }
100     double nhit_1[9], nhit_2[9], nhit_3[9];
101     for(int ii=0; ii<9;ii++){
102         nhit_1[ii]=0.;
103         nhit_2[ii]=0.;
104         nhit_3[ii]=0.;
105     }
106     double nhit_adc1[9], nhit_adc2[9], nhit_adc3[9];
107     for(int ii=0; ii<9;ii++){
108         nhit_adc1[ii]=0.;
109         nhit_adc2[ii]=0.;
110         nhit_adc3[ii]=0.;
111     }
112     // sort channel order
113     for(int ichip=0; ichip<27; ichip++){
114         if(nHitChip[ichip]>0){
115             for(int ihit=0; ihit<nHitChip[ichip]; ihit++){
116                 for(int jhit=ihit+1;jhit<nHitChip[ichip];jhit++){
117                     if(hitChan[ichip][ihit]>hitChan[ichip][jhit]){
118                         tmp1 = hitChan[ichip][ihit];
119                         tmp2 = hitChan[ichip][jhit];
120                         tmp3 = hitAdc[ichip][ihit];

```



```

120         tmp4 = hitEvent[ichip][ihit];
121         tmp5 = hitBco[ichip][ihit];
122         tmp6 = hitBco_full[ichip][ihit];
123         hitChan[ichip][ihit] = hitChan[ichip][jhit];
124         hitChip[ichip][ihit] = hitChip[ichip][jhit];
125         hitAdc[ichip][ihit] = hitAdc[ichip][jhit];
126         hitEvent[ichip][ihit] = hitEvent[ichip][jhit];
127         hitBco[ichip][ihit] = hitBco[ichip][jhit];
128         hitBco_full[ichip][ihit] = hitBco_full[ichip][jhit];
129         hitChan[ichip][jhit] = tmp1;
130         hitChip[ichip][jhit] = tmp2;
131         hitAdc[ichip][jhit] = tmp3;
132         hitEvent[ichip][jhit] = tmp4;
133         hitBco[ichip][jhit] = tmp5;
134         hitBco_full[ichip][jhit] = tmp6;
135     }
136 }
137 }
138 }
139 }
140 for(int ichip=0; ichip<27; ichip++){
141     if(nHitChip[ichip]>1){
142         int tmpchip[5]={-1,-1,-1,-1,-1};
143         int tmpchan[5]={-1,-1,-1,-1,-1};
144         int noise =1;
145         int tmptmp=0;
146         for(int ihit=0; ihit<nHitChip[ichip]; ihit++){
147             if(hitChip[ichip][ihit]==hitChip[ichip][ihit+1]&&hitChan[ichip][ihit+1]==hitChan[ichip][ihit]){
148                 noise++;
149                 if(tmpchan[tmptmp]!=hitChan[ichip][ihit]&&tmpchip[tmptmp]!=hitChip[ichip][ihit]){
150                     tmptmp++;
151                 }
152                 tmpchan[tmptmp]=hitChan[ichip][ihit];
153                 tmpchip[tmptmp]=hitChip[ichip][ihit];
154             }
155         }
156         for(int ttt=0;ttt<tmptmp+1;ttt++){
157             for(int ihit=0; ihit<nHitChip[ichip]+1; ihit++){
158                 if(hitChip[ichip][ihit]==tmpchip[ttt]&&hitChan[ichip][ihit]==tmpchan[ttt]){
159                     }
160             }
161         }
162     }
163 }
164 //+++++check strip number+++++
165 int nhitmap=0;
166 double summV;
167 int sumChan;
168 int ncls = 0;
169 for(int ichip=0; ichip<27; ichip++){
170     if(nHitChip[ichip]>0){
171         int start = 0;
172         int Nhits =1;
173         int end;
174         for(int ihit=0; ihit<nHitChip[ichip]; ihit++){
175             if(Nhits==nHitChip[ichip]){
176                 end = ihit;
177                 summV=0;
178                 sumChan =0;
179                 for(int i=start; i<end+1; i++){
180                     summV += adc_mV(hitAdc[ichip][i]);
181                     sumChan += hitChan[ichip][i];
182                 }
183                 if(Nhits==1){
184                     for(int ii=0; ii<8;ii++){
185                         if(mV_adc2(summV)==ii)nhit_1[ii]++;
186                     }
187                 }
188                 else if(Nhits==2){
189                     for(int ii=0; ii<8;ii++){
190                         if(mV_adc2(summV)==ii)nhit_2[ii]++;
191                     }
192                 }
193                 else if(Nhits==3){
194                     for(int ii=0; ii<8;ii++){
195                         if(mV_adc2(summV)==ii)nhit_3[ii]++;
196                     }
197                 }
198                 start = end+1;
199                 ncls++;
200                 Nhits = 1;
201             }
202             else if(hitChan[ichip][ihit+1]-hitChan[ichip][ihit]==1){
203                 Nhits++;
204             }
205             else{
206                 end = ihit;
207                 summV=0;
208                 sumChan =0;
209                 for(int i=start; i<end+1; i++){
210                     summV += adc_mV(hitAdc[ichip][i]);
211                     sumChan += hitChan[ichip][i];
212                 }
213                 if(Nhits==1){

```

```

214         for(int ii=0; ii<8;ii++){
215             if(mV_adc2(summV)==ii)nhit_1[ii]++;
216         }
217     }
218     else if(Nhits==2){
219         for(int ii=0; ii<8;ii++){
220             if(mV_adc2(summV)==ii)nhit_2[ii]++;
221         }
222     }
223     else if(Nhits==3){
224         for(int ii=0; ii<8;ii++){
225             if(mV_adc2(summV)==ii)nhit_3[ii]++;
226         }
227     }
228     start = end+1;
229     ncls++;
230     Nhits = 1;
231 }
232 }
233 }
234 }
235 //+++++++
236 if(ncls>0){
237     for(int ichip=0; ichip<27; ichip++){
238         if(nHitChip[ichip]>0){
239             for(int ihit=0; ihit<nHitChip[ichip]; ihit++){
240                 multichip->Fill(hitChan[ichip][ihit],hitChip[ichip][ihit]);
241             }
242         }
243     }
244 }
245 //+++++++Fill per strip number+++++++
246 if(ncls>0){ //cluster number for analysis
247     nhitmap=0;
248     int Ncls = 0; //number of strips (same as ncls)
249     for(int ichip=0; ichip<27; ichip++){
250         int NHITCHIP=0; //number of single hits per chip per event
251         int single_ihit[20];
252         int single_0_ihit[20];
253         if(nHitChip[ichip]>0){
254             int start = 0;
255             int Nhits =1;
256             int end;
257             for(int ihit=0; ihit<nHitChip[ichip]; ihit++){
258                 if(Nhits==nHitChip[ichip]){
259                     end = ihit;
260                     summV=0;
261                     sumChan =0;
262                     for(int i=start; i<end+1; i++){
263                         summV += adc_mV(hitAdc[ichip][i]); //clustered hit's energy
264                         sumChan += hitChan[ichip][i]; //clustered hit's sum channel number
265                     }
266                     summV_Ret[Ncls] = summV;
267                     Nhits_Ret[Ncls] = Nhits;
268                     chip_Ret[Ncls] = hitChip[ichip][ihit]; //RET clustered hit's channel number
269                     chan_Ret[Ncls] = sumChan/Nhits; //RET clustered hit's avarage channel number
270                     hnhits->Fill(Nhits);
271 //+++++++ Fill single hit ++++++++
272                     if(Nhits==1){
273                         adc_Ret[Ncls][0] = hitAdc[ichip][start];
274                         single_ihit[NHITCHIP]=start;
275                         NHITCHIP++;
276                         if(hitAdc[ichip][start]!=-1){ //ADC value for analysis
277                             SinglehitAdc2->Fill(summV,mV_weight2(summV));
278                             SingleAdc->Fill(adc_mV(hitAdc[ichip][start]), mV_weight2(adc_mV(hitAdc[ichip][start])));
279                             if(adc_mV(hitAdc[ichip][start])>5000.&&adc_mV(hitAdc[ichip][start])<0.)cout<<"Single_mV"<<adc_mV(hitAdc[ichip][start])<<endl;
280                             for(int ii=0; ii<8;ii++){
281                                 if(mV_adc2(summV)==ii)nhit_1[ii]++;
282                             }
283                         }
284                     }
285                     else if(hitAdc[ichip][start]==0)single_0_ihit[NHITCHIP]=start;
286 //+++++++ Fill double hits ++++++++
287                     else if(Nhits==2){
288                         adc_Ret[Ncls][0] = hitAdc[ichip][start];
289                         adc_Ret[Ncls][1] = hitAdc[ichip][start+1];
290                         SumDoublehitAdc2->Fill(summV,mV_weight2(summV));
291                         DAdc->Fill(adc_mV(hitAdc[ichip][start]),mV_weight2(adc_mV(hitAdc[ichip][start])));
292                         DAdc->Fill(adc_mV(hitAdc[ichip][start+1]), mV_weight2(adc_mV(hitAdc[ichip][start+1])));
293                         if(adc_mV(hitAdc[ichip][start])>5000.&&adc_mV(hitAdc[ichip][start])<0.) cout<<"D2_mV"<<adc_mV(hitAdc[ichip][start])<<endl;
294                         if(adc_mV(hitAdc[ichip][start+1])>5000.&&adc_mV(hitAdc[ichip][start+1])<0.)cout<<"D2_mV"<<adc_mV(hitAdc[ichip][start+1])<<endl;
295                         Adc_2hit->Fill(hitAdc[ichip][start],hitAdc[ichip][start+1]);
296                         chan_2hit->Fill(hitChan[ichip][start],hitChan[ichip][start+1]);
297                         if(hitAdc[ichip][start]==0&&hitAdc[ichip][start+1]==0){
298                             }
299                         for(int ii=0; ii<8;ii++){
300                             if(mV_adc2(summV)==ii)nhit_2[ii]++;
301                         }
302                     }
303                 }
304 //+++++++ Fill triple hits ++++++++

```

```

305     else if(Nhits==3){
306         SumTriplehitAdc2->Fill(summV,mV_weight2(summV));
307         TAdc->Fill(adc_mV(hitAdc[ichip][start]), mV_weight2(adc_mV(hitAdc[ichip][start])));
308         TAdc->Fill(adc_mV(hitAdc[ichip][start+1]), mV_weight2(adc_mV(hitAdc[ichip][start+1])));
309         TAdc->Fill(adc_mV(hitAdc[ichip][start+2]), mV_weight2(adc_mV(hitAdc[ichip][start+2])));
310         if(adc_mV(hitAdc[ichip][start])>5000.&&adc_mV(hitAdc[ichip][start])<0.)cout<<"T1mV"<<adc_mV(hitAdc[ichip][start])
311             <<endl;
312         if(adc_mV(hitAdc[ichip][start+1])>5000.&&adc_mV(hitAdc[ichip][start+1])<0.)cout<<"T2mV"<<adc_mV(hitAdc[ichip][
313             start+1])<<endl;
314         if(adc_mV(hitAdc[ichip][start+2])>5000.&&adc_mV(hitAdc[ichip][start+2])<0.)cout<<"T2mV"<<adc_mV(hitAdc[ichip][
315             start+1])<<endl;
316         for(int ii=0; ii<8;ii++){
317             if(mV_adc2(summV)==ii)nhit_3[ii]++;
318         }
319         start = end+1;
320         Ncls++;
321         Nhits = 1;
322     }
323     else if(hitChan[ichip][ihit+1]-hitChan[ichip][ihit]==1){
324         Nhits++;
325     }
326     else{
327         end = ihit;
328         summV=0;
329         sumChan =0;
330         for(int i=start; i<end+1; i++){
331             summV += adc_mV(hitAdc[ichip][i]);
332             sumChan += hitChan[ichip][i];
333         }
334         summV_Ret[Ncls] = summV;
335         Nhits_Ret[Ncls] = Nhits;
336         chip_Ret[Ncls] = hitChip[ichip][ihit];
337         chan_Ret[Ncls] = sumChan/Nhits;
338         nhhits->Fill(Nhits);
339     //+++++++ Fill single hit ++++++++
340     if(Nhits==1){
341         adc_Ret[Ncls][0] = hitAdc[ichip][start];
342         single_ihit[NHITCHIP]=start;
343         NHITCHIP++;
344         if(hitAdc[ichip][start]!=-1){
345             SinglehitAdc2->Fill(summV,mV_weight2(summV));
346             SingleAdc->Fill(adc_mV(hitAdc[ichip][start]), mV_weight2(adc_mV(hitAdc[ichip][start])));
347             if(adc_mV(hitAdc[ichip][start])>5000.&&adc_mV(hitAdc[ichip][start])<0.)cout<<"sing1emV"<<adc_mV(hitAdc[ichip][start]
348                 )<<endl;
349             for(int ii=0; ii<8;ii++){
350                 if(mV_adc2(summV)==ii)nhit_1[ii]++;
351             }
352         }
353         else if(hitAdc[ichip][start]==0)single_0_ihit[NHITCHIP]=start;
354     }
355     //+++++++ Fill double hits ++++++++
356     else if(Nhits==2){
357         adc_Ret[Ncls][0] = hitAdc[ichip][start];
358         adc_Ret[Ncls][1] = hitAdc[ichip][start+1];
359         SumDoublehitAdc2->Fill(summV,mV_weight2(summV));
360         DAdc->Fill(adc_mV(hitAdc[ichip][start]), mV_weight2(adc_mV(hitAdc[ichip][start])));
361         DAdc->Fill(adc_mV(hitAdc[ichip][start+1]), mV_weight2(adc_mV(hitAdc[ichip][start+1])));
362         if(adc_mV(hitAdc[ichip][start])>5000.&&adc_mV(hitAdc[ichip][start])<0.)cout<<"D1mV"<<adc_mV(hitAdc[ichip][start])
363             <<endl;
364         if(adc_mV(hitAdc[ichip][start+1])>5000.&&adc_mV(hitAdc[ichip][start+1])<0.)cout<<"D2mV"<<adc_mV(hitAdc[ichip][
365             start+1])<<endl;
366         Adc_2hit->Fill(hitAdc[ichip][start],hitAdc[ichip][start+1]);
367         chan_2hit->Fill(hitChan[ichip][start],hitChan[ichip][start+1]);
368         for(int ii=0; ii<8;ii++){
369             if(mV_adc2(summV)==ii)nhit_2[ii]++;
370         }
371     }
372     //+++++++ Fill triple hits ++++++++
373     else if(Nhits==3){
374         SumTriplehitAdc2->Fill(summV,mV_weight2(summV));
375         TAdc->Fill(adc_mV(hitAdc[ichip][start]), mV_weight2(adc_mV(hitAdc[ichip][start])));
376         TAdc->Fill(adc_mV(hitAdc[ichip][start+1]), mV_weight2(adc_mV(hitAdc[ichip][start+1])));
377         TAdc->Fill(adc_mV(hitAdc[ichip][start+2]), mV_weight2(adc_mV(hitAdc[ichip][start+2])));
378         if(adc_mV(hitAdc[ichip][start])>5000.&&adc_mV(hitAdc[ichip][start])<0.)cout<<"T1mV"<<adc_mV(hitAdc[ichip][start])
379             <<endl;
380         if(adc_mV(hitAdc[ichip][start+1])>5000.&&adc_mV(hitAdc[ichip][start+1])<0.)cout<<"T2mV"<<adc_mV(hitAdc[ichip][
381             start+1])<<endl;
382         if(adc_mV(hitAdc[ichip][start+2])>5000.&&adc_mV(hitAdc[ichip][start+2])<0.)cout<<"T2mV"<<adc_mV(hitAdc[ichip][
383             start+1])<<endl;
384         for(int ii=0; ii<8;ii++){
385             if(mV_adc2(summV)==ii)nhit_3[ii]++;
386         }
387         start = end+1;
388         Ncls++;
389         Nhits = 1;
390     }
391 }
392 }
393 //+++++++single and adc=0 hit+++++++
394 if(NHITCHIP>0){
395     for(int j=0;j<NHITCHIP;j++){
396         if(hitAdc[ichip][single_0_ihit[j]]==0){
397             adc_0hit->Fill(hitChan[ichip][single_0_ihit[j]],hitChip[ichip][single_0_ihit[j]]);

```

```

391     }
392   }
393 }
394
395 //+++++separate single hits+++++
396 if(NHITCHIP==2){
397   for(int j=0;j<NHITCHIP;j++){
398     NHITChipmV->Fill(adc_mV(hitAdc[ichip][single_ihit[j]]),mV_weight2(adc_mV(hitAdc[ichip][single_ihit[j]])));
399   }
400   NHITChip->Fill(hitAdc[ichip][single_ihit[0]],hitAdc[ichip][single_ihit[1]]);
401   chan_1hit->Fill(hitChan[ichip][single_ihit[0]],hitChan[ichip][single_ihit[1]]);
402   chan_1hit2->Fill(hitChan[ichip][single_ihit[1]]-hitChan[ichip][single_ihit[0]],hitChip[ichip][single_ihit[0]]);
403 }
404 }
405   nclsnChip->Fill(Ncls);
406   nclsnChip_Ret = Ncls;
407 }
408 };
409 void readtree::Loop(const int entry)
410 {
411   if (fChain == 0) return;
412   Long64_t nentries = fChain->GetEntriesFast();
413   if(entry>=0) m_jentry=entry;
414   Long64_t nbytes = 0, nb = 0;
415   int nhit=0;
416   int prenhit=0;
417   int noise=0;
418   int m_nbco[50000];
419   int m_nbco_full[50000];
420   int m_chanArray[50000];
421   int m_chipArray[50000];
422   int m_adcArray[50000];
423   int m_eventArray[50000];
424   int m_bcoArray[50000];
425   int m_bco_fullArray[50000];
426   int m_prenbco_full[50000];
427   int m_prechanArray[50000];
428   int m_prechipArray[50000];
429   int m_preadcArray[50000];
430   int m_preeventArray[50000];
431   int m_prebcoArray[50000];
432   int m_prebco_fullArray[50000];
433   int sa_bco;
434   int sa_bcofull;
435   int noisemit=0;
436   int cosmichit=0;
437   int prenoisemit=0;
438   int precosmichit=0;
439   int processhit=0;
440   int nhit2=0;
441   int prenhit2=0;
442   int noise2=0;
443   int m_nbco2[50000];
444   int m_nbco_full2[50000];
445   int m_chanArray2[50000];
446   int m_chipArray2[50000];
447   int m_adcArray2[50000];
448   int m_eventArray2[50000];
449   int m_bcoArray2[50000];
450   int m_bco_fullArray2[50000];
451   int m_prenbco_full2[50000];
452   int m_prechanArray2[50000];
453   int m_prechipArray2[50000];
454   int m_preadcArray2[50000];
455   int m_preeventArray2[50000];
456   int m_prebcoArray2[50000];
457   int m_prebco_fullArray2[50000];
458   int sa_bco2;
459   int sa_bcofull2;
460   int noisemit2=0;
461   int cosmichit2=0;
462   int prenoisemit2=0;
463   int precosmichit2=0;
464   int processhit2=0;
465   double summV_Ret[10];
466   int Nhits_Ret[10];
467   double summV_Ret8[10];
468   double summV_Ret6[10];
469   int Nhits_Ret6[10];
470   int Nhits_Ret8[10];
471   int chan_Ret[10];
472   int chan_Ret6[10];
473   int chan_Ret8[10];
474   int chip_Ret[10];
475   int chip_Ret6[10];
476   int chip_Ret8[10];
477   int ncls_Ret;
478   int ncls_Ret6;
479   int ncls_Ret8;
480   int adc_Ret[10][10];
481   int adc_Ret6[10][10];
482   int adc_Ret8[10][10];
483   for(int i=0;i<10;i++){
484     summV_Ret[i] = -1;

```

```

485     Nhits_Ret[i] = -1;
486     summV_Ret8[i] = -1;
487     summV_Ret6[i] = -1;
488     Nhits_Ret6[i] = -1;
489     Nhits_Ret8[i] = -1;
490     chan_Ret[i] = -1;
491     chan_Ret6[i] = -1;
492     chan_Ret8[i] = -1;
493     chip_Ret[i] = -1;
494     chip_Ret6[i] = -1;
495     chip_Ret8[i] = -1;
496     for(int ii=0;ii<10;ii++){
497         adc_Ret[ii][i] = -1;
498         adc_Ret6[ii][i] = -1;
499         adc_Ret8[ii][i] = -1;
500     }
501 }
502 int nhit_Ret8=0;
503 int nhit_Ret6=0;
504 int nstrip8=0;
505 int nstrip6=0;
506 ncls_Ret6 = -1;
507 ncls_Ret8 = -1;
508 ncls_Ret = -1;
509 for (; m_jentry<nentries+1;m_jentry++) {
510     Long64_t ientry = LoadTree(m_jentry);
511     if (ientry < 0) break;
512     nb = fChain->GetEntry(m_jentry); nbytes += nb;
513 // ++++++check same channel and chip data+++++
514     if( (m_prebco!=bco) && (m_prebcofull!=bco_full) ){
515         sa_bco = m_prebco-bco;
516         sa_bcofull = m_prebcofull-bco_full;
517         bco_interval->Fill(sa_bco);
518         bcofull_interval->Fill(sa_bcofull);
519         sa_correlation->Fill(sa_bco,sa_bcofull);
520         if(sa_bcofull!=-1){
521             for(int i=0;i<nhit;i++){
522                 adc_bcofull->Fill(m_adcArray[i],weight(m_adcArray[i]));
523             }
524         }
525         m_prebco = bco;
526         m_prebcofull = bco_full;
527 //+++++check same channel and chip data+++++
528         for(int i=0;i<nhit;i++){
529             for(int ii=0;ii<prehit;ii++){
530                 if(m_prechanArray[ii]==m_chanArray[i]&&m_prechipArray[ii]==m_chipArray[i]){
531                     noise++;
532                     m_noiseAdc->Fill(m_preadcArray[ii],weight(m_preadcArray[ii]));
533                     m_noiseAdc->Fill(m_adcArray[i],weight(m_adcArray[i]));
534                     noisehit=1;
535                 }
536                 else {
537                     cosmichit=1;
538                 }
539             }
540         }
541 //+++++check same channel and chip data+++++
542         for(int i=0;i<nhit2;i++){
543             for(int ii=0;ii<prehit2;ii++){
544                 if(m_prechanArray2[ii]==m_chanArray2[i]&&m_prechipArray2[ii]==m_chipArray2[i]){
545                     noise2++;
546                     m_noiseAdc->Fill(m_preadcArray2[ii],weight(m_preadcArray2[ii]));
547                     m_noiseAdc->Fill(m_adcArray2[i],weight(m_adcArray2[i]));
548                     noisehit2=1;
549                 }
550                 else{
551                     cosmichit2=1;
552                 }
553             }
554         }
555         int HIT=0;
556         processhit=0;
557         if(noisehit==0&&prenoisehit==0)processhit=1;
558         processhit2=0;
559         if(noisehit2==0&&prenoisehit2==0)processhit2=1;
560 //!!!!!!!!!!!!!!for two modules!!!!!!!!!!!!!!
561         if(prehit>0&&prehit2>0){
562             if(processhit==1){
563                 if(processhit2==1){
564                     //!!!!!!!!!!!!!!
565                     //!!!!!!!!!!!!!!for one modules(8)!!!!!!!!!!!!!!
566 // * if(prehit>0){
567 //     if(cosmichit==1&&precosmichit==1&&noisehit==0&&prenoisehit==0){
568 // * //!!!!!!!!!!!!!!
569                 for(int i=0;i<10;i++){
570                     summV_Ret[i] = -1;
571                     summV_Ret6[i] = -1;
572                     summV_Ret8[i] = -1;
573                     Nhits_Ret[i] = -1;
574                     Nhits_Ret6[i] = -1;
575                     Nhits_Ret8[i] = -1;
576                     chan_Ret[i] = -1;
577                     chan_Ret6[i] = -1;
578                     chan_Ret8[i] = -1;

```

```

579         chip_Ret[i] = -1;
580         chip_Ret6[i] = -1;
581         chip_Ret8[i] = -1;
582         for(int ii=0;ii<10;ii++){
583             adc_Ret[ii][i] = -1;
584             adc_Ret6[ii][i] = -1;
585             adc_Ret8[ii][i] = -1;
586         }
587     }
588     nhit_Ret8=0;
589     nhit_Ret6=0;
590     nstrip8=0;
591     nstrip6=0;
592     ncls_Ret6 = -1;
593     ncls_Ret8 = -1;
594     ncls_Ret = -1;
595     for(int i=0;i<prenhit;i++){
596         Wadc->Fill(m_preadcArray[i], weight(m_preadcArray[i]));
597         //--singlemV->Fill(adc.mV(m_preadcArray[i]),mV_weight2(adc.mV(m_preadcArray[i])));
598     }
599     for(int i=0;i<prenhit2;i++){
600         Wadc->Fill(m_preadcArray2[i], weight(m_preadcArray2[i]));
601         //--singlemV->Fill(adc.mV(m_preadcArray2[i]),mV_weight2(adc.mV(m_preadcArray2[i])));
602     }
603 // ++++++ process hits+++++
604 process_hits(prenhit, m_prechipArray, m_prechanArray, m_preadcArray, m_preeventArray, m_prebcoArray,
m_prebco_fullArray, summV_Ret, Nhits_Ret, chan_Ret, chip_Ret, ncls_Ret, adc_Ret);
605     if(ncls_Ret>0){
606         NCLS8->Fill(ncls_Ret);
607     }
608     ncls_Ret8 = ncls_Ret;
609     for(int I=0;I<10;I++){
610         if(summV_Ret[I]!=-1){
611             summV_Ret8[nhit_Ret8] = summV_Ret[I];
612             Nhits_Ret8[nhit_Ret8] = Nhits_Ret[I];
613             chan_Ret8[nhit_Ret8] = chan_Ret[I];
614             chip_Ret8[nhit_Ret8] = chip_Ret[I];
615             for(int II=0;II<10;II++){
616                 adc_Ret8[nhit_Ret8][nstrip8] = adc_Ret[I][II];
617                 nstrip8++;
618             }
619             nhit_Ret8++;
620         }
621     }
622     for(int i=0;i<10;i++){
623         summV_Ret[i] = -1;
624         Nhits_Ret[i] = -1;
625         chan_Ret[i] = -1;
626         chip_Ret[i] = -1;
627         for(int ii=0;ii<10;ii++){
628             adc_Ret[ii][i] = -1;
629         }
630     }
631     ncls_Ret = 0;
632     process_hits(prenhit2, m_prechipArray2, m_prechanArray2, m_preadcArray2, m_preeventArray2, m_prebcoArray2,
m_prebco_fullArray2, summV_Ret, Nhits_Ret, chan_Ret, chip_Ret, ncls_Ret, adc_Ret);
633 // ++++++ analysis per module+++++
634     if(ncls_Ret>0){
635         NCLS6->Fill(ncls_Ret);
636     }
637     ncls_Ret6 = ncls_Ret;
638     for(int I=0;I<10;I++){
639         if(summV_Ret[I]!=-1){
640             summV_Ret6[nhit_Ret6] = summV_Ret[I];
641             Nhits_Ret6[nhit_Ret6] = Nhits_Ret[I];
642             chan_Ret6[nhit_Ret6] = chan_Ret[I];
643             chip_Ret6[nhit_Ret6] = chip_Ret[I];
644             for(int II=0;II<10;II++){
645                 adc_Ret6[nhit_Ret6][nstrip6] = adc_Ret[I][II];
646                 nstrip6++;
647             }
648             nhit_Ret6++;
649         }
650     }
651     for(int i=0;i<10;i++){
652         summV_Ret[i] = -1;
653         Nhits_Ret[i] = -1;
654         chan_Ret[i] = -1;
655         chip_Ret[i] = -1;
656         for(int ii=0;ii<10;ii++){
657             adc_Ret[ii][i] = -1;
658         }
659     }
660     int chipselection=0;
661     int chanelection=0;
662     ncls_Ret = 0;
663     if(nhit_Ret8==1&&nhit_Ret6==1){
664         NSTRIP6->Fill(Nhits_Ret6[0]);
665         NSTRIP8->Fill(Nhits_Ret8[0]);
666         CHANDIFF->Fill(chan_Ret6[0], chan_Ret8[0]);
667         CHIPDIFF->Fill(chip_Ret6[0], chip_Ret8[0]);
668         if(chip_Ret6[0]>2&&chip_Ret6[0]<14&&chip_Ret8[0]<12){
669             CHIPDIFFSAh->Fill(chip_Ret6[0]-chip_Ret8[0]);
670             CHANDIFFS->Fill(chan_Ret6[0], chan_Ret8[0]);

```

```

671     if(chan_Ret6[0]>63&&chan_Ret8[0]>63){
672         CHANDIFFSAh->Fill(chan_Ret6[0]-chan_Ret8[0]);
673         chselection=1;
674     }
675     chipselection=1;
676 }
677 else if(chip_Ret6[0]>15&&chip_Ret8[0]>13&&chip_Ret8[0]<25){
678     CHIPDIFFSAh->Fill(chip_Ret6[0]-chip_Ret8[0]);
679     CHANDIFFS->Fill(chan_Ret6[0], chan_Ret8[0]);
680     if(chan_Ret6[0]>63&&chan_Ret8[0]>63){
681         CHANDIFFSAh->Fill(chan_Ret6[0]-chan_Ret8[0]);
682         chselection=1;
683     }
684     chipselection=1;
685 }
686 //event selection
687 if(chipselection==1&&chselection==1&&(chip_Ret6[0]-chip_Ret8[0])<2.673+1.017&&(chip_Ret6[0]-chip_Ret8[0])
    >2.673-1.017&&(chan_Ret6[0]-chan_Ret8[0])<27&&(chan_Ret6[0]-chan_Ret8[0])>-19){
688     for(int I=0;I<nhit_Ret6;I++){
689         for(int II=0;II<nstrip6;II++){
690             if(adc_Ret6[II][I]>=0)originalenergyloss->Fill(adc_mV(adc_Ret6[II][I]),mV_weight2(adc_mV(adc_Ret6[II][I])));
691         }
692     }
693     for(int I=0;I<nhit_Ret8;I++){
694         for(int II=0;II<nstrip8;II++){
695             if(adc_Ret8[II][I]>=0)originalenergyloss->Fill(adc_mV(adc_Ret8[II][I]),mV_weight2(adc_mV(adc_Ret8[II][I])));
696         }
697     }
698     double gain = 190.;
699     double RecmV1 = 0.;
700     double RecmV2 = 0.;
701     if(Nhits_Ret8[0]==1){
702         RecmV1 = adc_mV(adc_Ret8[0][0])-gain;//+- 75mV
703         RECELOSS1->Fill(RecmV1);//+- 75mV
704     }
705     if(Nhits_Ret6[0]==1){
706         RecmV1 = adc_mV(adc_Ret6[0][0])-gain;//+- 75mV
707         RECELOSS1->Fill(RecmV1);//+- 75mV
708     }
709     if(Nhits_Ret8[0]==2){
710         RecmV2 += adc_mV(adc_Ret6[0][0])-gain;//+- 75mV
711         RecmV2 += adc_mV(adc_Ret6[0][1])-gain;//+- 75mV
712         RECELOSS2->Fill(RecmV2);//+- 75mV
713     }
714     if(Nhits_Ret6[0]==2){
715         RecmV2 += adc_mV(adc_Ret6[0][0])-gain;//+- 75mV
716         RecmV2 += adc_mV(adc_Ret6[0][1])-gain;//+- 75mV
717         RECELOSS2->Fill(RecmV2);//+- 75mV
718     }
719     if(Nhits_Ret8[0]==1)ELOSSCLS1_S->Fill(summV_Ret8[0], mV_weight2(summV_Ret8[0]));
720     if(Nhits_Ret6[0]==1)ELOSSCLS1_S->Fill(summV_Ret6[0], mV_weight2(summV_Ret6[0]));
721     if(Nhits_Ret8[0]==2){
722         ELOSSCLS2_S->Fill(summV_Ret8[0], mV_weight2(summV_Ret8[0]));
723         ADCDIFF->Fill(adc_mV(adc_Ret8[0][0]),adc_mV(adc_Ret8[0][1]));
724     }
725     if(Nhits_Ret6[0]==2){
726         ELOSSCLS2_S->Fill(summV_Ret6[0], mV_weight2(summV_Ret6[0]));
727         ADCDIFF->Fill(adc_mV(adc_Ret6[0][0]),adc_mV(adc_Ret6[0][1]));
728     }
729     if(Nhits_Ret8[0]==1&&Nhits_Ret6[0]==2){
730         ELOSSTRANS->Fill(summV_Ret8[0], summV_Ret6[0]);
731         ELOSSCLS1_S->Fill(summV_Ret8[0], mV_weight2(summV_Ret8[0]));
732         ELOSSCLS2_S->Fill(summV_Ret6[0], mV_weight2(summV_Ret6[0]));
733     }
734     if(Nhits_Ret6[0]==1&&Nhits_Ret8[0]==2){
735         ELOSSTRANS->Fill(summV_Ret6[0], summV_Ret8[0]);
736         ELOSSCLS1_S->Fill(summV_Ret6[0], mV_weight2(summV_Ret6[0]));
737         ELOSSCLS2_S->Fill(summV_Ret8[0], mV_weight2(summV_Ret8[0]));
738     }
739 }
740 if(chip_Ret6[0]<15&&chip_Ret8[0]<14){
741     CHANDIFFSA1->Fill(TMath::Abs(chan_Ret6[0]-chan_Ret8[0]));
742     ELOSSDIFF1->Fill(summV_Ret6[0], summV_Ret8[0]);
743     if(Nhits_Ret8[0]==1)ELOSSCLS1_8_1->Fill(summV_Ret8[0], mV_weight2(summV_Ret8[0]));
744     if(Nhits_Ret6[0]==1)ELOSSCLS1_6_1->Fill(summV_Ret6[0], mV_weight2(summV_Ret6[0]));
745     if(Nhits_Ret8[0]==2)ELOSSCLS2_8_1->Fill(summV_Ret8[0], mV_weight2(summV_Ret8[0]));
746     if(Nhits_Ret6[0]==2)ELOSSCLS2_6_1->Fill(summV_Ret6[0], mV_weight2(summV_Ret6[0]));
747     if(Nhits_Ret8[0]==1&&Nhits_Ret6[0]==2){
748         ELOSSSTRAN1->Fill(summV_Ret8[0], summV_Ret6[0]);
749         ELOSSCLS1_1->Fill(summV_Ret8[0], mV_weight2(summV_Ret8[0]));
750         ELOSSCLS2_1->Fill(summV_Ret6[0], mV_weight2(summV_Ret6[0]));
751     }
752     if(Nhits_Ret6[0]==1&&Nhits_Ret8[0]==2){
753         ELOSSSTRAN1->Fill(summV_Ret6[0], summV_Ret8[0]);
754         ELOSSCLS1_1->Fill(summV_Ret6[0], mV_weight2(summV_Ret6[0]));
755         ELOSSCLS2_1->Fill(summV_Ret8[0], mV_weight2(summV_Ret8[0]));
756     }
757 }
758 else if(chip_Ret6[0]<15){
759     CHANDIFFSA2->Fill(TMath::Abs(chan_Ret6[0]-chan_Ret8[0]));
760     ELOSSDIFF2->Fill(summV_Ret6[0], summV_Ret8[0]);
761     if(Nhits_Ret8[0]==1)ELOSSCLS1_8_2->Fill(summV_Ret8[0], mV_weight2(summV_Ret8[0]));
762     if(Nhits_Ret6[0]==1)ELOSSCLS1_6_2->Fill(summV_Ret6[0], mV_weight2(summV_Ret6[0]));
763     if(Nhits_Ret8[0]==2)ELOSSCLS2_8_2->Fill(summV_Ret8[0], mV_weight2(summV_Ret8[0]));

```

```

764         if(Nhits_Ret6[0]==2)ELOSSCLS2_6_2->Fill(summV_Ret6[0], mV_weight2(summV_Ret6[0]));
765     if(Nhits_Ret8[0]==1&&Nhits_Ret6[0]==2){
766         ELOSSSTRAN2->Fill(summV_Ret8[0], summV_Ret6[0]);
767         ELOSSCLS1_2->Fill(summV_Ret8[0], mV_weight2(summV_Ret8[0]));
768         ELOSSCLS2_2->Fill(summV_Ret6[0], mV_weight2(summV_Ret6[0]));
769     }
770     if(Nhits_Ret6[0]==1&&Nhits_Ret8[0]==2){
771         ELOSSSTRAN2->Fill(summV_Ret6[0], summV_Ret8[0]);
772         ELOSSCLS1_2->Fill(summV_Ret6[0], mV_weight2(summV_Ret6[0]));
773         ELOSSCLS2_2->Fill(summV_Ret8[0], mV_weight2(summV_Ret8[0]));
774     }
775 }
776 else if(chip_Ret6[0]>14&&chip_Ret8[0]>13){
777     CHANDIFFSA3->Fill(TMath::Abs(chan_Ret6[0]-chan_Ret8[0]));
778     ELOSSDIFF3->Fill(summV_Ret6[0], summV_Ret8[0]);
779     if(Nhits_Ret8[0]==1)ELOSSCLS1_8_3->Fill(summV_Ret8[0], mV_weight2(summV_Ret8[0]));
780     if(Nhits_Ret6[0]==1)ELOSSCLS1_6_3->Fill(summV_Ret6[0], mV_weight2(summV_Ret6[0]));
781     if(Nhits_Ret8[0]==2)ELOSSCLS2_8_3->Fill(summV_Ret8[0], mV_weight2(summV_Ret8[0]));
782     if(Nhits_Ret6[0]==2)ELOSSCLS2_6_3->Fill(summV_Ret6[0], mV_weight2(summV_Ret6[0]));
783     if(Nhits_Ret8[0]==1&&Nhits_Ret6[0]==2){
784         ELOSSSTRAN3->Fill(summV_Ret8[0], summV_Ret6[0]);
785         ELOSSCLS1_3->Fill(summV_Ret8[0], mV_weight2(summV_Ret8[0]));
786         ELOSSCLS2_3->Fill(summV_Ret6[0], mV_weight2(summV_Ret6[0]));
787     }
788     if(Nhits_Ret6[0]==1&&Nhits_Ret8[0]==2){
789         ELOSSSTRAN3->Fill(summV_Ret6[0], summV_Ret8[0]);
790         ELOSSCLS1_3->Fill(summV_Ret6[0], mV_weight2(summV_Ret6[0]));
791         ELOSSCLS2_3->Fill(summV_Ret8[0], mV_weight2(summV_Ret8[0]));
792     }
793 }
794 else if(chip_Ret6[0]>14){
795     CHANDIFFSA4->Fill(TMath::Abs(chan_Ret6[0]-chan_Ret8[0]));
796     ELOSSDIFF4->Fill(summV_Ret6[0], summV_Ret8[0]);
797     if(Nhits_Ret8[0]==1)ELOSSCLS1_8_4->Fill(summV_Ret8[0], mV_weight2(summV_Ret8[0]));
798     if(Nhits_Ret6[0]==1)ELOSSCLS1_6_4->Fill(summV_Ret6[0], mV_weight2(summV_Ret6[0]));
799     if(Nhits_Ret8[0]==2)ELOSSCLS2_8_4->Fill(summV_Ret8[0], mV_weight2(summV_Ret8[0]));
800     if(Nhits_Ret6[0]==2)ELOSSCLS2_6_4->Fill(summV_Ret6[0], mV_weight2(summV_Ret6[0]));
801     if(Nhits_Ret8[0]==1&&Nhits_Ret6[0]==2){
802         ELOSSSTRAN4->Fill(summV_Ret8[0], summV_Ret6[0]);
803         ELOSSCLS1_4->Fill(summV_Ret8[0], mV_weight2(summV_Ret8[0]));
804         ELOSSCLS2_4->Fill(summV_Ret6[0], mV_weight2(summV_Ret6[0]));
805     }
806     if(Nhits_Ret6[0]==1&&Nhits_Ret8[0]==2){
807         ELOSSSTRAN4->Fill(summV_Ret6[0], summV_Ret8[0]);
808         ELOSSCLS1_4->Fill(summV_Ret6[0], mV_weight2(summV_Ret6[0]));
809         ELOSSCLS2_4->Fill(summV_Ret8[0], mV_weight2(summV_Ret8[0]));
810     }
811 }
812 ELOSSDIFF->Fill(summV_Ret6[0], summV_Ret8[0]);
813 ELOSSDIFFSA->Fill(TMath::Abs(summV_Ret6[0]-summV_Ret8[0]));
814
815 if(Nhits_Ret8[0]==1&&Nhits_Ret6[0]==2){
816     ELOSSSTRAN->Fill(summV_Ret8[0], summV_Ret6[0]);
817     ELOSSSTRANSA->Fill(TMath::Abs(summV_Ret6[0]-summV_Ret8[0]));
818 }
819 if(Nhits_Ret6[0]==1&&Nhits_Ret8[0]==2){
820     ELOSSSTRAN->Fill(summV_Ret6[0], summV_Ret8[0]);
821     ELOSSSTRANSA->Fill(TMath::Abs(summV_Ret6[0]-summV_Ret8[0]));
822 }
823 } //!!!!!!!!!!!!!!!!!!!!for two modules!!!!!!!!!!!!!!!!!!!!
824 }
825 }
826 }
827 //+++++copy previous data+++++
828 precosmichit = cosmichit;
829 precosmichit2 = cosmichit2;
830 prenoisehit = noisemit;
831 prenoisehit2 = noisemit2;
832 cosmichit=0;
833 cosmichit2=0;
834 noisemit=0;
835 noisemit2=0;
836 prenhit = nhit;
837 prenhit2 = nhit2;
838 processhit=0;
839 processhit2=0;
840 nhit=0;
841 nhit2=0;
842 for(int jhit=0; jhit<prenhit; jhit++){
843     m_prechipArray[jhit] = m_chipArray[jhit] ;
844     m_prechanArray[jhit] = m_chanArray[jhit] ;
845     m_preadcArray[jhit] = m_adcArray[jhit] ;
846     m_preeventArray[jhit] = m_eventArray[jhit] ;
847     m_prebcoArray[jhit] = m_bcoArray[jhit] ;
848     m_prebco_fullArray[jhit] = m_bco_fullArray[jhit];
849 }
850 for(int jhit=0; jhit<prenhit2; jhit++){
851     m_prechipArray2[jhit] = m_chipArray2[jhit] ;
852     m_prechanArray2[jhit] = m_chanArray2[jhit] ;
853     m_preadcArray2[jhit] = m_adcArray2[jhit] ;
854     m_preeventArray2[jhit] = m_eventArray2[jhit] ;
855     m_prebcoArray2[jhit] = m_bcoArray2[jhit] ;
856     m_prebco_fullArray2[jhit]= m_bco_fullArray2[jhit];
857 }

```



```

858     }
859     singlemV->Fill(adc_mV(adc),mV_weight2(adc_mV(adc)));
860 //+++++copy new data+++++
861     if(module==8&&ampl==0&&adc>-1.&&adc<8&&chip_id>0&&chip_id<27&&chan_id>-1&&chan_id<128){
862         m_chipArray[nhit] = chip_id;
863         m_chanArray[nhit] = chan_id;
864         m_adcArray[nhit] = adc;
865         m_eventArray[nhit]= event;
866         m_bcoArray[nhit] = bco;
867         m_bco_fullArray[nhit]=bco_full;
868         nhit++;
869     }
870     if(module==6&&ampl==0&&adc>-1.&&adc<8&&chip_id>0&&chip_id<27&&chan_id>-1&&chan_id<128){
871         m_chipArray2[nhit2] = chip_id;
872         m_chanArray2[nhit2] = chan_id;
873         m_adcArray2[nhit2] = adc;
874         m_eventArray2[nhit2]= event;
875         m_bcoArray2[nhit2] = bco;
876         m_bco_fullArray2[nhit2]=bco_full;
877         nhit2++;
878     }
879 }
880 if(chan_id<0||128<=chan_id) {
881     cout<<"exceed_chan_id"<<endl;
882     cout<<"event"<<"clk:"<<bco<<"<<bco_full<<"<<chip_id<<"<<chan_id<<"<<module<<"<<adc<<(adc>0?"hit":"
883     ")<<endl;
884 }
885 cout<<"noise"<<noise<<endl;
886 };
887 void readtree::init_histo(){
888     int m=9;
889     double xbins[] = {0, 270, 302, 450, 602, 750, 902, 1050, 1202, 1234};
890     singlemV = new TH1F("singlemV","energy_loss_without_clustering_with_weight",m,xbins);
891     hnhits = new TH1F("hnhits","N_hits_per_event",7,0,7);
892     SingleAdc = new TH1F("SingleAdc","energyloss_before_clustering;mV",m,xbins);
893     DAdc = new TH1F("DAdc","energyloss_before_clustering;mV",m,xbins);
894     TAdc = new TH1F("TAdc","energyloss_before_clustering;mV",m,xbins);
895     SingleAdc->SetLineColor(kRed);
896     DAdc->SetLineColor(kBlue);
897     TAdc->SetLineColor(kGreen);
898     m_noiseAdc = new TH1F("m_noiseAdc", "ADC_of_noise_data;adc", 8, 0, 8);
899     Wadc = new TH1F("Wadc", "ADC_with_weight;adc", 8, 0, 8);
900     NHITChip = new TH2F("NHITChip","ADC_correlation_of_separate_double_hits;ch1_adc;ch2_adc",12,-2.,10.,12,-2.,10.);
901     chan_1hit = new TH2F("chan_1hit","channel_correlation_of_separate_double_hits;ch1_channel;ch2_channel",130,0.,130.,130,0.,130.);
902     chan_1hit2 = new TH2F("chan_1hit2","channel_difference_of_single_vs_chip;channel_difference;chip_id",128,0.,128.,27,0,27);
903     adc_0hit = new TH2F("adc_0hit","single_hit_of_ADC=0;chan_id;chip_id",128,0,128,26,0,26);
904     multiclchip = new TH2F("multiclchip","chip_vs_channel_in_multiple_clusters_event;chan_id;chip_id",128,0,128,26,0,26);
905     nclsnChip = new TH1F("nclsnChip","Number_of_clusters_per_event;number_of_clusters",5,0,5);
906     NCLS6 = new TH1F("NCLS6","Number_of_clusters_per_event;number_of_clusters",5,0,5);
907     NCLS8 = new TH1F("NCLS8","Number_of_clusters_per_event;number_of_clusters",5,0,5);
908     NSTRIP6 = new TH1F("NSTRIP6","Number_of_strips_per_event;number_of_strips",5,0,5);
909     NSTRIP8 = new TH1F("NSTRIP8","Number_of_strips_per_event;number_of_strips",5,0,5);
910     NHITChipmV = new TH1F("NHITChipmV","2_single_hits_in_same_chip;mV",m,xbins);
911     SumDoublehitAdc2 = new TH1F("SumDoublehitAdc2","energy_loss_per_cluster;mV",m,xbins);
912     SinglehitAdc2 = new TH1F("SinglehitAdc2","energy_loss_per_cluster;mV",m,xbins);
913     SumTriplehitAdc2 = new TH1F("SumTriplehitAdc2","energy_loss_per_cluster;mV",m,xbins);
914     Adc_2hit = new TH2F("Adc_2hit","adc_correlation_of_2_hits;ch1_adc;ch2_adc",12,-2.,10.,12,-2.,10.);
915     chan_2hit = new TH2F("chan_2hit","channel_correlation_of_2_hits;ch1_channel;ch2_channel",130,0.,130.,130,0.,130.);
916     sa_correlation = new TH2F("sa_correlation","correlation_of_bco_and_bcofull_interval;bco_interval;bcofull_interval",
917     ,1000,-500,500,10000,-5000,5000);
918     SumTriplehitAdc2 = new TH1F("SumTriplehitAdc2","energy_loss_per_cluster;mV",m,xbins);
919     bco_interval = new TH1F("bco_interval","bco_interval;bco_interval",300,-150,150);
920     bcofull_interval = new TH1F("bcofull_interval","bcofull_interval;bco_interval",140000,-70000,70000);
921     adc_bcofull = new TH1F("adc_bcofull","ADC,(bcofull_interval=-1);adc",8,0,8);
922     ADCDIFF = new TH2F("ADCDIFF","energy_loss_correlation_of_2_hits;channel_1mV;channel_2mV",m,xbins,m,xbins);
923     ELOSSDIFF = new TH2F("ELOSSDIFF","energy_loss_correlation_of_modules;module6mV;module8mV",m,xbins,m,xbins);
924     ELOSSDIFFSA = new TH1F("ELOSSDIFFSA","energy_loss_difference_between_modules;mV",130,0.,1300.);
925     ELOSSTRAN = new TH2F("ELOSSTRAN","energy_loss_correlation_between_number_of_hits;1_hit_mV;2_hits_mV",m,xbins,m,xbins);
926     ELOSSTRANSA = new TH1F("ELOSSTRANSA","energy_loss_difference_between_number_of_hits;mV",130,0.,1300.);
927     ELOSSTRAN1 = new TH2F("ELOSSTRAN1","energy_loss_difference_between_number_of_hits(1);1_hit_mV;2_hits_mV",m,xbins,m,xbins);
928     ELOSSTRAN2 = new TH2F("ELOSSTRAN2","energy_loss_difference_between_number_of_hits(2);1_hit_mV;2_hits_mV",m,xbins,m,xbins);
929     ELOSSTRAN3 = new TH2F("ELOSSTRAN3","energy_loss_difference_between_number_of_hits(3);1_hit_mV;2_hits_mV",m,xbins,m,xbins);
930     ELOSSTRAN4 = new TH2F("ELOSSTRAN4","energy_loss_difference_between_number_of_hits(4);1_hit_mV;2_hits_mV",m,xbins,m,xbins);
931     ELOSSTRANS = new TH2F("ELOSSTRANS","energy_loss_difference_between_number_of_hits(hit_position);1_hit_mV;2_hits_mV",m,xbins,m,xbins);
932     CHANDIFF = new TH2F("CHANDIFF","channel_correlation_of_modules;module6_channel;module8_channel",65,-1,129,65,-1,129);
933     CHANDIFFSA1 = new TH1F("CHANDIFFSA1","channel_difference_between_chips;chan_(1)",130,-1,129);
934     CHANDIFFSA2 = new TH1F("CHANDIFFSA2","channel_difference_between_chips;chan_(2)",130,-1,129);
935     CHANDIFFSA3 = new TH1F("CHANDIFFSA3","channel_difference_between_chips;chan_(3)",130,-1,129);
936     CHANDIFFSA4 = new TH1F("CHANDIFFSA4","channel_difference_between_chips;chan_(4)",130,-1,129);
937     CHANDIFFSAh = new TH1F("CHANDIFFSAh","channel_difference_between_chips(hit_position);channel_difference",16,-128,128);
938     CHIPDIFFSAh = new TH1F("CHIPDIFFSAh","chip_difference_between_modules(hit_position);chip_difference",52,-26,26);
939     ELOSSDIFF1 = new TH2F("ELOSSDIFF1","energy_loss_correlation_of_modules_(1);module6_mV;module8_mV",m,xbins,m,xbins);
940     ELOSSDIFF2 = new TH2F("ELOSSDIFF2","energy_loss_correlation_of_modules_(2);module6_mV;module8_mV",m,xbins,m,xbins);
941     ELOSSDIFF3 = new TH2F("ELOSSDIFF3","energy_loss_correlation_of_modules_(3);module6_mV;module8_mV",m,xbins,m,xbins);
942     ELOSSDIFF4 = new TH2F("ELOSSDIFF4","energy_loss_correlation_of_modules_(4);module6_mV;module8_mV",m,xbins,m,xbins);
943     ELOSSCLS1_8_1 = new TH1F("ELOSSCLS1_8_1","clusterd_energy_loss_(1);mV",m,xbins);
944     ELOSSCLS1_6_1 = new TH1F("ELOSSCLS1_6_1","clusterd_energy_loss_(1);mV",m,xbins);
945     ELOSSCLS2_8_1 = new TH1F("ELOSSCLS2_8_1","clusterd_energy_loss_(1);mV",m,xbins);
946     ELOSSCLS2_6_1 = new TH1F("ELOSSCLS2_6_1","clusterd_energy_loss_(1);mV",m,xbins);
947     ELOSSCLS1_8_2 = new TH1F("ELOSSCLS1_8_2","clusterd_energy_loss_(2);mV",m,xbins);
948     ELOSSCLS1_6_2 = new TH1F("ELOSSCLS1_6_2","clusterd_energy_loss_(2);mV",m,xbins);
949     ELOSSCLS2_8_2 = new TH1F("ELOSSCLS2_8_2","clusterd_energy_loss_(2);mV",m,xbins);
950     ELOSSCLS2_6_2 = new TH1F("ELOSSCLS2_6_2","clusterd_energy_loss_(2);mV",m,xbins);

```

```

950 ELOSSCLS1_8_3 = new TH1F("ELOSSCLS1_8_3","clusterd_energy_loss_0(3);mV",m,xbins);
951 ELOSSCLS1_6_3 = new TH1F("ELOSSCLS1_6_3","clusterd_energy_loss_0(3);mV",m,xbins);
952 ELOSSCLS2_8_3 = new TH1F("ELOSSCLS2_8_3","clusterd_energy_loss_0(3);mV",m,xbins);
953 ELOSSCLS2_6_3 = new TH1F("ELOSSCLS2_6_3","clusterd_energy_loss_0(3);mV",m,xbins);
954 ELOSSCLS1_8_4 = new TH1F("ELOSSCLS1_8_4","clusterd_energy_loss_0(4);mV",m,xbins);
955 ELOSSCLS1_6_4 = new TH1F("ELOSSCLS1_6_4","clusterd_energy_loss_0(4);mV",m,xbins);
956 ELOSSCLS2_8_4 = new TH1F("ELOSSCLS2_8_4","clusterd_energy_loss_0(4);mV",m,xbins);
957 ELOSSCLS2_6_4 = new TH1F("ELOSSCLS2_6_4","clusterd_energy_loss_0(4);mV",m,xbins);
958 CHIPDIFF = new TH2F("CHIPDIFF","chip_correlation_of_modules;module6_chip_id;module8_chip_id",28,-1,27,28,-1,27);
959 ELOSSCLS1_1 = new TH1F("ELOSSCLS1_1","clusterd_energy_loss_0(1);mV",m,xbins);
960 ELOSSCLS2_1 = new TH1F("ELOSSCLS2_1","clusterd_energy_loss_0(1);mV",m,xbins);
961 ELOSSCLS1_2 = new TH1F("ELOSSCLS1_2","clusterd_energy_loss_0(2);mV",m,xbins);
962 ELOSSCLS2_2 = new TH1F("ELOSSCLS2_2","clusterd_energy_loss_0(2);mV",m,xbins);
963 ELOSSCLS1_3 = new TH1F("ELOSSCLS1_3","clusterd_energy_loss_0(3);mV",m,xbins);
964 ELOSSCLS2_3 = new TH1F("ELOSSCLS2_3","clusterd_energy_loss_0(3);mV",m,xbins);
965 ELOSSCLS1_4 = new TH1F("ELOSSCLS1_4","clusterd_energy_loss_0(4);mV",m,xbins);
966 ELOSSCLS2_4 = new TH1F("ELOSSCLS2_4","clusterd_energy_loss_0(4);mV",m,xbins);
967 ELOSSCLS1_S = new TH1F("ELOSSCLS1_S","clusterd_energy_loss_0(diff=3,_different_hits);mV",m,xbins);
968 ELOSSCLS2_S = new TH1F("ELOSSCLS2_S","clusterd_energy_loss_0(diff=3,_different_hits);mV",m,xbins);
969 ELOSSCLS1__S = new TH1F("ELOSSCLS1__S","clusterd_energy_loss_0(diff=3);mV",m,xbins);
970 ELOSSCLS2__S = new TH1F("ELOSSCLS2__S","clusterd_energy_loss_0(diff=3);mV",m,xbins);
971 RECEOSS1 = new TH1F("RECEOSS1","reconstruct_energy_loss;mV",m,xbins);
972 RECEOSS2 = new TH1F("RECEOSS2","reconstruct_energy_loss;mV",m,xbins);
973 originalenergyloss = new TH1F("originalenergyloss","energy_loss_before_clustering;mV",m,xbins);
974 ELOSSCLS1_1 -> SetLineColor(kRed);
975 ELOSSCLS2_1 -> SetLineColor(kBlue);
976 ELOSSCLS1_2 -> SetLineColor(kRed);
977 ELOSSCLS2_2 -> SetLineColor(kBlue);
978 ELOSSCLS1_3 -> SetLineColor(kRed);
979 ELOSSCLS2_3 -> SetLineColor(kBlue);
980 ELOSSCLS1_4 -> SetLineColor(kRed);
981 ELOSSCLS2_4 -> SetLineColor(kBlue);
982 ELOSSCLS1_S -> SetLineColor(kRed);
983 ELOSSCLS2_S -> SetLineColor(kBlue);
984 ELOSSCLS1__S -> SetLineColor(kRed);
985 ELOSSCLS2__S -> SetLineColor(kBlue);
986 RECEOSS1 -> SetLineColor(kRed);
987 RECEOSS2 -> SetLineColor(kBlue);
988 NCLS6 -> SetLineColor(kRed);
989 NCLS8 -> SetLineColor(kBlue);
990 NSTRIP6 -> SetLineColor(kRed);
991 NSTRIP8 -> SetLineColor(kBlue);
992 SumDoublehitAdc2 -> SetLineColor(kBlue);
993 SinglehitAdc2 -> SetLineColor(kRed);
994 SumTriplehitAdc2 -> SetLineColor(kGreen);
995 ELOSSCLS1_8_1 -> SetLineColor(kRed);
996 ELOSSCLS1_6_1 -> SetLineColor(kRed);
997 ELOSSCLS2_8_1 -> SetLineColor(kBlue);
998 ELOSSCLS2_6_1 -> SetLineColor(kBlue);
999 ELOSSCLS1_8_2 -> SetLineColor(kRed);
1000 ELOSSCLS1_6_2 -> SetLineColor(kRed);
1001 ELOSSCLS2_8_2 -> SetLineColor(kBlue);
1002 ELOSSCLS2_6_2 -> SetLineColor(kBlue);
1003 ELOSSCLS1_8_3 -> SetLineColor(kRed);
1004 ELOSSCLS1_6_3 -> SetLineColor(kRed);
1005 ELOSSCLS2_8_3 -> SetLineColor(kBlue);
1006 ELOSSCLS2_6_3 -> SetLineColor(kBlue);
1007 ELOSSCLS1_8_4 -> SetLineColor(kRed);
1008 ELOSSCLS1_6_4 -> SetLineColor(kRed);
1009 ELOSSCLS2_8_4 -> SetLineColor(kBlue);
1010 ELOSSCLS2_6_4 -> SetLineColor(kBlue);
1011 }
1012 void readtree::end(){
1013 m_froot->cd();
1014 singleV -> Write();
1015 hhhits -> Write();
1016 SingleAdc -> Write();
1017 DAdc -> Write();
1018 TAdc -> Write();
1019 singleV -> Write();
1020 originalenergyloss-> Write();
1021 m_noiseAdc -> Write();
1022 Wadc -> Write();
1023 NHITChip -> Write();
1024 chan_1hit -> Write();
1025 chan_1hit2 -> Write();
1026 adc_0hit -> Write();
1027 multiclchip -> Write();
1028 NHITChipmV -> Write();
1029 SumDoublehitAdc2 -> Write();
1030 SinglehitAdc2 -> Write();
1031 SumTriplehitAdc2 -> Write();
1032 Adc_2hit -> Write();
1033 chan_2hit -> Write();
1034 sa_correlation -> Write();
1035 bco_interval -> Write();
1036 bcofull_interval -> Write();
1037 adc_bcofull -> Write();
1038 nclsnChip -> Write();
1039 NCLS6 -> Write();
1040 NCLS8 -> Write();
1041 NSTRIP6 -> Write();
1042 NSTRIP8 -> Write();
1043 ELOSSDIFF -> Write();

```

```

1044 ELOSSDIFFSA ->Write();
1045 ELOSSTRAN ->Write();
1046 ELOSSTRANSA ->Write();
1047 ELOSSTRANS ->Write();
1048 CHANDIFF ->Write();
1049 CHANDIFFS ->Write();
1050 CHIPDIFF ->Write();
1051 ADCDIFF ->Write();
1052 CHANDIFFSA1 ->Write();
1053 CHANDIFFSA2 ->Write();
1054 CHANDIFFSA3 ->Write();
1055 CHANDIFFSA4 ->Write();
1056 CHANDIFFSAh ->Write();
1057 CHIPDIFFSAh ->Write();
1058 CHIPDIFFSAh ->Write();
1059 ELOSSDIFF1 ->Write();
1060 ELOSSDIFF2 ->Write();
1061 ELOSSDIFF3 ->Write();
1062 ELOSSDIFF4 ->Write();
1063 ELOSSCLS1.8.1 ->Write();
1064 ELOSSCLS1.6.1 ->Write();
1065 ELOSSCLS2.8.1 ->Write();
1066 ELOSSCLS2.6.1 ->Write();
1067 ELOSSCLS1.8.2 ->Write();
1068 ELOSSCLS1.6.2 ->Write();
1069 ELOSSCLS2.8.2 ->Write();
1070 ELOSSCLS2.6.2 ->Write();
1071 ELOSSCLS1.8.3 ->Write();
1072 ELOSSCLS1.6.3 ->Write();
1073 ELOSSCLS2.8.3 ->Write();
1074 ELOSSCLS2.6.3 ->Write();
1075 ELOSSCLS1.8.4 ->Write();
1076 ELOSSCLS1.6.4 ->Write();
1077 ELOSSCLS2.8.4 ->Write();
1078 ELOSSCLS2.6.4 ->Write();
1079 ELOSSTRAN1 ->Write();
1080 ELOSSTRAN2 ->Write();
1081 ELOSSTRAN3 ->Write();
1082 ELOSSTRAN4 ->Write();
1083 ELOSSCLS1.1 ->Write();
1084 ELOSSCLS2.1 ->Write();
1085 ELOSSCLS1.2 ->Write();
1086 ELOSSCLS2.2 ->Write();
1087 ELOSSCLS1.3 ->Write();
1088 ELOSSCLS2.3 ->Write();
1089 ELOSSCLS1.4 ->Write();
1090 ELOSSCLS2.4 ->Write();
1091 ELOSSCLS2.S ->Write();
1092 ELOSSCLS1.S ->Write();
1093 ELOSSCLS2.S ->Write();
1094 ELOSSCLS1...S ->Write();
1095 RECELOSS1 ->Write();
1096 RECELOSS2 ->Write();
1097 }

```

Listing A.2 readtree.h

```

1 ////////////////////////////////////////////////////////////////////
2 // This class has been automatically generated on
3 // Tue Nov 27 16:03:31 2018 by ROOT version 5.34/36
4 // from TTree tree/chip info
5 // found on file: fphx.raw.20191029-0947.0.root
6 ////////////////////////////////////////////////////////////////////
7 #ifndef readtree.h
8 #define readtree.h
9 #include <TROOT.h>
10 #include <TChain.h>
11 #include <TFile.h>
12 #include <TH2.h>
13 #include <TH1.h>
14 // Header file for the classes stored in the TTree if any.
15 // Fixed size dimensions of array or collections stored in the TTree if any.
16 class readtree {
17 public :
18     TTree *fChain; //!pointer to the analyzed TTree or TChain
19     Int_t fCurrent; //!current Tree number in a TChain
20     // Declaration of leaf types
21     Int_t adc;
22     Int_t ampl;
23     Int_t chip_id;
24     Int_t fpga_id;
25     Int_t module;
26     Int_t chan_id;
27     Int_t fem_id;
28     Int_t bco;
29     Int_t bco_full;
30     Int_t event;
31     // List of branches
32     TBranch *b_adc; //!
33     TBranch *b_ampl; //!
34     TBranch *b_chip_id; //!

```

```

35 TBranch *b_fpga_id; ///  

36 TBranch *b_module; ///  

37 TBranch *b_chan_id; ///  

38 TBranch *b_fem_id; ///  

39 TBranch *b_bco; ///  

40 TBranch *b_bco_full; ///  

41 TBranch *b_event; ///  

42 TFile* m_froot;  

43 TH2* m_hitmap;  

44 TH1F* singlemV ;  

45 TH1F* nhhits ;  

46 TH2F* nhitsnChip ;  

47 TH1F* nclsnChip;  

48 TH1F* SingleAdc;  

49 TH1F* DAdc ;  

50 TH1F* TAdc ;  

51 TH1F* m_noiseAdc;  

52 TH1F* originalenergyloss ;  

53 TH1F* Wadc ;  

54 TH2F* NHITChip ;  

55 TH2F* chan_1hit ;  

56 TH2F* chan_1hit2 ;  

57 // TH1F* chan_1hit2 ;  

58 TH2F* adc_0hit ;  

59 TH2F* multiclchip ;  

60 TH1F* NHITChipmV ;  

61 TH1F* SumDoublehitAdc2 ;  

62 TH1F* SinglehitAdc2 ;  

63 TH1F* SumTriplehitAdc2 ;  

64 TH2F* Adc_2hit ;  

65 TH2F* chan_2hit ;  

66 TH2F* sa_correlation ;  

67 TH1F* bco_interval ;  

68 TH1F* bcofull_interval ;  

69 TH1F* adc_bcofull ;  

70 TH2F* ELOSSDIFF ;  

71 TH1F* ELOSSDIFFSA ;  

72 TH2F* ELOSSSTRAN ;  

73 TH1F* ELOSSSTRANSA ;  

74 TH2F* CHANDIFF ;  

75 TH2F* CHANDIFFS ;  

76 TH2F* CHIPDIFF ;  

77 TH2F* ADCDIFF ;  

78 TH1F* CHANDIFFSA1 ;  

79 TH1F* CHANDIFFSA2 ;  

80 TH1F* CHANDIFFSA3 ;  

81 TH1F* CHANDIFFSA4 ;  

82 TH1F* CHANDIFFSAh ;  

83 TH1F* CHIPDIFFSAh ;  

84 TH2F* ELOSSDIFF1 ;  

85 TH2F* ELOSSDIFF2 ;  

86 TH2F* ELOSSDIFF3 ;  

87 TH2F* ELOSSDIFF4 ;  

88 TH1F* ELOSSCLS1_8_1 ;  

89 TH1F* ELOSSCLS1_6_1 ;  

90 TH1F* ELOSSCLS2_8_1 ;  

91 TH1F* ELOSSCLS2_6_1 ;  

92 TH1F* ELOSSCLS1_8_2 ;  

93 TH1F* ELOSSCLS1_6_2 ;  

94 TH1F* ELOSSCLS2_8_2 ;  

95 TH1F* ELOSSCLS2_6_2 ;  

96 TH1F* ELOSSCLS1_8_3 ;  

97 TH1F* ELOSSCLS1_6_3 ;  

98 TH1F* ELOSSCLS2_8_3 ;  

99 TH1F* ELOSSCLS2_6_3 ;  

100 TH1F* ELOSSCLS1_8_4 ;  

101 TH1F* ELOSSCLS1_6_4 ;  

102 TH1F* ELOSSCLS2_8_4 ;  

103 TH1F* ELOSSCLS2_6_4 ;  

104 TH2F* ELOSSTRAN1 ;  

105 TH2F* ELOSSTRAN2 ;  

106 TH2F* ELOSSTRAN3 ;  

107 TH2F* ELOSSTRAN4 ;  

108 TH2F* ELOSSTRANS ;  

109 TH1F* ELOSSCLS1_1 ;  

110 TH1F* ELOSSCLS2_1 ;  

111 TH1F* ELOSSCLS1_2 ;  

112 TH1F* ELOSSCLS2_2 ;  

113 TH1F* ELOSSCLS1_3 ;  

114 TH1F* ELOSSCLS2_3 ;  

115 TH1F* ELOSSCLS1_4 ;  

116 TH1F* ELOSSCLS2_4 ;  

117 TH1F* ELOSSCLS1_S ;  

118 TH1F* ELOSSCLS2_S ;  

119 TH1F* ELOSSCLS1__S ;  

120 TH1F* ELOSSCLS2__S ;  

121 TH1F* NCLS6 ;  

122 TH1F* NCLS8 ;  

123 TH1F* NSTRIP6 ;  

124 TH1F* NSTRIP8 ;  

125 TH1F* RECELOSS1 ;  

126 TH1F* RECELOSS2 ;  

127 TH1F* RECELOSS3 ;  

128 TH1F* ReNhit ;

```

```

129     int m_jentry;
130     int m_prebco, m_prebcofull, m_prenhit;
131     readtree(TTree *tree=0, const char* outfile="histo.root");
132     virtual ~readtree();
133     virtual Int_t Cut(Long64_t entry);
134     virtual Int_t GetEntry(Long64_t entry);
135     virtual Long64_t LoadTree(Long64_t entry);
136     virtual void Init(TTree *tree);
137     virtual void Loop(const int entry=-1);
138     virtual Bool_t Notify();
139     virtual void Show(Long64_t entry = -1);
140     void initHist();
141     void init_histo();
142     void process_hits(int nhit, int* chipArray, int* chanArray, int* adcArray, int* eventArray, int* bcoArray, int* bco_fullArray, double
        * summV_Ret, int* Nhits_Ret, int* chan_Ret, int* chip_Ret, int ncls_Ret, int(*adc_Ret)[10]);
143     void end();
144 };
145 #endif
146 #ifndef readtree_cxx
147 readtree::readtree(TTree *tree, const char *outfile) : fChain(0)
148 {
149     // if parameter tree is not specified (or zero), connect the file
150     // used to generate this class and read the Tree.
151     if (tree == 0) {
152         TFile *f = (TFile*)gROOT->GetListOfFiles()->FindObject("fphx_raw_20200114-all.root");
153         if (!f || !f->IsOpen()) {
154             f = new TFile("fphx_raw_20200114-all_0.root");
155         }
156         f->GetObject("tree",tree);
157     }
158     Init(tree);
159     m_froot = TFile::Open(outfile, "recreate");
160     initHist();
161     init_histo();
162     m_jentry=0;
163     m_prebco=-1;
164     m_prebcofull=-1;
165     m_prenhit=-1;
166 }
167 readtree::~readtree()
168 {
169     if (!fChain) return;
170     delete fChain->GetCurrentFile();
171 }
172 Int_t readtree::GetEntry(Long64_t entry)
173 {
174     // Read contents of entry.
175     if (!fChain) return 0;
176     return fChain->GetEntry(entry);
177 }
178 Long64_t readtree::LoadTree(Long64_t entry)
179 {
180     // Set the environment to read one entry
181     if (!fChain) return -5;
182     Long64_t centry = fChain->LoadTree(entry);
183     if (centry < 0) return centry;
184     if (fChain->GetTreeNumber() != fChain->GetCurrentFile()) {
185         fChain->GetCurrentFile();
186         Notify();
187     }
188     return centry;
189 }
190 void readtree::Init(TTree *tree)
191 {
192     // The Init() function is called when the selector needs to initialize
193     // a new tree or chain. Typically here the branch addresses and branch
194     // pointers of the tree will be set.
195     // It is normally not necessary to make changes to the generated
196     // code, but the routine can be extended by the user if needed.
197     // Init() will be called many times when running on PROOF
198     // (once per file to be processed).
199     // Set branch addresses and branch pointers
200     if (!tree) return;
201     fChain = tree;
202     fChain->SetMakeClass(1);
203     fChain->SetBranchAddress("adc", &adc, &b_adc);
204     fChain->SetBranchAddress("ampl", &ampl, &b_ampl);
205     fChain->SetBranchAddress("chip_id", &chip_id, &b_chip_id);
206     fChain->SetBranchAddress("fpga_id", &fpga_id, &b_fpga_id);
207     fChain->SetBranchAddress("module", &module, &b_module);
208     fChain->SetBranchAddress("chan_id", &chan_id, &b_chan_id);
209     fChain->SetBranchAddress("fem_id", &fem_id, &b_fem_id);
210     fChain->SetBranchAddress("bco", &bco, &b_bco);
211     fChain->SetBranchAddress("bco_full", &bco_full, &b_bco_full);
212     fChain->SetBranchAddress("event", &event, &b_event);
213     Notify();
214 }
215 Bool_t readtree::Notify()
216 {
217     // The Notify() function is called when a new file is opened. This
218     // can be either for a new TTree in a TChain or when when a new TTree
219     // is started when using PROOF. It is normally not necessary to make changes
220     // to the generated code, but the routine can be extended by the
221

```

```

222 // user if needed. The return value is currently not used.
223 return kTRUE;
224 }
225 void readtree::Show(Long64_t entry)
226 {
227 // Print contents of entry.
228 // If entry is not specified, print current entry
229 if (!fChain) return;
230 fChain->Show(entry);
231 }
232 Int_t readtree::Cut(Long64_t entry)
233 {
234 // This function may be called from Loop.
235 // returns 1 if entry is accepted.
236 // returns -1 otherwise.
237 return 1;
238 }
239 #endif // #ifdef readtree_cxx

```

Listing A.3 run_readtree.C

```

1 void run_readtree(const char *infile= "fphx_raw_20200215-large.root")
2 {
3 // gROOT->ProcessLine(".L readtree.c");
4 // const char *outfile="histo.root";
5 TString s_outfile(infile);
6 s_outfile.Prepend("histo");
7 TFile *f = TFile::Open(infile);
8 TTree *tree = (TTree*)f->Get("tree");
9 readtree t(tree, s_outfile.Data());
10 t.Loop();
11 t.end();
12 }

```

Listing A.4 plot_readtree2.C

```

1 {
2 int nhit_1[9];
3 int nhit_2[9];
4 for(int ii=1;ii<10;ii++){
5 nhit_1[ii]=0;
6 nhit_2[ii]=0;
7 }
8 TFile *rootfile = TFile::Open("histofphx_raw_20200215-large.root");
9 TCanvas *c1 = new TCanvas("c1", "energy_loss", 1000, 280);
10 c1->Divide(4,1);
11 TCanvas *c2 = new TCanvas("c2", "correlation_of_double_hits", 800, 590);
12 c2->Divide(3,2);
13 TCanvas *c3 = new TCanvas("c3", "module_difference", 1400, 1300);
14 c3->Divide(4,4);
15 TCanvas *c4 = new TCanvas("c4", "cosmic", 600, 590);
16 c4->Divide(3,2);
17 TCanvas *c5 = new TCanvas("c5", "bco_and_bco_full_intervals", 800, 300);
18 c5->Divide(3,1);
19 TCanvas *c6 = new TCanvas("c6", "energy_loss_per_strip_number", 1000, 600);
20 c6->Divide(4,2);
21 TCanvas *c7 = new TCanvas("c7", "module_difference", 800, 590);
22 c7->Divide(3,2);
23 TCanvas *c9 = new TCanvas("c9", "channel_difference_n3", 1200, 500);
24 c9->Divide(5,2);
25 TCanvas *c10 = new TCanvas("c10", "energy_loss", 500, 500);
26
27 c1->cd(1);//before event selection
28 Wadc->Draw("hist");
29 c1->cd(2);
30 singleV->Draw("hist");//before event selection
31 c1->cd(3);//before cluster adc
32 //SumAdc2->Draw("hist");
33 DAdc->Draw("hist");
34 SingleAdc->Draw("histsames");
35 TAdc->Draw("histsames");
36 c1->cd(4);//after cluster mV
37 SinglehitAdc2->Draw("hist");
38 SumDoublehitAdc2->Draw("histsames");
39 SumTriplehitAdc2->Draw("histsames");
40 c2->cd(1);
41 Adc_2hit->Draw("colz");
42 c2->cd(2);
43 chan_2hit->Draw("colz");
44 c2->cd(4);
45 NHITChip->Draw("colz");
46 c2->cd(5);
47 chan_1hit->Draw("colz");
48 c2->cd(6);
49 chan_1hit2->Draw();
50 c7->cd(1);//module difference
51 CHIPDIFF->Draw("colz");
52 c7->cd(2);

```

```

53 ELOSSDIFF->Draw("colz");
54 c7->cd(3);
55 ELOSSTRAN->Draw("colz");
56 c7->cd(4);
57 NCLS6->Draw("");
58 NCLS8->Draw("sames");
59 c7->cd(5);
60 NSTRIP6->Draw("");
61 NSTRIP8->Draw("sames");
62 c3->cd(1);
63 CHANDIFFSA1->Draw("hist");
64 c3->cd(2);
65 CHANDIFFSA2->Draw("hist");
66 c3->cd(3);
67 CHANDIFFSA3->Draw("hist");
68 c3->cd(4);
69 CHANDIFFSA4->Draw("hist");
70 c3->cd(5);
71 ELOSSDIFF1->Draw("colz");
72 c3->cd(6);
73 ELOSSDIFF2->Draw("colz");
74 c3->cd(7);
75 ELOSSDIFF3->Draw("colz");
76 c3->cd(8);
77 ELOSSDIFF4->Draw("colz");
78 c6->cd(1);
79 ELOSSTRAN1->Draw("colz");
80 c6->cd(2);
81 ELOSSTRAN2->Draw("colz");
82 c6->cd(3);
83 ELOSSTRAN3->Draw("colz");
84 c6->cd(4);
85 ELOSSTRAN4->Draw("colz");
86 c6->cd(5);
87 ELOSSCLS1_1->Draw("hist");
88 ELOSSCLS2_1->Draw("histsames");
89 c6->cd(6);
90 ELOSSCLS1_2->Draw("hist");
91 ELOSSCLS2_2->Draw("histsames");
92 c6->cd(7);
93 ELOSSCLS1_3->Draw("hist");
94 ELOSSCLS2_3->Draw("histsames");
95 c6->cd(8);
96 ELOSSCLS1_4->Draw("hist");
97 ELOSSCLS2_4->Draw("histsames");
98 c3->cd(9);
99 ELOSSCLS1_6_1->Draw("hist");
100 ELOSSCLS2_6_1->Draw("histsames");
101 c3->cd(10);
102 ELOSSCLS1_6_2->Draw("hist");
103 ELOSSCLS2_6_2->Draw("histsames");
104 c3->cd(11);
105 ELOSSCLS1_6_3->Draw("hist");
106 ELOSSCLS2_6_3->Draw("histsames");
107 c3->cd(12);
108 ELOSSCLS1_6_4->Draw("hist");
109 ELOSSCLS2_6_4->Draw("histsames");
110 c3->cd(13);
111 ELOSSCLS1_8_1->Draw("hist");
112 ELOSSCLS2_8_1->Draw("histsames");
113 c3->cd(14);
114 ELOSSCLS1_8_2->Draw("hist");
115 ELOSSCLS2_8_2->Draw("histsames");
116 c3->cd(15);
117 ELOSSCLS1_8_3->Draw("hist");
118 ELOSSCLS2_8_3->Draw("histsames");
119 c3->cd(16);
120 ELOSSCLS1_8_4->Draw("hist");
121 ELOSSCLS2_8_4->Draw("histsames");
122 c10->cd();
123 ReNhit->Draw("hist");
124 c9->cd(1);
125 ELOSSTRANS->Draw("colz");
126 c9->cd(2);
127 ELOSSCLS1_S->Draw("hist");
128 ELOSSCLS2_S->Draw("histsames");
129 c9->cd(3);
130 ELOSSCLS1_S->Draw("hist");
131 ELOSSCLS2_S->Draw("histsames");
132 c9->cd(4);
133 CHIPDIFFSAh->Draw("hist");
134 CHIPDIFFSAh->Fit("gaus","",",-4,11);
135 c9->cd(5);
136 CHANDIFFSAh->Draw("hist");
137 CHANDIFFSAh->Fit("gaus");
138 c9->cd(6);
139 ADCDIFF->Draw("colz");
140 c9->cd(7);
141 RECELOSS1->Draw("hist");
142 RECELOSS2->Draw("histsames");
143 RECELOSS3->Draw("histsames");
144 c9->cd(8);
145 CHANDIFFS->Draw("colz");
146 c9->cd(9);

```

```

147 ReNhit->Draw("hist");
148 gStyle->SetOptStat(100000011);
149 for(int ii=1;ii<10;ii++){
150     nhit_1[ii]= ELOSSCLS1_S->GetBinContent(ii);
151     nhit_2[ii]= ELOSSCLS2_S->GetBinContent(ii);
152 }
153 int sum1=0;
154 int sum2=0;
155 for(int ii=1;ii<10;ii++){
156     cout<<nhit_1[ii]<<" ,";
157     sum1+=nhit_1[ii];
158 }
159 cout<<"_sum="<<sum1<<endl;
160 for(int ii=1;ii<10;ii++){
161     cout<<sqrt(nhit_1[ii])<<" ,";
162 }
163 cout<<"_<<endl;
164 for(int ii=1;ii<10;ii++){
165     cout<<nhit_2[ii]<<" ,";
166     sum2+=nhit_2[ii];
167 }
168 cout<<"_sum="<<sum2<<endl;
169 for(int ii=1;ii<10;ii++){
170     cout<<sqrt(nhit_2[ii])<<" ,";
171 }
172 cout<<"_<<endl;
173 c4->cd(1);//number of hits per event
174 hnhits->Draw();
175 c4->cd(2);//number of clusters per event
176 nclsnChip->Draw();
177 c4->cd(3);//multiple cluster hit chip
178 multiclscchip->Draw("colz");
179 c4->cd(4);
180 NHITChipmV->Draw("hist");
181 c4->cd(5);
182 adc_0hit->Draw("colz");
183 c4->cd(6);
184 m_noiseAdc->Draw("hist");
185 c5->cd(1);//bco andbco interval
186 bco_interval->Draw();
187 c5->cd(2);
188 bcofull_interval->Draw();
189 c5->cd(3);
190 adc_bcofull->Draw("hist");
191 gStyle->SetOptStat(100000010);
192 c1->Modified();
193 c2->Modified();
194 c3->Modified();
195 c4->Modified();
196 c5->Modified();
197 c6->Modified();
198 c7->Modified();
199 c9->Modified();
200 }

```

付録 B

MC を用いた宇宙線測定シミュレーション

B.1 モンテカルロ (MC) シミュレーション

モンテカルロ (Monte Carlo, MC) シミュレーションは乱数を利用する確率的シミュレーションの総称である。本プログラムでは、宇宙線のシンチレーションカウンター上の入射座標と極座標、エネルギー損失のランダウ分布を乱数で発生させた。

B.1.1 シミュレーションの流れ

本シミュレーションでは、まず宇宙線測定で得られるイベントデータを MC で作成し、その後宇宙線測定と同じ解析プログラムを実行した。

測定で得られるデータの作成

1. 宇宙線がシリコンセンサーを通過
 - 1) 宇宙線 μ 粒子を MC で発生させる。
 - 2) 上下シンチレータおよびシリコンセンサーを通過させる。
2. シリコンセンサー中でエネルギー損失
 - 1) 宇宙線 μ 粒子が通過したシリコンセンサー上面の座標からチップ番号とチャンネル番号を取得する。
 - 2) シリコンセンサー中の通過ストリップ数や距離、通過チップ番号やチャンネル番号を取得する。
 - 3) ストリップごとにエネルギー損失を計算する。
3. 読み出し回路中で損失エネルギーが ADC に変換
 - 1) 損失エネルギー [eV] を電荷 [C] に変換する。

- 2) ゲイン (増幅係数) を用い、電荷 [C] を電圧 [mV] に変換する。
- 3) 電圧値 [mV] にオフセット [mV] を足す。
- 4) 損失エネルギーを ADC で 8 つのビンに分ける。

測定と同じ解析プログラムを実行

- 1) ヒットストリップをクラスター化しまとめる。
- 2) クラスターの ADC 分布を測定する。

B.2 シミュレーションプログラムの実行方法

宇宙線解析同様、ROOT (ルート) を用いて行った。付録 simulation.c ファイルを所定の箇所にいれ実行すれば測定可能。ゲイン値、オフセットを変更する際は l.408 と l.409 の gain と offset の値を変更、測定時間を変更する際は l.595 を変更し実行すればよい。

B.3 シミュレーションプログラムのコード

Listing B.1 simulation.c

```

1
2 // clustered hits histograms
3 // This is one of the files to get clustered hits hisotgram.
4 // You can draw dac amplitude(mV) histograms, and N hits per event histogram on a Canvas.
5 //
6 ///////////////////////////////////////////////////////////////////
7 #include <TStyle.h>
8 #include <TCanvas.h>
9 #include <TH1.h>
10 #include <TH2.h>
11 #include "Ttuple.h"
12 #include "TFile.h"
13 #include <TMath.h>
14 #include <TRandom.h>
15 #include <TVector3.h>
16 #include <iostream>
17 #include <iomanip>
18 #include <fstream>
19 #include <cstdio>
20 #include "math.h"
21 #include <algorithm>
22 using namespace std;
23 double energy(double x){
24     double Z = 14.;
25     double A = 28.0855;
26     double re = 2.817*TMath::Power(10.,-13.); //cm
27     double density = 2.33;
28     double beta = 0.995428; //+-0.00379 //g cm-3
29     double Na = 6.02214*TMath::Power(10.,23.); //mol-1
30     double mec2 = 0.511; //MeVc^2
31     double length = x;
32     double gusai = 0.307075/2.*(Z/A)*(x*0.0001*density/(beta*beta));
33     double M = 105.658;
34     double Wmax = (2.*mec2*(beta*beta/(1.-beta*beta)))/(1.+2.*(mec2/M)*TMath::Power(1.+(beta*beta/(1.-beta*beta)),1./2.)+(
35         mec2/M*(mec2/M));
36     double k2 = gusai/Wmax;
37     double gamma2 = 1./(1.-beta*beta);
38     double sigma = TMath::Power(gusai*gusai*(1.-beta*beta)/(k2*2.),1./2.);
39     double deltamp = gusai*(TMath::Log(2.*mec2*beta*beta*gamma2/0.000173)+TMath::Log(gusai/0.000173)+0.2-beta*beta-0.14);
40     double dEdx = gRandom->Landau(deltamp/(0.0001*x*density),2.*gusai);
41     return dEdx;
42 }
43 double energyloss(double gain, double x){
44     double mV = energy(x)*x*1000000*0.0001*1.6*gain*2.33*0.0001/3.67; //energy loss per strip after channel serection

```

```

44     return mV;
45 }
46 double mV_adc(int tmp_event, int tmp_chip, int Ns, double *x,int *chan, double *SmV, int* Event_Ret, int* Chip_Ret,double *x_Ret,
47             int *Schan_Ret,double *SmV_Ret,int* Adc_Ret){
48     float mV[9] = {270., 300., 450., 602., 750., 902., 1050., 1202., 1234.};
49     int Nhit=0;
50     for(int i=0;i<Ns;i++){
51         for(int ii=0;ii<8;ii++){
52             if( mV[ii]<=SmV[i] && SmV[i]<mV[ii+1]){
53                 Chip_Ret[Nhit]=tmp_chip;
54                 Event_Ret[Nhit]=tmp_event;
55                 SmV_Ret[Nhit]=SmV[i];
56                 Adc_Ret[Nhit]=ii;
57                 x_Ret[Nhit]=x[i];
58                 Schan_Ret[Nhit]=chan[i];
59                 Nhit++;
60             }
61         }
62     }
63     return Nhit;/** Adc;
64 }
65 double adc_mV(int hitAdc){
66     double Dac[9] = {15., 23., 60., 98., 135., 173., 210., 248., 256.};
67     double mV = ((Dac[hitAdc+1]*4.+210.)+(Dac[hitAdc]*4.+210.))/2.-2.;
68     return mV;
69 }
70 double mV_adc2(double SmV){
71     float mV[9] = {270, 300, 450, 602, 750, 902, 1050, 1202, 1234};
72     int Adc;
73     for(int ii=0;ii<8;ii++){
74         if( mV[ii]<=SmV && SmV<mV[ii+1]){
75             Adc=ii;
76         }
77     }
78     return Adc;/** Adc;
79 }
80 double weight(int hitAdc){
81     float Dac[9] = {15, 23, 60, 98, 135, 173, 210, 248, 256};
82     float weight[8];
83     float w=1;
84     float tmpw = Dac[1]-Dac[0];
85     for(int i=0; i<8; i++){
86         weight[i] = (Dac[i+1]-Dac[i])/tmpw;
87     }
88     w = 1./weight[hitAdc];
89     return w;
90 }
91 double mV_weight(int hitAdc){
92     float mV[9] = {270, 302, 450, 602, 750, 902, 1050, 1202, 1234};
93     float weight[8];
94     float w=1;
95     float tmpw = mV[1]-mV[0];
96     for(int i=0; i<8; i++){
97         weight[i] = (mV[i+1]-mV[i])/tmpw;
98     }
99     w = 1./weight[hitAdc];
100    return w;
101 }
102 double mV_weight2(double hitmV){
103     float mV[9] = {270., 302., 450., 602., 750., 902., 1050., 1202., 1234.};
104     float weight[8];
105     float w=1;
106     float tmpw = mV[1]-mV[0];
107     for(int i=0; i<8; i++){
108         weight[i] = (mV[i+1]-mV[i])/tmpw;
109     }
110     for(int i=0;i<8;i++){
111         if(hitmV>=mV[i]&&hitmV<mV[i+1]){
112             //tmp = i;
113             w = 1./weight[i];
114         }
115     }
116     return w;
117 }
118 class Mu
119 {
120 private:
121     int m_Nevent;
122     double m_x_silicon; //hit point on top plane
123     double m_y_silicon;
124     double m_z_silicon;
125     double m_x_silicon_f; //hit point on each plane
126     double m_y_silicon_f;
127     double m_z_silicon_f;
128     double m_x_scinti1; //hit point on top scinti
129     double m_y_scinti1;
130     double m_z_scinti1;
131     double m_x_scinti2; //hit point on bottom scinti
132     double m_y_scinti2;
133     double m_z_scinti2;
134     double m_theta;
135     double m_phi;
136     double m_length; //mu length in silicon
137     double m_yChip[28];

```

```

137 double m_xChip[2];
138 double m_dx_i;
139 int m_Chip;
140 int m_Chan;
141 TVector3 m_v_si;
142 public:
143 Mu(int nevent)
144 {
145     m_Nevent = nevent;
146     generateChip();
147 }
148 virtual ~Mu(){}
149 int GetNevent() {return m_Nevent;}
150 double GetX() {return m_x_silicon;}
151 double GetY() {return m_y_silicon;}
152 double GetZ() {return m_z_silicon;}
153 double GetXf() {return m_x_silicon_f;}
154 double GetYf() {return m_y_silicon_f;}
155 double GetZf() {return m_z_silicon_f;}
156 double GetXsc1() {return m_x_scint1;}
157 double GetYsc1() {return m_y_scint1;}
158 double GetZsc1() {return m_z_scint1;}
159 double GetXsc2() {return m_x_scint2;}
160 double GetYsc2() {return m_y_scint2;}
161 double GetZsc2() {return m_z_scint2;}
162 double GetPhi() {return m_phi;}
163 double GetTheta() {return m_theta;}
164 double GetLength() {return m_length;}
165 double* GetxChipArray() {return m_xChip;}
166 double* GetyChipArray() {return m_yChip;}
167 double GetxChip(int i) {return m_xChip[i];}
168 double GetyChip(int i) {return m_yChip[i];}
169 int GetChip() {return m_Chip;}
170 int GetChan() {return m_Chan;}
171 double GetDX() {return m_dx_i;}
172 void generateChip(){
173     m_yChip[0] = -114000.;
174     m_yChip[14] = -114000.;
175     for(int i=1;i<6;i++){
176         m_yChip[i] = m_yChip[0]+i*20.*1000.;
177         m_yChip[i+14] = m_yChip[14]+i*20.*1000.;
178     }
179     for(int i=1;i<9;i++){
180         m_yChip[i+5+14] = m_yChip[19]+i*16.*1000.;
181         m_yChip[i+5] = m_yChip[5]+i*16.*1000.;
182     }
183     m_xChip[0] = -9.984*1000.;
184     m_xChip[1] = 9.984*1000.;
185 };
186 void checkchipchan(){
187     for(int i=0;i<13;i++){
188         if(GetyChip(i)<=GetY()&&GetyChip(i+1)>GetY()){
189             if(GetX(<0.){
190                 m_Chip = 13+i+1;
191                 m_dx_i = -fmod(GetX(),78.);
192                 int tmp1 = 1;
193                 if(m_dx_i==0.)tmp1= 0;
194                 m_Chan = 128-(-GetX()/78+tmp1)+1; //channel number
195             }
196             if(GetX(>=0.){
197                 m_Chip = i+1;
198                 m_dx_i = fmod(GetX(),78.);
199                 int tmp1 = 1;
200                 if(m_dx_i==0.)tmp1= 0;
201                 m_Chan = 128-(GetX()/78+tmp1)+1; //channel number
202             }
203         }
204     }
205 };
206 int planepoint(double X, double Y,double Z, int n_vec){
207     int hit = 0;
208     TVector3 v_sc1(GetXsc1(),GetYsc1(),GetZsc1());
209     TVector3 v_sc2(GetXsc2(),GetYsc2(),GetZsc2());
210     TVector3 v_mu = v_sc2 - v_sc1;
211     TVector3 v_ex(1.,0.,0.);
212     TVector3 v_ey(0.,1.,0.);
213     TVector3 v_ez(0.,0.,1.);
214     TVector3 v_n = v_ex.Cross(v_ey); //gaiseki
215     if(n_vec==1)v_n = v_ex.Cross(v_ey); //gaiseki
216     if(n_vec==2)v_n = v_ey.Cross(v_ez); //gaiseki
217     if(n_vec==3)v_n = v_ez.Cross(v_ex); //gaiseki
218     TVector3 v_f(X, Y, Z); //one of the points on plane
219     double d = -v_n*v_f;
220     double t = -(v_sc1*v_n+d)/(v_mu*v_n);
221     m_x_silicon_f = v_sc1.X()+t*v_mu.X(); //after rotateing
222     m_y_silicon_f = v_sc1.Y()+t*v_mu.Y();
223     m_z_silicon_f = v_sc1.Z()+t*v_mu.Z();
224     double xstart;
225     int chip = GetChip();
226     if(GetChip(<14)xstart = 0.;
227     if(GetChip(>13)xstart = -9984.;
228     if(m_x_silicon_f>=xstart&&m_x_silicon_f<=xstart+9984.)hit++;
229     if(chip<14&&m_y_silicon_f>=GetYChip(chip-1)&&m_y_silicon_f<=GetYChip(chip))hit++;
230     if(chip>13&&m_y_silicon_f>=GetYChip(chip)&&m_y_silicon_f<=GetYChip(chip+1))hit++;

```

```

231     if(m_z_silicon_f>=-320.&&m_z_silicon_f<=0.)hit++;
232     return hit;
233 };
234 void generateMu(){
235     m_x_silicon = 0.;
236     m_y_silicon = 0.;
237     m_z_silicon = 0.;
238     m_x_scinti1 = 0.;
239     m_y_scinti1 = 0.;
240     m_z_scinti1 = 0.;
241     m_x_scinti2 = 0.;
242     m_y_scinti2 = 0.;
243     m_z_scinti2 = 0.;
244     m_theta = 0.;
245     m_phi = 0.;
246     m_Chip = 0;
247     m_Chan = 0;
248     int nMu=0;
249     int hitsc2=0;
250     double x_scinti1;
251     double y_scinti1;
252     double theta ;
253     double phi ;
254     double z_scinti1;
255     double z_scinti2;
256     double tmpphi;
257     double x_scinti2 ;
258     double y_scinti2 ;
259     double x_silicon ;
260     double y_silicon ;
261     double z_silicon = 0.;
262     double x_silicon_f = 0.;
263     double y_silicon_f = 0.;
264     double z_silicon_f = 0.;
265     double PI=3.14159265358979323846;
266     while(nMu<1){
267         x_scinti1 = gRandom->Rndm()*24000.-12000.;
268         y_scinti1 = gRandom->Rndm()*231000.-165500.;
269         theta = TMath::ACos(gRandom->Rndm());
270         tmpphi = gRandom->Rndm()*PI*2.;
271         z_scinti1 = 33000.;
272         z_scinti2 = -29000.;
273         m_phi = tmpphi;
274         m_theta = theta;
275         x_scinti2 = x_scinti1 - (-z_scinti2+z_scinti1)*TMath::Tan(theta)*TMath::Sin(tmpphi);
276         y_scinti2 = y_scinti1 - (-z_scinti2+z_scinti1)*TMath::Tan(theta)*TMath::Cos(tmpphi);
277         if(x_scinti2>=-12000.&&x_scinti2<=12000.&&y_scinti2>=-165500.&&y_scinti2<=165500.){
278             hitsc2++;
279             m_x_scinti1 = x_scinti1;
280             m_y_scinti1 = y_scinti1;
281             m_z_scinti1 = z_scinti1;
282             m_x_scinti2 = x_scinti2;
283             m_y_scinti2 = y_scinti2;
284             m_z_scinti2 = z_scinti2;
285             x_silicon = x_scinti1 - (z_scinti1)*TMath::Tan(theta)*TMath::Sin(tmpphi);
286             y_silicon = y_scinti1 - (z_scinti1)*TMath::Tan(theta)*TMath::Cos(tmpphi);
287             z_silicon = 0.;
288             if(x_silicon>=-9984.&&x_silicon<=9984.&&y_silicon>=-114000.&&y_silicon<=114000.){
289                 int n_vec = 1; //x-y plane
290                 int Hit_f1;//top plane
291                 int Hit_f2;//top plane
292                 nMu++;
293                 m_x_silicon = x_silicon;
294                 m_y_silicon = y_silicon;
295                 m_z_silicon = z_silicon;
296                 checkchipchan();
297                 Hit_f1=0;
298                 Hit_f=0;
299                 n_vec = 1; //x-y plane
300                 Hit_f1 = planepoint(0., 0., -320.,n_vec);//bottom plane
301                 if(Hit_f1==3){
302                     x_silicon_f = GetXf();
303                     y_silicon_f = GetYf();
304                     z_silicon_f = GetZf();
305                 }
306                 Hit_f=0;
307                 n_vec = 2; //y-z plane
308                 Hit_f = planepoint(0., 0., 0.,n_vec);
309                 if(Hit_f1==3&&Hit_f==3){
310                     x_silicon_f = GetXf();
311                     y_silicon_f = GetYf();
312                     z_silicon_f = GetZf();
313                 }
314                 Hit_f=0;
315                 n_vec = 3; //z-x plane
316                 if(GetChip()<14)Hit_f = planepoint(0., GetChip(GetChip()-1), 0.,n_vec);
317                 if(GetChip()>13)Hit_f = planepoint(0., GetChip(GetChip()+1), 0.,n_vec);
318                 if(Hit_f1==3&&Hit_f==3){
319                     x_silicon_f = GetXf();
320                     y_silicon_f = GetYf();
321                     z_silicon_f = GetZf();
322                 }
323                 Hit_f=0;
324                 n_vec = 3; //z-x plane

```

```

325     Hit_f = planepoint(0., GetyChip(GetChip()), 0.,n_vec);
326     if(Hit_f1!=3&&Hit_f==3){
327         x_silicon_f = GetXf();
328         y_silicon_f = GetYf();
329         z_silicon_f = GetZf();
330     }
331     Hit_f=0;
332     n_vec = 2; //y-z plane
333     Hit_f = planepoint(-9984.,0., 0.,n_vec);
334     if(Hit_f1!=3&&Hit_f==3){
335         x_silicon_f = GetXf();
336         y_silicon_f = GetYf();
337         z_silicon_f = GetZf();
338     }
339     Hit_f=0;
340     n_vec = 2; //y-z plane
341     Hit_f = planepoint(9984.,0., 0.,n_vec);
342     if(Hit_f1!=3&&Hit_f==3){
343         x_silicon_f = GetXf();
344         y_silicon_f = GetYf();
345         z_silicon_f = GetZf();
346     }
347     Hit_f=0;
348     m_length = TMath::Sqrt( TMath::Power(x_silicon_f-m_x_silicon,2.)
349                             +TMath::Power(y_silicon_f-m_y_silicon,2.)
350                             +TMath::Power(z_silicon_f-m_z_silicon,2.));
351 }
352 }
353 }
354 };
355 };
356 class GlauberCalculation
357 {
358 private:
359     Mu *m_Si;
360     double m_x[128];
361     int m_nhit;
362     int m_nhitorg;
363     int m_adc[128];
364     int m_chip[128];
365     int m_chan[128];
366     int m_event[128];
367     double m_Edep[128];
368     double m_SmV[128];
369 public:
370     GlauberCalculation(){}
371     virtual ~GlauberCalculation(){}
372     void operator()(Mu* Si1){
373         calculate(Si1);
374     }
375     void calculate(Mu* Si1){
376         m_nhit = 0;
377         m_Si = Si1;
378         int tmp_event = m_Si->GetNevent();
379         for(int i=0;i<128;i++){
380             m_event [i] = 0;
381             m_adc [i] = 0;
382             m_chip [i] = 0;
383             m_chan [i] = 0;
384             m_Edep [i] = 0;
385             m_SmV [i] = 0;
386         }
387         double xSi = m_Si->GetX();
388         double ySi = m_Si->GetY();
389         double zSi = m_Si->GetZ();
390         double theta = m_Si->GetTheta();
391         double phi = m_Si->GetPhi();
392         double* yChip = m_Si->GetyChipArray();
393         double* xChip = m_Si->GetxChipArray();
394         // check chip number
395         int tmp_chip = m_Si->GetChip();
396         int tmp_chan = m_Si->GetChan();
397         double dx_i = m_Si->GetDX();
398         int tmpchan=0;
399         if(phi<=TMath::Pi()){
400             tmpchan = -1;
401         }
402         if(phi>TMath::Pi()){
403             tmpchan = 1;
404         }
405         double length = m_Si->GetLength();
406         double new78 = 78./(TMath::Abs(TMath::Sin(phi)*TMath::Sin(theta)));
407         double totalEdx = energy(length);
408         double gain = 88.;
409         double offset = 198.;
410         int tmp2 = 0;
411         double tmp3 = 0.;
412         double tmp5 = 0.;
413         int Nhit = 0;
414         int Schan[1664];
415         int Adc[1664];
416         double x[1664];
417         int Ns = 0;
418         for(int i=0;i<1664;i++){

```

```

419     Schan[i]=-1;
420     Adc[i]=-1;
421     x[i]=-1.;
422 }
423 // *****length per strip*****
424 if(78.-dx_i>0.){
425     if(tmpchan==-1&&tmp_chip<14) x[0] = dx_i/(TMath::Abs(TMath::Sin(phi))*TMath::Sin(theta));
426     if(tmpchan==-1&&tmp_chip>13) x[0] = (78.-dx_i)/(TMath::Abs(TMath::Sin(phi))*TMath::Sin(theta));
427     if(tmpchan==1&&tmp_chip>13) x[0] = dx_i/(TMath::Abs(TMath::Sin(phi))*TMath::Sin(theta));
428     if(tmpchan==1&&tmp_chip<14) x[0] = (78.-dx_i)/(TMath::Abs(TMath::Sin(phi))*TMath::Sin(theta));
429     if(length<=x[0]){
430         x[0]=length;
431         Ns=1;
432     }
433     else if(length>x[0]){
434         tmp3 = length-x[0];
435         tmp2 = tmp3/new78;
436         tmp5 = fmod(tmp3,new78);
437         if(tmp5!=0.){
438             x[tmp2+1] = tmp5;
439             Ns =tmp2+2;
440         }
441         else if(tmp5==0.)Ns = tmp2+1;
442         if(tmp2>0.){
443             for(int iii=0;iii<tmp2;iii++){
444                 x[iii+1]=(tmp3-tmp5)/tmp2;
445             }
446         }
447     }
448 }
449 else if(78.-dx_i==0.){
450     tmp2 = length/new78;
451     tmp5 = fmod(length,new78);
452     if(tmp5!=0.){
453         x[tmp2] = tmp5;
454         Ns = tmp2+1;
455     }
456     else if(tmp5==0.)Ns = tmp2;
457     if(tmp2>0.){
458         for(int iii=0;iii<tmp2;iii++){
459             x[iii]=(length-tmp5)/tmp2;
460         }
461     }
462 }
463 Schan[0]=tmp_chan;
464 if(Schan[0]==127)Ns=1;
465 if(tmpchan==1&&tmp_chip<14){
466     for(int ii=1;ii<Ns;ii++){
467         Schan[ii]=Schan[ii-1]-1;
468         if(Ns>128)cout<<"x["<<ii<<"]="<<x[ii]<<"_chan="<<Schan[ii]<<endl;
469     }
470 }
471 if(tmpchan==1&&tmp_chip>13){
472     for(int ii=1;ii<Ns;ii++){
473         Schan[ii]=Schan[ii-1]+1;
474         if(Ns>128)cout<<"x["<<ii<<"]="<<x[ii]<<"_chan="<<Schan[ii]<<endl;
475     }
476 }
477 if(tmpchan==-1&&tmp_chip<14){
478     for(int ii=1;ii<Ns;ii++){
479         Schan[ii]=Schan[ii-1]+1;
480         if(Ns>128)cout<<"x["<<ii<<"]="<<x[ii]<<"_chan="<<Schan[ii]<<endl;
481     }
482 }
483 if(tmpchan==-1&&tmp_chip>13){
484     for(int ii=1;ii<Ns;ii++){
485         Schan[ii]=Schan[ii-1]-1;
486         if(Ns>128)cout<<"x["<<ii<<"]="<<x[ii]<<"_chan="<<Schan[ii]<<endl;
487     }
488 }
489 int Nhit_Re=0; // check channel number & number of strips after channel selection
490 double new_x[128];
491 int new_chan[128];
492 for(int i=0;i<Ns;i++){
493     if(Schan[i]>=0&&Schan[i]<=127){
494         new_x[Nhit_Re]=x[i];
495         new_chan[Nhit_Re]=Schan[i];
496         Nhit_Re++;
497     }
498 }
499 for(int i=0;i<Nhit_Re;i++){
500     m_SmV[i] = energyloss(gain,new_x[i])+offset; //energy loss per strip after channel selection
501 }
502 m_nhit = mV_adc(tmp_event, tmp_chip, Nhit_Re,new_x,new_chan,m_SmV,m_event,m_chip,m_x,m_chan, m_Edep, m_adc);//zpos, chan,
503 ADC, Eloss
504 m_nhitorg = Nhit_Re;
505 for(int i=0;i<m_nhit;i++){
506 }
507 }
508 int GetNhitorg() {return m_nhitorg;}
509 int GetNhit () {return m_nhit;}
510 int GetChan (int i) {return m_chan[i];}
511 int GetChip (int i) {return m_chip[i];}

```

```

512 int GetAdc (int i) {return m_adc[i];}
513 double GetEdep (int i) {return m_Edep[i];}
514 int GetEvent(int i) {return m_event[i];}
515 int *GetChanArray() {return m_chan;}
516 int *GetChipArray() {return m_chip;}
517 int *GetAdcArray() {return m_adc;}
518 double *GetEdepArray() {return m_Edep;}
519 double *GetSmVArray() {return m_SmV;}
520 int *GetEventArray(){return m_event;}
521 };
522 void simulation(){
523     TH1F* hnhits ;
524     TH1F* nclsnChip ;
525     TH1F* SingleAdc ;
526     TH1F* DAdc ;
527     TH1F* TAdc ;
528     TH2F* multiclscip ;
529     TH1F* SumDoublehitAdc2 ;
530     TH1F* SinglehitAdc2 ;
531     TH1F* SumTriplehitAdc2 ;
532     TH2F* Adc_2hit ;
533     TH2F* chan_2hit ;
534     TH1F* ELOSScls1 ;
535     TH1F* ELOSScls2 ;
536     TH1F* ELOSScls3 ;
537     TH1F* ELOSSORG1 ;
538     TH1F* ELOSSORG2 ;
539     TH1F* ELOSSORG3 ;
540     TH2F* HITCORE ;
541     TH2F* ELOSSchange1 ;
542     TH2F* ELOSSchange2 ;
543     TH2F* ELOSSchange3 ;
544     TH1F* KAIELOSSC1 ;
545     TH1F* KAIELOSSC2 ;
546     TH1F* KAIELOSSS1 ;
547     TH1F* KAIELOSSS2 ;
548     int m=9;
549     double xbins[] = {0, 270, 302, 450, 602, 750, 902, 1050, 1202, 1234};
550     hnhits = new TH1F("hnhits","N_hits_per_event",5,0,5);
551     SingleAdc = new TH1F("SingleAdc","energy_loss_before_clustering",m,xbins);
552     DAdc = new TH1F("DAdc", "energy_loss_before_clustering",m,xbins);
553     TAdc = new TH1F("TAdc", "energy_loss_before_clustering",m,xbins);
554     SingleAdc->SetLineColor(kRed);
555     DAdc->SetLineColor(kBlue);
556     TAdc->SetLineColor(kGreen);
557     multiclscip = new TH2F("multiclscip","chip_vs_channel_in_multiple_clusters_event;chan_id;chip_id",128,0,128,26,0,26);
558     nclsnChip = new TH1F("nclsnChip","N_clusters_per_event;number_of_clusters",5,0,5);
559     SumDoublehitAdc2 = new TH1F("SumDoublehitAdc2","energy_loss_per_cluster;mV",m,xbins);
560     SinglehitAdc2 = new TH1F("SinglehitAdc2","energy_loss_per_cluster;mV",m,xbins);
561     SumTriplehitAdc2 = new TH1F("SumTriplehitAdc2","energy_loss_per_cluster;mV",m,xbins);
562     Adc_2hit = new TH2F("Adc_2hit","adc_correlation_of_double_hits;ch1_adc;ch2_adc",12,-2,10,12,-2,10.);
563     chan_2hit = new TH2F("chan_2hit","channel_correlation_of_double_hits;ch1_channel;ch2_channel",130,0,130,130,0,130.);
564     HITCORE = new TH2F("HITCORE","N_strips_(clustered_vs_original);clustered_strips;original_strips",5,0,5,5,0,5.);
565     ELOSScls1 = new TH1F("ELOSScls1","original_energy_loss_(clusterd_hit_number=1);mV",50,0,1234.);
566     ELOSScls2 = new TH1F("ELOSScls2","original_energy_loss_(clusterd_hit_number=2);mV",50,0,1234.);
567     ELOSScls3 = new TH1F("ELOSScls3","original_energy_loss_(clusterd_hit_number=3);mV",50,0,1234.);
568     ELOSSORG1 = new TH1F("ELOSSORG1","original_energy_loss_(original_hit_number=1);mV",50,0,1234.);
569     ELOSSORG2 = new TH1F("ELOSSORG2","original_energy_loss_(original_hit_number=2);mV",50,0,1234.);
570     ELOSSORG3 = new TH1F("ELOSSORG3","original_energy_loss_(original_hit_number=3);mV",50,0,1234.);
571     ELOSSchange1 = new TH2F("ELOSSchange1","energy_loss_difference_per_clustered_1strip;clusterd_energy_loss_[mV];original_energy_loss_[mV]",m,xbins,m,xbins);
572     ELOSSchange2 = new TH2F("ELOSSchange2","energy_loss_difference_per_clustered_2strips;clusterd_energy_loss_[mV];original_energy_loss_[mV]",m,xbins,m,xbins);
573     ELOSSchange3 = new TH2F("ELOSSchange3","energy_loss_difference_per_clustered_3strips;clusterd_energy_loss_[mV];original_energy_loss_[mV]",m,xbins,m,xbins);
574     KAIELOSSC1 = new TH1F("KAIELOSSC1","energy_loss_(simulation_and_cosmic);mV",m,xbins);
575     KAIELOSSC2 = new TH1F("KAIELOSSC2","energy_loss_(simulation_and_cosmic);mV",m,xbins);
576     KAIELOSSS1 = new TH1F("KAIELOSSS1","energy_loss_(simulation_and_cosmic);mV",m,xbins);
577     KAIELOSSS2 = new TH1F("KAIELOSSS2","energy_loss_(simulation_and_cosmic);mV",m,xbins);
578     SumDoublehitAdc2 ->SetLineColor(kBlue);
579     SinglehitAdc2 ->SetLineColor(kRed);
580     SumTriplehitAdc2 ->SetLineColor(kGreen);
581     ELOSScls1 ->SetLineColor(kRed);
582     ELOSScls2 ->SetLineColor(kBlue);
583     ELOSScls3 ->SetLineColor(kGreen);
584     ELOSSORG1 ->SetLineColor(kRed);
585     ELOSSORG2 ->SetLineColor(kBlue);
586     ELOSSORG3 ->SetLineColor(kGreen);
587     KAIELOSSC1 ->SetLineColor(kRed);
588     KAIELOSSC2 ->SetLineColor(kBlue);
589     KAIELOSSS1 ->SetLineColor(kOrange);
590     KAIELOSSS2 ->SetLineColor(kGreen);
591     gRandom->SetSeed();
592     double Vchip = 9984.*(16000.*16.+20000.*10.); //26chip, micrometer
593     double Hchip = 320.; //micrometer
594     double Nevent = Vchip/100000000.; //26chips, N event per minute
595     double event = 60.*10.*Nevent; //26chips, N event per 10 hours
596     for(int nevent = 0.; nevent<event; nevent++){ //N particle come
597         Mu mu1(nevent);
598         mu1.generateMu();
599         GlauberCalculation glauber;
600         glauber.calculate(&mu1);
601         double lengthorg = mu1.GetLength();
602         double elossorg = energyloss(90., lengthorg);

```



```

603 int hitorg = glauber.GetNhitorg();
604 int nhit = glauber.GetNhit();
605 int* chipArray = glauber.GetChipArray();
606 int* chanArray = glauber.GetChanArray();
607 int* adcArray = glauber.GetAdcArray();
608 int* eventArray = glauber.GetEventArray();
609 double* EdepArray = glauber.GetEdepArray();
610 double* SmVArray = glauber.GetSmVArray();
611 double summV_Ret[128];
612 int Nhits_Ret[128];
613 int chan_Ret[128];
614 int chip_Ret[128];
615 double SUMORG=0;
616 for(int i=0;i<hitorg;i++){
617     if(hitorg==1){ELOSSORG1->Fill(SmVArray[i], mV_weight2(SmVArray[i]));}
618     if(hitorg==2){ELOSSORG2->Fill(SmVArray[i], mV_weight2(SmVArray[i]));}
619     if(hitorg==3){ELOSSORG3->Fill(SmVArray[i], mV_weight2(SmVArray[i]));}
620     SUMORG+=SmVArray[i];
621 }
622 double SUMEDEP=0.;
623 for(int i=0;i<nhit;i++){
624     SUMEDEP+=EdepArray[i];
625 }
626 //process_hits
627 int hitChip[27][800];
628 int hitChan[27][800];
629 int hitAdc [27][800];
630 int hitEvent[27][800];
631 int nchip=0;
632 int nHitChip[27];
633 for(int i=0;i<27;i++){
634     nHitChip[i] = 0;
635 }
636 int tmp1, tmp2, tmp3, tmp4, tmp5, tmp6;
637 int ii=0;
638 for(int ihit=0; ihit<nhit; ihit++){
639     int ichip = chipArray[ihit];
640     ii = nHitChip[ichip];
641     nHitChip[ichip]++;
642     hitChip[ichip][ii] = chipArray[ihit];
643     hitChan[ichip][ii] = chanArray[ihit];
644     hitAdc [ichip][ii] = adcArray[ihit];
645     hitEvent[ichip][ii] = eventArray[ihit];
646 }
647 double nhit_1[128], nhit_2[128], nhit_3[128];
648 for(int ii=0; ii<128;ii++){
649     nhit_1[ii]=0.;
650     nhit_2[ii]=0.;
651     nhit_3[ii]=0.;
652 }
653 double nhit_adc1[128], nhit_adc2[128], nhit_adc3[128];
654 for(int ii=0; ii<128;ii++){
655     nhit_adc1[ii]=0.;
656     nhit_adc2[ii]=0.;
657     nhit_adc3[ii]=0.;
658 }
659 // sort channel order//////////
660 for(int ichip=0; ichip<26; ichip++){
661     if(nHitChip[ichip]>0){
662         for(int ihit=0; ihit<nHitChip[ichip]; ihit++){
663             for(int jhit=ihit+1;jhit<nHitChip[ichip];jhit++){
664                 if(hitChan[ichip][ihit]>hitChan[ichip][jhit]){
665                     tmp1 = hitChan[ichip][ihit];
666                     tmp2 = hitChip[ichip][ihit];
667                     tmp3 = hitAdc[ichip][ihit];
668                     tmp4 = hitEvent[ichip][ihit];
669                     hitChan[ichip][ihit] = hitChan[ichip][jhit];
670                     hitChip[ichip][ihit] = hitChip[ichip][jhit];
671                     hitAdc[ichip][ihit] = hitAdc[ichip][jhit];
672                     hitEvent[ichip][ihit] = hitEvent[ichip][jhit];
673                     hitChan[ichip][jhit] = tmp1;
674                     hitChip[ichip][jhit] = tmp2;
675                     hitAdc[ichip][jhit] = tmp3;
676                     hitEvent[ichip][jhit] = tmp4;
677                 }
678             }
679         }
680     }
681 }
682 for(int ichip=0; ichip<27; ichip++){
683     if(nHitChip[ichip]>1){
684         int tmpchip[26];
685         int tmpchan[128];
686         for(int i=0;i<127;i++)tmpchan[i]=-1;
687         for(int i=0;i<26;i++)tmpchip[i]=-1;
688         int noise =1;
689         int tmptmp=0;
690         for(int ihit=0; ihit<nHitChip[ichip]; ihit++){
691             if(hitChip[ichip][ihit]==hitChip[ichip][ihit+1]&&hitChan[ichip][ihit+1]==hitChan[ichip][ihit]){
692                 noise++;
693                 if(tmpchan[tmptmp]!=hitChan[ichip][ihit]&&tmpchip[tmptmp]!=hitChip[ichip][ihit]){
694                     tmptmp++;
695                 }
696                 tmpchan[tmptmp]=hitChan[ichip][ihit];

```

```

697         tmpchip[tmptmp]=hitChip[ichip][ihit];
698     }
699 }
700 for(int ttt=0;ttt<tmptmp+1;ttt++){
701     for(int ihit=0; ihit<nHitChip[ichip]+1; ihit++){
702         if(hitChip[ichip][ihit]==tmpchip[ttt]&&hitChan[ichip][ihit]==tmpchan[ttt]){
703             }
704         }
705     }
706 }
707 }
708 int nhitmap=0;
709 double summV;
710 int sumChan;
711 int ncls = 0;
712 for(int ichip=0; ichip<27; ichip++){
713     if(nHitChip[ichip]>0){
714         int start = 0;
715         int Nhits = 1;
716         int end;
717         for(int ihit=0; ihit<nHitChip[ichip]; ihit++){
718             if(Nhits==nHitChip[ichip]){
719                 end = ihit;
720                 summV=0;
721                 sumChan =0;
722                 for(int i=start; i<end+1; i++){
723                     summV += adc_mV(hitAdc[ichip][i]);
724                     sumChan += hitChan[ichip][i];
725                 }
726                 if(Nhits==1){
727                     for(int ii=0; ii<8;ii++){
728                         if(mV_adc2(summV)==ii)nhit_1[ii]++;
729                     }
730                 }
731                 else if(Nhits==2){
732                     for(int ii=0; ii<8;ii++){
733                         if(mV_adc2(summV)==ii)nhit_2[ii]++;
734                     }
735                 }
736                 else if(Nhits==3){
737                     for(int ii=0; ii<8;ii++){
738                         if(mV_adc2(summV)==ii)nhit_3[ii]++;
739                     }
740                 }
741                 start = end+1;
742                 ncls++;
743                 Nhits = 1;
744             }
745             else if(hitChan[ichip][ihit+1]-hitChan[ichip][ihit]==1){
746                 Nhits++;
747             }
748             else{
749                 end = ihit;
750                 summV=0;
751                 sumChan =0;
752                 for(int i=start; i<end+1; i++){
753                     summV += adc_mV(hitAdc[ichip][i]);
754                     sumChan += hitChan[ichip][i];
755                 }
756                 if(Nhits==1){
757                     for(int ii=0; ii<8;ii++){
758                         if(mV_adc2(summV)==ii)nhit_1[ii]++;
759                     }
760                 }
761                 else if(Nhits==2){
762                     for(int ii=0; ii<8;ii++){
763                         if(mV_adc2(summV)==ii)nhit_2[ii]++;
764                     }
765                 }
766                 else if(Nhits==3){
767                     for(int ii=0; ii<8;ii++){
768                         if(mV_adc2(summV)==ii)nhit_3[ii]++;
769                     }
770                 }
771                 start = end+1;
772                 ncls++;
773                 Nhits = 1;
774             }
775         }
776     }
777 }
778 // ++++++
779 if(ncls>1){
780     for(int ichip=0; ichip<27; ichip++){
781         if(nHitChip[ichip]>0){
782             for(int ihit=0; ihit<nHitChip[ichip]; ihit++){
783                 multiclschip->Fill(hitChan[ichip][ihit],hitChip[ichip][ihit]);
784             }
785         }
786     }
787 }
788 if(ncls>0){
789     nhitmap=0;
790     int Ncls = 0;

```

```

791 int Nhits =0;
792 for(int ichip=0; ichip<27; ichip++){
793 int NHITCHIP=0; //number of single hits per chip per event
794 int single_ihit[20];
795 int single_0_ihit[20];
796 if(nHitChip[ichip]>0){
797 int start = 0;
798 Nhits =1;
799 int end;
800 for(int ihit=0; ihit<nHitChip[ichip]; ihit++){
801 if(Nhits==nHitChip[ichip]){
802 end = ihit;
803 summV=0;
804 sumChan =0;
805 for(int i=start; i<end+1; i++){
806 summV += adc_mV(hitAdc[ichip][i]);
807 sumChan += hitChan[ichip][i];
808 }
809 summV_Ret[NHITCHIP] = summV;
810 Nhits_Ret[NHITCHIP] = Nhits;
811 chip_Ret[Ncls] = hitChip[ichip][ihit];
812 chan_Ret[Ncls] = sumChan/Nhits;
813 hnhits->Fill(Nhits);
814 // ++++++++ Fill single hit ++++++++
815 if(Nhits==1){
816 HITCORE->Fill(Nhits, hitorg);
817 if(Nhits==1)ELOSScls1->Fill(SUMEDEP, mV_weight2(SUMEDEP));
818 if(Nhits==1)ELOSSchange1->Fill(summV,elossorg );
819 single_ihit[NHITCHIP]=start;
820 NHITCHIP++;
821 if(hitAdc[ichip][start]!=-1){ //ADC value for analysis
822 SinglehitAdc2->Fill(summV,mV_weight2(summV));
823 SingleAdc->Fill(adc_mV(hitAdc[ichip][start]), mV_weight2(adc_mV(hitAdc[ichip][start])));
824 for(int ii=0; ii<8;ii++){
825 if(mV_adc2(summV)==ii)nhit_1[ii]++;
826 }
827 }
828 else if(hitAdc[ichip][start]==0)single_0_ihit[NHITCHIP]=start;
829 }
830 // ++++++++ Fill double hits ++++++++
831 else if(Nhits==2){
832 HITCORE->Fill(Nhits, hitorg);
833 if(Nhits==2)ELOSScls2->Fill(SUMEDEP, mV_weight2(SUMEDEP));
834 if(Nhits==2)ELOSSchange2->Fill(summV,elossorg );
835 summV = adc_mV(hitAdc[ichip][start])+adc_mV(hitAdc[ichip][start+1]);
836 SumDoublehitAdc2->Fill(summV,mV_weight2(summV));
837 DAdc->Fill(adc_mV(hitAdc[ichip][start]), mV_weight2(adc_mV(hitAdc[ichip][start])));
838 DAdc->Fill(adc_mV(hitAdc[ichip][start+1]), mV_weight2(adc_mV(hitAdc[ichip][start+1])));
839 Adc_2hit->Fill(hitAdc[ichip][start],hitAdc[ichip][start+1]);
840 chan_2hit->Fill(hitChan[ichip][start],hitChan[ichip][start+1]);
841 if(hitAdc[ichip][start]==0&&hitAdc[ichip][start+1]==0){
842 }
843 for(int ii=0; ii<8;ii++){
844 if(mV_adc2(summV)==ii)nhit_2[ii]++;
845 }
846 }
847 // ++++++++ Fill triple hits ++++++++
848 else if(Nhits==3){
849 HITCORE->Fill(Nhits, hitorg);
850 if(Nhits==3)ELOSScls3->Fill(SUMEDEP, mV_weight2(SUMEDEP));
851 if(Nhits==3)ELOSSchange3->Fill(summV,elossorg );
852 SumTriplehitAdc2->Fill(summV,mV_weight2(summV));
853 TAdc->Fill(adc_mV(hitAdc[ichip][start]), mV_weight2(adc_mV(hitAdc[ichip][start])));
854 TAdc->Fill(adc_mV(hitAdc[ichip][start+1]), mV_weight2(adc_mV(hitAdc[ichip][start+1])));
855 TAdc->Fill(adc_mV(hitAdc[ichip][start+2]), mV_weight2(adc_mV(hitAdc[ichip][start+2])));
856 for(int ii=0; ii<8;ii++){
857 if(mV_adc2(summV)==ii)nhit_3[ii]++;
858 }
859 }
860 start = end+1;
861 Ncls++;
862 Nhits = 1;
863 }
864 else if(hitChan[ichip][ihit+1]-hitChan[ichip][ihit]==1){
865 Nhits++;
866 }
867 else{
868 end = ihit;
869 summV=0;
870 sumChan =0;
871 for(int i=start; i<end+1; i++){
872 summV += adc_mV(hitAdc[ichip][i]);
873 sumChan += hitChan[ichip][i];
874 }
875 summV_Ret[NHITCHIP] = summV;
876 Nhits_Ret[NHITCHIP] = Nhits;
877 chip_Ret[Ncls] = hitChip[ichip][ihit];
878 chan_Ret[Ncls] = sumChan/Nhits;
879 hnhits->Fill(Nhits);
880 // ++++++++ Fill single hit ++++++++
881 if(Nhits==1){
882 HITCORE->Fill(Nhits, hitorg);
883 if(Nhits==1)ELOSScls1->Fill(SUMEDEP, mV_weight2(SUMEDEP));
884 if(Nhits==1)ELOSSchange1->Fill(summV,elossorg );

```

```

885         single_ihit[NHITCHIP]=start;
886         NHITCHIP++;
887         if(hitAdc[ichip][start]!=-1){
888             SinglehitAdc2->Fill(summV,mV_weight2(summV));
889             SingleAdc->Fill(adc.mV(hitAdc[ichip][start]), mV_weight2(adc.mV(hitAdc[ichip][start])));
890             for(int ii=0; ii<8;ii++){
891                 if(mV_adc2(summV)==ii)nhit_1[ii]++;
892             }
893         }
894         else if(hitAdc[ichip][start]==0)single_0_ihit[NHITCHIP]=start;
895     }
896     // ++++++ Fill double hits ++++++
897     else if(Nhits==2){
898         HITCORE->Fill(Nhits, hitorg);
899         if(Nhits==2)ELOSScls2->Fill(SUMEDEP, mV_weight2(SUMEDEP));
900         if(Nhits==2)ELOSSchange2->Fill(summV,elossorg );
901         SumDoublehitAdc2->Fill(summV,mV_weight2(summV));
902         DAdc->Fill(adc.mV(hitAdc[ichip][start]), mV_weight2(adc.mV(hitAdc[ichip][start])));
903         DAdc->Fill(adc.mV(hitAdc[ichip][start+1]), mV_weight2(adc.mV(hitAdc[ichip][start+1])));
904         Adc_2hit->Fill(hitAdc[ichip][start],hitAdc[ichip][start+1]);
905         chan_2hit->Fill(hitChan[ichip][start],hitChan[ichip][start+1]);
906         if(hitAdc[ichip][start]==0&&hitAdc[ichip][start+1]==0){
907             }
908         for(int ii=0; ii<8;ii++){
909             if(mV_adc2(summV)==ii)nhit_2[ii]++;
910         }
911     }
912     // ++++++ Fill triple hits ++++++
913     else if(Nhits==3){
914         HITCORE->Fill(Nhits, hitorg);
915         if(Nhits==3)ELOSScls3->Fill(SUMEDEP, mV_weight2(SUMEDEP));
916         if(Nhits==3)ELOSSchange3->Fill(summV,elossorg );
917         SumTriplehitAdc2->Fill(summV,mV_weight2(summV));
918         TAdc->Fill(adc.mV(hitAdc[ichip][start]), mV_weight2(adc.mV(hitAdc[ichip][start])));
919         TAdc->Fill(adc.mV(hitAdc[ichip][start+1]), mV_weight2(adc.mV(hitAdc[ichip][start+1])));
920         TAdc->Fill(adc.mV(hitAdc[ichip][start+2]), mV_weight2(adc.mV(hitAdc[ichip][start+2])));
921         for(int ii=0; ii<8;ii++){
922             if(mV_adc2(summV)==ii)nhit_3[ii]++;
923         }
924     }
925     start = end+1;
926     Ncls++;
927     Nhits = 1;
928 }
929 }
930 nclsnChip->Fill(Ncls);
931 }
932 }
933 }
934 }
935 TCanvas *c1 = new TCanvas("c1", "energy_loss", 1000, 500);
936 c1->Divide(2,1);
937 TCanvas *c2 = new TCanvas("c2", "correlation_of_double_hits", 1000, 500);
938 c2->Divide(2,1);
939 TCanvas *c4 = new TCanvas("c4", "cosmic", 1500, 500);
940 c4->Divide(3,1);
941 TCanvas *c7 = new TCanvas("c7", "energyloss_and_cluster_change", 1500,1000);
942 c7->Divide(3,2);
943 TCanvas *c8 = new TCanvas("c8", "energylos(simulation_and_cosmic)", 500, 500);
944 TCanvas *c9 = new TCanvas("c9", "energyloss", 500, 500);
945 c1->cd(1);//before cluster adc
946 DAdc->Draw("hist");
947 SingleAdc->Draw("histsames");
948 c1->cd(2);//after cluster mV
949 SinglehitAdc2 ->Draw("hist");
950 SumDoublehitAdc2->Draw("histsames");
951 c9->cd();//after cluster mV
952 SinglehitAdc2 ->Draw("hist");
953 SumDoublehitAdc2->Draw("histsames");
954 //+++++for Kai2+++++
955 int nhit_1[10];
956 int nhit_2[10];
957 double sum1=0;
958 double sum2=0;
959 double W1=0.;
960 double Kai2=0;
961 double cosmic1[10]={0.,0.,55., 38., 384., 169., 31., 13., 3., 6.};
962 double cosmic2[10]={0.,0.,0., 0., 0., 87., 124., 35., 17., 0.};
963 for(int ii=0;ii<10;ii++){
964     nhit_1[ii]= 0.;
965     nhit_2[ii]= 0.;
966 }
967 for(int ii=2;ii<10;ii++){
968     nhit_1[ii]= SinglehitAdc2 ->GetBinContent(ii);
969     nhit_2[ii]= SumDoublehitAdc2->GetBinContent(ii);
970 }
971 for(int ii=3;ii<10;ii++){
972     cout<<nhit_1[ii]<<" ";
973     sum1+=nhit_1[ii];
974 }
975 cout<<"_ "<<endl;
976 for(int ii=3;ii<10;ii++){
977     cout<<nhit_2[ii]<<" ";
978     sum2+=nhit_2[ii];

```

```

979     }
980     W1=(699.-55.+263.)/(sum1+sum2);
981     cout<<"W1="<<W1<<endl;
982     cout<<"sum="<<sum1+sum2<<endl;
983     for(int ii=3;ii<10;ii++){
984         if(nhit_1[ii]!=0)Kai2+=(cosmic1[ii]-nhit_1[ii]*W1)*(cosmic1[ii]-nhit_1[ii]*W1)/(nhit_1[ii]*W1);
985         cout<<"Kai2["<<ii<<"]="<<(cosmic1[ii]-nhit_1[ii]*W1)*(cosmic1[ii]-nhit_1[ii]*W1)/(nhit_1[ii]*W1)<<endl;
986     }
987     for(int ii=3;ii<10;ii++){
988         if(nhit_2[ii]!=0)Kai2+=(cosmic2[ii]-nhit_2[ii]*W1)*(cosmic2[ii]-nhit_2[ii]*W1)/(nhit_2[ii]*W1);
989         cout<<"Kai2["<<ii<<"]="<<(cosmic2[ii]-nhit_2[ii]*W1)*(cosmic2[ii]-nhit_2[ii]*W1)/(nhit_2[ii]*W1)<<endl;
990     }
991     cout<<"Kai2="<<Kai2<<endl;
992     float mV[9] = {270, 302, 450, 602, 750, 902, 1050, 1202, 1234};
993     for(int ii=2;ii<10;ii++){
994         for(int i=0;i<cosmic1[ii];i++){
995             if(cosmic1[ii]!=0)KAIELOSSC1->Fill(adc.mV(ii-2));
996         }
997         for(int i=0;i<cosmic2[ii];i++){
998             if(cosmic2[ii]!=0)KAIELOSSC2->Fill(adc.mV(ii-2));
999         }
1000         for(int i=0;i<W1*nhit_1[ii];i++){
1001             if(nhit_1[ii]!=0) KAIELOSSS1->Fill(adc.mV(ii-2));
1002         }
1003         for(int i=0;i<W1*nhit_2[ii];i++){
1004             if(nhit_2[ii]!=0) KAIELOSSS2->Fill(adc.mV(ii-2));
1005         }
1006     }
1007     c8->cd();
1008     KAIELOSSC1->Draw("hist");
1009     KAIELOSSC2->Draw("histsames");
1010     KAIELOSSS1->Draw("histsames");
1011     KAIELOSSS2->Draw("histsames");
1012     //+++++
1013     c2->cd(1);
1014     Adc_2hit->Draw("colz");
1015     c2->cd(2);
1016     chan_2hit->Draw("colz");
1017     c4->cd(1);//number of hits per event
1018     hnhits->Draw();
1019     c4->cd(2);//number of clusters per event
1020     nclsnChip->Draw();
1021     c4->cd(3);//multiple cluster hit chip
1022     multiclchip->Draw("colz");
1023     //only for simulation
1024     c7->cd(1);//number of hits per event
1025     HITCORE ->Draw("colz");
1026     c7->cd(2);//number of hits per event
1027     ELOSSORG1 ->Draw("hist");
1028     ELOSSORG2 ->Draw("histsames");
1029     ELOSSORG3 ->Draw("histsames");
1030     c7->cd(3);//number of hits per event
1031     ELOSScls1 ->Draw("hist");
1032     ELOSScls2 ->Draw("histsames");
1033     ELOSScls3 ->Draw("histsames");
1034     c7->cd(4);//number of hits per event
1035     ELOSSchange1->Draw("colz");
1036     c7->cd(5);//number of hits per event
1037     ELOSSchange2->Draw("colz");
1038     c7->cd(6);//number of hits per event
1039     ELOSSchange3->Draw("colz");
1040     gStyle->SetOptStat(100000010);
1041 };

```